

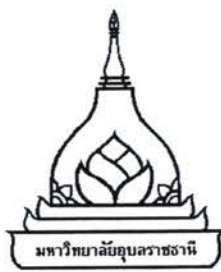
การศึกษาพุทธกรรมการตอบสนองของท่อไฟเบอร์กลาสต่อแรงกดในแนวแกน

วิศิษฐ์ จันทร์ชื่น

วิทยานิพนธ์นี้เป็นส่วนหนึ่งของการศึกษาตามหลักสูตรปริญญาวิศวกรรมศาสตรมหาบัณฑิต
สาขาวิชาวิศวกรรมเครื่องกล คณะวิศวกรรมศาสตร์
มหาวิทยาลัยอุบลราชธานี

พ.ศ. 2556

ลิขสิทธิ์เป็นของมหาวิทยาลัยอุบลราชธานี



**THE STUDY OF CRASHWORTHINESS BEHAVIOR OF
FIBERGLASS TUBE SUBJECTED TO AXIAL COMPRESSION**

VISIT JUNCHUAN

**A THESIS SUBMITTED IN PARTIAL FULFILLMENT OF REQUIREMENTS
FOR THE DEGREE OF MASTER OF ENGINEERING
MAJOR IN MECHANICAL ENGINEERING
FACULTY OF ENGINEERING
UBON RATCHATHANI UNIVERSITY
YEAR 2013**

COPYRIGHT OF UBON RATCHATHANI UNIVERSITY



ใบรับรองวิทยานิพนธ์
มหาวิทยาลัยอุบลราชธานี
ปริญญา วิศวกรรมศาสตรมหาบัณฑิต
สาขาวิชาวิศวกรรมเครื่องกล คณะวิศวกรรมศาสตร์

เรื่อง การศึกษาพฤติกรรมการตอบสนองของห่อไฟเบอร์กลาสภายใต้แรงกดในแนวแกน

ผู้วิจัย นายวิศิษฐ์ จันทร์ชื่น

ได้พิจารณาเห็นชอบโดย

อาจารย์ที่ปรึกษา

(ผู้ช่วยศาสตราจารย์ ดร.ชวลิต อินวงศ์พิทักษ์)

กรรมการ

(ผู้ช่วยศาสตราจารย์ ดร.เกียรติพิชา ตั้งใจจิต)

กรรมการ

(ผู้ช่วยศาสตราจารย์ เรือโภ ดร.สมญา ภูนทะ)

คณบดี

(ผู้ช่วยศาสตราจารย์ ดร.นท แสงเทียน)

มหาวิทยาลัยอุบลราชธานี รับรองแล้ว

.....
๖๒๖ ๘๖๗
(รองศาสตราจารย์ ดร.อุทธิ อินทร์ประสิทธิ์)

รองอธิการบดีฝ่ายวิชาการ

ปฏิบัติราชการแทนอธิการบดี มหาวิทยาลัยอุบลราชธานี

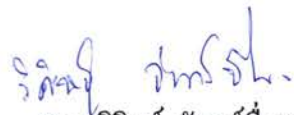
ปีการศึกษา 2556

กิตติกรรมประกาศ

วิทยานิพนธ์เล่มนี้สำเร็จลุล่วงไปได้ดี ด้วยความช่วยเหลืออย่างดีขึ้นของ ผู้ช่วยศาสตราจารย์ ดร. ชวลิต ถินวงศ์พิทักษ์ อาจารย์ที่ปรึกษาวิทยานิพนธ์ ที่ได้คำแนะนำและข้อคิดเห็น ต่างๆ ของงานวิจัยมาด้วยดีตลอดและส่งเสริมด้านงานวิจัยต่างๆ อีกทั้งยังช่วยแก้ไขข้อบกพร่องของ งานตลอดระยะเวลาการศึกษานี้ ขอขอบพระคุณ ผู้ช่วยศาสตราจารย์ ดร. เกียรติพิพิ ตั้งใจดี ประธานกรรมการ และผู้ช่วยศาสตราจารย์ เรือโท ดร. สมญา ภูนทะชา กรรมการในการสอบวิทยานิพนธ์ ที่ได้ ให้คำชี้แนะเพื่อให้วิทยานิพนธ์มีความสมบูรณ์ยิ่งขึ้น ขอขอบคุณ อาจารย์นิรุต อ่อนสุล ที่ได้ให้ ข้อเสนอแนะในการทำวิจัยตลอดการศึกษา

ขอขอบคุณ สำนักงานคณะกรรมการการวิจัยแห่งชาติ (วช.) และภาควิชาวิศวกรรมเครื่องกล คณะวิศวกรรมศาสตร์ มหาวิทยาลัยอุบลราชธานี ที่ให้การสนับสนุนทุนการวิจัยและอุปกรณ์การ ทดลอง

คุณความดีและประโยชน์ที่ได้จากการวิจัยเล่มนี้ขออนุให้แก่ คุณพ่อสลิด จันทร์ชื่น และคุณแม่ลัดดา จันทร์ชื่น ที่สนับสนุนทั้งกำลังใจและกำลังทรัพย์เสมอมา และขอขอบคุณเพื่อนๆ พี่น้องนักศึกษาภาควิชาวิศวกรรมเครื่องกล ที่ให้ความช่วยเหลือและเป็นกำลังใจตลอดมา


(นายวิศิษฐ์ จันทร์ชื่น)

ผู้วิจัย

บทคัดย่อ

ชื่อเรื่อง : การศึกษาพฤติกรรมการตอบสนองของห่อไฟเบอร์กลาสต่อแรงกดในแนวแกน
โดย : วิศิษฐ์ จันทร์ชิน
ชื่อปริญญา : วิศวกรรมศาสตรมหาบัณฑิต
สาขาวิชา : วิศวกรรมเครื่องกล
ประธานกรรมการที่ปรึกษา : ผู้ช่วยศาสตราจารย์ ดร.ชวิต ถินวงศ์พิทักษ์
คัพท์สำคัญ : วัสดุประกอบ การยุบตัว พลังงานคุดซับ

การศึกษานี้มีวัตถุประสงค์เพื่อศึกษาความสามารถในการคุดซับพลังงานจำเพาะของห่อไฟเบอร์กลาส ภายใต้แรงกระทำในแนวแกน ชิ้นงานที่ใช้ในการศึกษาเป็นชิ้นงานที่ขึ้นรูปด้วยมือ (Hand lay-up) ที่มีการเรียงทับช้อนและมุ่งไขว้ที่แตกต่างกัน 3 ชิ้นงานคือ ชิ้นงาน A มีมุ่งไขว้ [(0/90)/(0/90)/(0/90)] ชิ้นงาน B มีมุ่งไขว้ [(45/-45)/(45/-45)/(45/-45)] และ ชิ้นงาน C มีมุ่งไขว้ [(45/-45)/(0/90)/(45/-45)] ขึ้นรูปจาก E-glass/polyester ขนาดของห่อมีเส้นผ่าศูนย์กลางภายนอกคือ 50 มิลลิเมตร ความหนาคือ 2 มิลลิเมตร และความยาวคือ 100 มิลลิเมตร ในการทดสอบชิ้นงานนี้ได้ทำการทดสอบโดยใช้เครื่อง ESH Universal Testing Machine สำหรับการทดสอบแบบ กึ่งคงที่ กดที่ความเร็ว 10 มิลลิเมตรต่อนาที และใช้เครื่อง Vertical Impact Testing Machine สำหรับการทดสอบแรงกระแทก โดยมีหัวค้อนตอกกระแทกแบบอิสระด้วยความเร็วคงที่ ที่จุดสัมผัส 7 เมตรต่อวินาที การศึกษานี้ยังได้ใช้แบบจำลองทางไฟฟ้าในตัวอย่าง เพื่อจำลองพฤติกรรมการเสียหายของห่อไฟเบอร์กลาสอีกด้วย

ผลทดลองและแบบจำลองทางไฟฟ้าในตัวอย่าง ภายใต้การกระทำแบบกึ่งคงที่ พบว่าชิ้นงานมีลักษณะการเสียหายอยู่สามรูปแบบคือ (1) การเสียหายแบบแตกและนานแยกออกเป็นแฉก ซึ่งเกิดจากอิทธิพลของเส้นใยในแนวตั้ง ที่สามารถรับภาระในแนวแกนโดยตรง และอิทธิพลเส้นใยในแนววางทำหน้าที่ประคองให้เส้นใยในแนวตั้งให้รับภาระแนวแกน (2) การเสียหายแบบยุบตัวตามแนวเนื้องของเส้นใย ซึ่งเกิดจากการเรียงตัวของเส้นใยในแนวเฉียง เมื่อรับภาระในแนวแกนทำให้เส้นใยเกิดการแตกหักตลอด จนลิ้นสุดการยุบตัว และ (3) การเสียหายแบบแตกและนานออกเป็นพุ่ม ซึ่งเกิดจากอิทธิพลของเส้นใยในแนวตั้ง 0 องศา ทำให้รับภาระในแนวแกนโดยตรง และอิทธิพลของเส้นใยในแนวเฉียง ทำหน้าที่ประคองเส้นใยในแนวตั้งและรับภาระในแนวแกน สำหรับผลทดลองและแบบจำลองทางไฟฟ้าในตัวอย่าง ภายใต้แรงกระแทก

พบว่าชื่นงานมีลักษณะการเสียหายอยู่สามรูปแบบคือ การเสียหายแบบแตกและบานแยกออกเป็น แฉก การเสียหายแบบยุบตัวตามแนวเฉียงของเด็นไข และ การเสียหายแบบแตกและบานเช่นกัน

ในด้านความสามารถในการคุณซับพลังงานภายใต้ภาระกระทำแบบกึ่งคงและภายใต้แรง กระแทก พบว่าชื่นงาน A ที่มีนูนของเด็นไข คือ [(0/90)/(0/90)/(0/90)] สามารถคุณซับพลังงาน จำเพาะได้มากกว่าชื่นงานอื่นๆ ซึ่งเป็นผลมาจากการเรียงเด็นไขของนูน 0 องศา มีทิศทางในการรับ แรงในแนวแกนโดยตรง และนูน 90 องศา ทำหน้าที่ประคองให้เด็นไขมูน 0 องศา ไม่ให้แยกออกจาก กันกรณีรับแรงในแนวแกน

ABSTRACT

TITLE : THE STUDY OF CRASHWORTHINESS BEHAVIOR OF FIBERGLASS
TUBE SUBJECTED TO AXIAL COMPRESSION

BY : VISIT JUNCHUAN

DEGREE : MASTER OF ENGINEERING

MAJOR : MECHANICAL ENGINEERING

CHAIR : ASST. PROF. CHAWALIT THINVONGPITUK, Ph.D.

KEYWORDS : COMPOSITE / COLLAPSE / ENERGY ABSORPTION

This study is aimed to investigate the crush characteristic of fiberglass tube subjected to axial loading. The specimens are fabricated by hand lay-up with three different ply angles which are, A type [(0/90)/(0/90)/(0/90)], B type [(45/-45)/(45/-45)/(45/-45)] and C type [(45/-45)/(0/90)/(45/-45)]. They are formed with E-glass/polyester. The specimen geometries are 50 mm. diameter, 2 mm. thick and 100 mm. long. The specimens are tested under quasi-static and impact load. The quasi-static test is carried out using ESH Universal Testing Machine with a speed of 10 mm/min. The axial impact test is conducted with the Vertical Impact Testing Machine. The impact testing machine consists of a free falling hammer which is impacting to the specimen with 7 m/s speed. This study also used FEA simulation package to investigate the behavior of tubes under impact.

The experimental and FEA results reveal that there are three types of collapse mode. They are (1) Spray mode, the tube is failed and cracked in many stripes. The end of each stripe is expanded in horse tail shape. This mode is found in [(0/90)/(0/90)/(0/90)] tubes. This mode is formed because the vertical fiber resists to the axial load while the hoop fiber helps holding the vertical one. (2) Brittle mode, the tube is failed in brittle element along the diagonal direction. This mode is found in [(45/-45)/(45/-45)/(45/-45)] tubes. (3) Mixed mode, this is a mixture of spray mode and brittle mode. This mode is found in [(45/-45)/(0/90)/(45/-45)] tube. The collapse mode achieved from experiment and FEA are very comparable. Considering the energy absorption capacity, it is found that tube A [(0/90)/(0/90)/(0/90)] can absorb highest energy and also provides

highest value of specific energy absorption. This is because this tube consists of vertical fiber which can directly resist axial impact load. In addition, the hoop fiber helps the vertical fiber to stay in shape before collapse.

สารบัญ

	หน้า
กิตติกรรมประกาศ	ก
บทคัดย่อภาษาไทย	ข
บทคัดย่อภาษาอังกฤษ	ง
สารบัญ	ฉ
สารบัญตาราง	ฉ
สารบัญภาพ	ฉ
คำอธิบายสัญลักษณ์และคำย่อ	ฉ
บทที่	ฉ

1 บทนำ

1.1 ความสำคัญและที่มาของปัญหาที่ทำการวิจัย	1
1.2 วัตถุประสงค์ของโครงการวิจัย	2
1.3 ขอบเขตของงานวิจัย	2
1.3.1 กรณีแรงที่กระทำแบบต่อเนื่อง	2
1.3.2 กรณีแรงกระแทก	2
1.3.3 ชิ้นงานทดลอง	2
1.4 ประโยชน์ที่คาดว่าจะได้รับ	3

2 ข้อมูลพื้นฐาน ทฤษฎีและงานวิจัยที่เกี่ยวข้อง

2.1 วัสดุประกอบ	4
2.2 เมทริกซ์และวัสดุเสริมแรง	4
2.2.1 เมทริกซ์	4
2.2.2 ส่วนเสริมแรง	6
2.3 การขึ้นรูปแบบทางด้วยมือ	7
2.3.1 ขั้นตอนการขึ้นรูป	8
2.4 การจัดเรียงตัวของเส้นไข	8
2.5 กลศาสตร์ของวัสดุประกอบ	9
2.5.1 สัดส่วนน้ำหนักและสัดส่วนปริมาตร	9

สารบัญ (ต่อ)

	หน้า
2.5.2 กลศาสตร์จุลภาคของวัสดุประกอบ	12
2.6 มาตรฐานสากลในการทดสอบรรถนะ	18
2.6.1 มาตรฐานความปลดภัยของสหพันธ์ยานยนต์	19
2.6.2 มาตรฐานการประเมินและการทดสอบรรถนะใหม่	19
2.7 ตัวแปรที่ใช้ในการศึกษาการรับแรงกระแทก	20
2.7.1 การวิกฤติหรือการเสียหาย	20
2.7.2 การสูงสุด	21
2.7.3 การเฉลี่ย	21
2.7.4 พลังงานคุณชั้บ	21
2.7.5 พลังงานคุณชั้บจำเพาะ	22
2.8 หลักการของระเบียบวิธีไฟไหม้ในต่ออุปกรณ์	23
2.8.1 ขั้นตอนพื้นฐานของระเบียบวิธีไฟไหม้ในต่ออุปกรณ์	23
2.8.2 โปรแกรม FEA ที่ใช้ในการศึกษา (ABAQUS)	24
2.9 งานวิจัยที่เกี่ยวข้อง	26
3 วิธีการศึกษาและการทดสอบ	
3.1 เครื่องมือที่ใช้ในการศึกษา	30
3.1.1 เครื่องทดสอบการกด	30
3.1.2 เครื่องทดสอบการกระแทก	31
3.2 รายละเอียดแบบจำลอง FEA	31
3.2.1 การสร้างแบบจำลองทดสอบ	32
3.2.2 การกำหนดคุณสมบัติของชิ้นงาน	33
3.2.3 การกำหนดแกนและลักษณะการเรียงตัวของเต็นท์	33
3.2.4 การกำหนดระยะเวลาในการทดสอบชิ้นงาน	34
3.2.5 การกำหนดการสัมผัสนกันของชิ้นงาน	34
3.2.6 การกำหนดสถานะเงื่อนไขของ	34
3.2.7 ชนิดของอุปกรณ์	35

สารบัญ (ต่อ)

	หน้า
3.2.8 การกำหนดชื่อไฟล์ที่สร้างขึ้นเพื่อการทดสอบ	35
3.2.9 ผลที่ได้จากการวิเคราะห์โปรแกรม ABQUS/Explicit	35
3.3 การทดสอบคุณสมบัติเชิงกลของวัสดุ	36
3.3.1 การทดสอบการด้านทานแรงดึงการเรียงตัวของเส้นไป ในทิศทางต่างกันของชิ้นงาน A	37
3.3.2 การทดสอบการด้านทานแรงดึงการเรียงตัวของเส้น ไปในทิศทางต่างกันชิ้นงาน B	38
3.3.3 การทดสอบการด้านทานแรงดึงการเรียงตัวของเส้นไป ในทิศทางต่างกันชิ้นงาน C	39
3.3.4 การทดสอบการด้านทานแรงดึงตามแนวเส้นไป ในทิศทางเดียว 0 องศา	40
3.3.5 การทดสอบการด้านทานแรงดึงตามแนววางเส้นไป ในทิศทางเดียว 90 องศา	41
3.3.6 การทดสอบการด้านทานแรงดึงตามแนวเฉียงเส้นไป ในทิศทางเดียว 45 องศา	42
3.3.7 การทดสอบการด้านทานแรงกดในทิศทางเดียว	43
3.3.8 การทดสอบการด้านทานแรงกดตามแนวเส้นไป ในทิศทางเดียว 0 องศา	44
3.3.9 การทดสอบการด้านทานแรงกดตามแนวเส้นไป ในทิศทางเดียว 90 องศา	45
3.3.10 การทดสอบแรงเฉือนอกรอบนาในทิศทางเดียว	46
3.4 ชิ้นงานทดลอง	47
3.4.1 ขั้นตอนการขึ้นรูปชิ้นงาน	48
3.5 การติดตั้งอุปกรณ์การทดลองของเครื่องทดสอบแรงกระแทก	51
3.6 ขั้นตอนในการศึกษา	53
3.6.1 การทำการทดลอง	53

สารบัญ (ต่อ)

	หน้า
3.6.2 การทำแบบจำลองด้วย FEA	53
4 ผลการศึกษาและวิเคราะห์ผล	
4.1 การตอบสนองของท่อต่อแรงกระทำแบบกึ่งคงที่	54
4.1.1 การเสียหายของชิ้นงาน A	54
4.1.2 การเสียหายของชิ้นงาน B	55
4.1.3 การเสียหายของชิ้นงาน C	56
4.1.4 การตอบสนองของชิ้นงาน A	58
4.1.5 การตอบสนองของชิ้นงาน B	59
4.1.6 การตอบสนองของชิ้นงาน C	60
4.2 การตอบสนองของท่อต่อแรงกระแทก	61
4.2.1 การเสียหายของชิ้นงาน A	61
4.2.2 การเสียหายของชิ้นงาน B	62
4.2.3 การเสียหายของชิ้นงาน C	63
4.2.4 การตอบสนองของชิ้นงาน A	65
4.2.5 การตอบสนองของชิ้นงาน B	65
4.2.6 การตอบสนองของชิ้นงาน C	66
4.3 ความสามารถในการดูดซับพลังงาน	67
4.3.1 ความสามารถในการดูดซับพลังงานภายใต้แรงกระทำแบบกึ่งคงที่	67
4.3.2 ความสามารถในการดูดซับพลังงานภายใต้แรงกระทำแบบกระแส	68
5 สรุปผลการศึกษาและข้อเสนอแนะ	
5.1 สรุปผลการศึกษา	70
5.2 ข้อเสนอแนะ	70
เอกสารอ้างอิง	73
ภาคผนวก	76

၈၂

สารบัญ (ต่อ)

หน้า

ประวัติผู้วิจัย

104

สารบัญตาราง

ตารางที่	หน้า
2.1 เปรียบเทียบช่วงของสมบัติระหว่างเทอร์โมเซ็ตและเทอร์มอพลาสติก	5
2.2 เปรียบเทียบสมบัติของเทอร์มอเซ็ตต่างๆ	5
3.1 สรุปผลการทดลองของชิ้นงาน	47
3.2 ขนาดของห่อไฟเบอร์กลาสที่ใช้ในการทดลอง	47
4.1 สรุปผลการทดลองและแบบจำลองการเสียหายของชิ้นงาน ภายใต้ภาระกระทำแบบกึ่งคงที่	58
4.2 สรุปผลการทดลองและแบบจำลองการเสียหายของชิ้นงาน ภายใต้ภาระกระแทก	64
4.3 ความสามารถในการดูดซับพลังงานภายใต้ภาระกระทำในแนวแกน	69

สารบัญภาพ

ภาพที่	หน้า
2.1 เปรียบเทียบเส้นไขสเริมแรงชนิดต่างๆ	6
2.2 ความแข็งแรงและความแข็งเกร็งจำเพาะของวัสดุที่ทำจากเส้นไขชนิดต่างๆ	7
2.3 การขึ้นรูปแบบทางด้านมือและตัวอย่างชิ้นงาน	7
2.4 การเรียงตัวกันของเส้นไข	9
2.5 แบบจำลองการวิเคราะห์กลศาสตร์จุลภาคตามแนวแกนของเส้นไข	13
2.6 แบบจำลองการวิเคราะห์กลศาสตร์จุลภาคตามแนววงกับแกนของเส้นไข	15
2.7 แบบจำลองการวิเคราะห์กลศาสตร์จุลภาคสำหรับการเฉือน	17
2.8 แบบจำลองการวิเคราะห์กลศาสตร์จุลภาคสำหรับหาอัตราส่วนปีซอง	17
2.9 ลักษณะการทดสอบการชนด้านหน้าตามมาตรฐานการทดสอบรถยนต์ใหม่	19
2.10 มาตรฐานการทดสอบการชนคนเดินเท้าของการทดสอบรถยนต์ใหม่	20
2.11 มาตรฐานการทดสอบการชนด้านข้างของการทดสอบรถยนต์ใหม่	20
2.12 ความสัมพันธ์ระหว่างค่าภาระและระยะยุบตัว	21
2.13 ลักษณะหน้าจอของโปรแกรม ABAQUS/CAE	25
3.1 เครื่องทดสอบการกด	30
3.2 เครื่องทดสอบการกระแทก	31
3.3 แบบจำลองโครงสร้างของชิ้นงานและแผ่นวัสดุแข็งเกร็ง	32
3.4 การกำหนดใช้แกน coordinate system	34
3.5 ลักษณะ Element ของ FEA Model ใน การศึกษา	35
3.6 เครื่องทดสอบแรงดึงและเครื่องมือจับยึดชิ้นงาน	36
3.7 ชิ้นงาน A ที่มีการเรียงตัวของเส้นไขคือ [(0/90)/(0/90)/(0/90)] สำหรับทดสอบแรงดึง	37
3.8 กราฟความสัมพันธ์ระหว่าง ความเกินกับระยะการยึดตัวของชิ้นงาน ภายใต้แรงดึงของชิ้นงาน A	37
3.9 ชิ้นงาน B ที่มีการเรียงตัวของเส้นไขคือ [(45/-45)/(45/-45)/(45/-45)] สำหรับทดสอบแรงดึง	38

สารบัญภาพ (ต่อ)

ภาพที่	หน้า
3.10 กราฟความสัมพันธ์ระหว่าง ความเกินกับระบบการยึดตัวของชิ้นงาน ภายใต้แรงดึงของชิ้นงาน B	38
3.11 ชิ้นงาน C ที่มีการเรียงตัวของเส้นไขคือ $[(45/-45)/(0/90)/(45/-45)]$ สำหรับทดสอบแรงดึง	39
3.12 กราฟความสัมพันธ์ระหว่าง ความเกินกับระบบการยึดตัวของชิ้นงาน ภายใต้แรงดึงของชิ้นงาน C	39
3.13 ชิ้นงานที่มีการเรียงตัวของเส้นไขทิศทางเดียว สำหรับการทดสอบแรงดึง	40
3.14 กราฟความสัมพันธ์ระหว่าง ความเกินกับระบบการยึดตัวของชิ้นงาน ภายใต้แรงดึง	40
3.15 ชิ้นงานที่มีการเรียงตัวของเส้นไขทิศทางเดียว สำหรับการทดสอบแรงดึง	41
3.16 กราฟความสัมพันธ์ระหว่าง ความเกินกับระบบการยึดตัวของชิ้นงาน ภายใต้แรงดึง	41
3.17 ชิ้นงานที่มีการเรียงตัวของเส้นไขทิศทางเดียว สำหรับการทดสอบแรงดึง	42
3.18 กราฟความสัมพันธ์ระหว่าง ความเกินกับระบบการยึดตัวของชิ้นงาน ภายใต้แรงดึง	42
3.19 เครื่องทดสอบกดและชิ้นงานที่ใช้ในการทดสอบแรงกด	43
3.20 ชิ้นงานที่มีการเรียงตัวของเส้นไขตามแนวยาวของชิ้นงาน สำหรับการทดสอบแรงกด	44
3.21 กราฟความสัมพันธ์ระหว่าง ความเกินกับระบบการยึดตัวของชิ้นงาน	44
3.22 ชิ้นงานที่มีการเรียงตัวของเส้นไขตามแนวยาวของชิ้นงาน สำหรับการทดสอบแรงกด	45
3.23 กราฟความสัมพันธ์ระหว่าง ความเกินกับระบบการยึดตัวของชิ้นงาน	45
3.24 ชิ้นงานที่มีการเรียงตัวของเส้นไขตามแนวยาวของชิ้นงาน สำหรับการทดสอบแรงเฉือน	46
3.25 กราฟความสัมพันธ์ระหว่าง ความเกินกับระบบการยึดตัวของชิ้นงาน	46
3.26 เรซิ่นและตัวทำให้แข็งที่ใช้ในการขึ้นรูปห่อไฟเบอร์	48
3.27 เส้นไขแก้วทอเป็นผืนที่มีลักษณะมุ่งไว้กัน 0/90 องศา	48
3.28 การทำเรซิ่นลงบนเส้นไขแก้วที่พันแม่แบบและ ลูกกลิ้งโลหะเคลื่อนเพื่อไล่อากาศออก	49
3.29 เครื่องหมุนแม่แบบ	50

สารบัญภาพ (ต่อ)

ภาพที่	หน้า
3.30 ชิ้นงานที่ได้จากการขึ้นรูปในมุมไขว้ต่างๆ	50
3.31 อุปกรณ์การทดลองของเครื่องทดสอบ	52
3.32 การติดตั้งอุปกรณ์การทดลองของเครื่องทดสอบแรงกระแทก	52
4.1 การเสียหายภายในภาระกระทำในแนวแกนแบบกึ่งคงที่ของชิ้นงาน A ที่ระบะยุบตัวต่างๆ (S)	54
4.2 แบบการเสียหายสุดท้ายของชิ้นงาน A	55
4.3 การเสียหายภายในภาระกระทำในแนวแกนแบบกึ่งคงที่ของชิ้นงาน B ที่ระบะยุบตัวต่างๆ (S)	56
4.4 แบบการเสียหายสุดท้ายของชิ้นงาน B	56
4.5 การเสียหายภายในภาระกระทำในแนวแกนแบบกึ่งคงที่ของชิ้นงาน C ที่ระบะยุบตัวต่างๆ (S)	57
4.6 แบบการเสียหายสุดท้ายของชิ้นงาน C	57
4.7 ความสัมพันธ์ระหว่างภาระและระบะยุบตัวภายในภาระกระทำกึ่งคงที่ ของชิ้นงาน A	59
4.8 ความสัมพันธ์ระหว่างภาระและระบะยุบตัวภายในภาระกระทำกึ่งคงที่ ของชิ้นงาน B	60
4.9 ความสัมพันธ์ระหว่างภาระและระบะยุบตัวภายในภาระกระทำกึ่งคงที่ ของชิ้นงาน C	61
4.10 การเสียหายของชิ้นงานภายในภาระกระแทกของชิ้นงาน A	61
4.11 แบบการเสียหายสุดท้ายของชิ้นงาน A	62
4.12 แบบการเสียหายของชิ้นงานภายในภาระกระแทกของชิ้นงาน B	63
4.13 แบบการเสียหายสุดท้ายของชิ้นงาน B	63
4.14 แบบการเสียหายของชิ้นงานภายในภาระกระแทกของชิ้นงาน C	64
4.15 แบบการเสียหายสุดท้ายของชิ้นงาน C	64

สารบัญภาพ (ต่อ)

ภาพที่	หน้า
4.16 ความสัมพันธ์ระหว่างภาระและระบบขุนตัวภายในใต้กระเพาะเทก ของชื่นงาน A	65
4.17 ความสัมพันธ์ระหว่างภาระและระบบขุนตัวภายในใต้กระเพาะเทก ของชื่นงาน B	66
4.18 ความสัมพันธ์ระหว่างภาระและระบบขุนตัวภายในใต้กระเพาะเทก ของชื่นงาน C	67

คำอธิบายสัญลักษณ์และคำย่อ

สัญลักษณ์	ความหมาย	หน่วย
E_1	ค่าโมดูลัสตามยาวนาน 1	[GPa]
E_2	ค่าโมดูลัสตามขวางนาน 2	[GPa]
E_3	ค่าโมดูลัสตามขวางนาน 3	[GPa]
G_{12}	ค่าโมดูลัสเฉื่อนในระนาบ 1-2	[GPa]
G_{23}	ค่าโมดูลัสเฉื่อนนอกระนาบ 2-3	[GPa]
G_{13}	ค่าโมดูลัสเฉื่อนในระนาบ 1-3	[GPa]
ν_{12}	ค่าอัตราปีวซอง ระนาบ 1-2	-
ν_{13}	ค่าอัตราปีวซอง ระนาบ 1-3	-
ν_{23}	ค่าอัตราปีวซอง ระนาบ 2-3	-
ρ	ค่าความหนาแน่น	[Kg/m ³]
X_t	ค่าความต้านทานแรงดึงตามแนวเส้นใย	[MPa]
X_c	ค่าความต้านทานแรงกดตามแนวเส้นใย	[MPa]
Y_t	ค่าความต้านทานแรงดึงตามขวางเส้นใย	[MPa]
Y_c	ค่าความต้านทานแรงกดตามขวางเส้นใย	[MPa]
S_{12}	ค่าความต้านทานแรงเฉือน ระนาบ 1-2	[MPa]
S_{23}	ค่าความต้านทานแรงเฉือนนอกระนาบ 2-3	[MPa]
P_{\min}	ภาระน้อยที่สุด (Minimum Load)	[N]
P_{\max}	ภาระสูงสุด (Maximum Load)	[N]
P_{mean}	ภาระเฉลี่ย (Mean Crushing Load)	[N]
E_{\max}	พลังงานสูงสุด (Maximum Energy)	[N.m]
E_a	พลังงานคุณชั้บเฉลี่ย (Average Energy Absorption)	[N.m]
E_s	พลังงานคุณชั้บจำเพาะ (Specific Energy Absorption)	[N.m/kg]
S	ระยะยุบตัวของชิ้นงานตั้งแต่เริ่มต้นจนสิ้นสุดการยุบตัว	[mm, m]
dS	การเปลี่ยนแปลงระยะยุบตัวของชิ้นงาน	[mm, m]
h	ระยะยุบตัวของชิ้นงานจากการกระแทก	[mm, m]
V	ความเร็ว (Velocity)	[m/s]

คำอธิบายสัญลักษณ์และคำย่อ (ต่อ)

สัญลักษณ์	ความหมาย	หน่วย
<i>Mass</i>	มวล	[kg]
<i>A</i>	พื้นที่ (Area)	[m ²]
σ	ความดันทางวิศวกรรม (Engineering Stress)	[N/m ² , Pa]
<i>F</i>	ค่าแรงที่กระทำตามแนวแกน	[N]
ε	ค่าความเครียดทางวิศวกรรม (Engineering Strain)	-

บทที่ 1

บทนำ

1.1 ความสำคัญและที่มาของปัญหาที่ทำการวิจัย

ปัจจุบันการพัฒนาวัสดุได้เป็นไปอย่างต่อเนื่องซึ่งวัสดุประกอบเป็นอีกหนึ่งทางเลือกที่สามารถนำไปใช้งานได้หลากหลายทั้งในอุตสาหกรรมการบิน อวตาร และรถยนต์ เนื่องจากคุณสมบัติทางกลของวัสดุประกอบมีค่าอัตราส่วนความแข็งแรงต่อน้ำหนักสูง (high strength weight ratio) สามารถปรับความแข็งแรงตามทิศทางที่รับภาระได้ จึงทำให้วัสดุประกอบถูกนำมาประยุกต์เป็นโครงสร้างร่วมส่วนหน้าของรถยนต์ ในการป้องกันความเสียหายของโครงสร้างห้องผู้โดยสารภายในได้ การชน ซึ่งบริเวณดังกล่าวเป็นบริเวณที่สร้างอันตรายแก่ผู้โดยสารรถยนต์จากแรงกระแทกที่อาจเกิดขึ้น ในกรณีที่เกิดการชนพลังงานที่เกิดจากการชนจะทำให้โครงสร้างเกิดการบุบตัว พลังงานจะถูกถ่ายเทมาอยู่ห้องผู้โดยสารตามโครงสร้างที่บุบตัวเข้ามาระหว่าง สร้างอันตรายต่อผู้โดยสารมากหรือน้อยขึ้นอยู่กับพลังงานที่เหลืออยู่ การพัฒนาโครงสร้างให้มีความปลอดภัยอย่างสูงเนื่องจากการแรงจากการชนหรือแรงกระแทกของyanพานะ และโครงสร้างป้องกันความปลอดภัยตามริมถนน เช่น แผงกันบริเวณทางโค้ง แผงกันบริเวณขอบสะพาน และป้ายสัญญาณ เป็นสิ่งสำคัญการทำให้โครงสร้างเหล่านี้แข็งแรงขึ้นเพื่อลดความเสี่ยงของอุบัติเหตุ ซึ่งทำให้เกิดความสูญเสียชีวิตของผู้ขับขี่ ดังนั้น ในการออกแบบทางด้านการกระแทกของโครงสร้าง ตัวแปรที่มีความสำคัญ ได้แก่ แรงสูงสุดที่มีค่าน้อยที่สุดและความสามารถการดูดซับพลังงานที่มีค่าสูงสุดของโครงสร้างเป็นสิ่งที่ต้องการ นอกจากนั้นผู้ออกแบบยังต้องพิจารณาเลือกใช้ขนาด รูปร่าง ชนิดวัสดุ และพฤติกรรมความเสียหายของโครงสร้างให้เป็นตามความต้องการตามเงื่อนไขของตัวประกันกล่าวข้างต้น

การศึกษานี้มีวัตถุประสงค์เพื่อศึกษาพัฒนาระบบติดตั้งและการทดสอบของห่อไฟเบอร์กลาสภายใต้แรงกระทำแบบกึ่งคงที่และกระแทกในแนวแกน โดยทั่วไปโครงสร้างyanพานะ มักจะทำด้วยโลหะ แต่ข้อเสียของวัสดุเหล่านี้ เมื่อถูกใช้ไประยะหนึ่ง จะเกิดการชำรุดและพังทลายไป อีกทั้งต้นทุนที่ใช้ในการผลิตค่อนข้างสูง ดังนั้นวัสดุประกอบเสริมแรง (Fiber reinforced composite, FRP) จึงเป็นอีกทางเลือกหนึ่ง ซึ่งวัสดุเหล่านี้มีคุณสมบัติที่สำคัญ คือ น้ำหนักเบา ความแข็งสูง ความสามารถในการดูดซับพลังงานสูง ทนต่อแรงกระทำช้าๆ ได้ดี ทนต่อการกัดกร่อน ไม่เหนียวแน่น ไฟฟ้าและสารเคมี ไม่เสื่อม化 และทนทานต่อการสึกหัก เป็นต้น ขึ้นงานที่ใช้ในการทดสอบของวัสดุนี้ คือ การทดสอบการติดตั้ง (Hand lay-up) โดยมีลักษณะนูน ไขว้ที่แตกต่างกัน โดยการศึกษาแสดงให้เห็นถึงอิทธิพลของเส้นไฟเบอร์กลาสต่อการติดตั้ง

แสดงให้เห็นถึงอิทธิพลของเส้นใยแก้วต่อผลลัพธ์งานคุณภาพ ลักษณะการเสียหายของชิ้นงาน และความสามารถในการคุณภาพลัพธ์งานจำเพาะ อีกทั้งยังเป็นการสร้างมาตรฐานของการผลิตและออกแบบโครงสร้างยานพาหนะต่อไปในอนาคต

1.2 วัตถุประสงค์ของโครงการวิจัย

1.2.1 ศึกษาพัฒนาระบบทดสอบของระหว่างแรงและระยะยุบของท่อไฟเบอร์กลาส โดยใช้การทดลองและระเบียบวิธีไฟไนต์เอลิเมนต์

1.2.2 เพื่อศึกษาอิทธิพลของลักษณะการเรียงหันซ้อนมุนไขว้ของเส้นใยต่อความสามารถในการรับแรงกระแทกในแนวแกน

1.3 ขอบเขตของงานวิจัย

การศึกษานี้มุ่งศึกษาพัฒนาระบบทดสอบของต่อการชนและความสามารถในการคุณภาพ พลังงานของท่อไฟเบอร์กลาสทรงกระบอกภายใต้แรงกระทำแบบกึ่งคงที่ (Quasi Static) และแรงกระแทก (Impact) ลักษณะการกระทำในแนวแกน โดยใช้วิธีการทดลองและระเบียบวิธีไฟไนต์เอลิเมนต์ ภายใต้ขอบเขตการทดลองดังนี้

1.3.1 กรณีแรงที่กระทำแบบกึ่งคงที่

1.3.1.1 ความเร็วในการกด คือ 10 mm/min

1.3.1.2 ระยะยุบของชิ้นงาน คือ 60 mm

1.3.1.3 ชิ้นงานถูกวางบนเครื่องทดสอบโดยไม่มีอุปกรณ์จับยึดที่ฐาน

1.3.1.4 เป็นการกดในแนวแกนด้วยแรงที่กระทำแบบกึ่งคงที่

1.3.2 กรณีแรงกระแทก

1.3.2.1 ความเร็วในการกระแทก คือ 7 m/s

1.3.2.2 ระยะห่างของค้อนก่อนปล่อยคือ 2.5 m

1.3.2.3 ชิ้นงานถูกวางบนเครื่องทดสอบโดยไม่มีอุปกรณ์จับยึดที่ฐาน

1.3.2.4 น้ำหนักของหัวค้อนคือ 45 kg

1.3.3 ชิ้นงานทดลอง

ชิ้นงานในการทดลองเป็นรูปทรงกระบอก ขึ้นรูปด้วย E-glass/polyester resin ชนิดของเส้นใยคือ biaxial ซึ่งมีลักษณะเป็นเส้นใยด้ายทอเป็นผืน และชนิดของเรซินคือ Isophalic resin

1.3.3.1 ชิ้นงานมีเส้นผ่านศูนย์กลางภายนอกคือ 50 mm ความยาวคือ 100 mm หนา 2 mm

1.3.3.2 ชิ้นงานที่ใช้ทดสอบมีมุนไบว์แตกต่างกัน 3 แบบ คือ ชิ้นงาน A มีมุนไบว์ [(0/90)/(0/90)/(0/90)] ชิ้นงาน B มีมุนไบว์ [(45/-45)/(45/-45)/(45/-45)] และชิ้นงาน C มีมุนไบว์ [(45/-45)/(0/90)/(45/-45)] ตามลำดับ

1.4 ประโยชน์ที่คาดว่าจะได้รับ

1.4.1 ทราบถึงพฤติกรรมการเสียหายของโครงสร้างท่อไฟเบอร์กลาสภายใต้แรงกระแทก

1.4.2 ข้อมูลที่ได้จะเป็นประโยชน์ในการออกแบบ เพื่อใช้งานโครงสร้างท่อไฟเบอร์กลาส เมื่อเป็นวัสดุรับแรงกระแทก

บทที่ 2

ข้อมูลพื้นฐาน ทฤษฎีและงานวิจัยที่เกี่ยวข้อง

2.1 วัสดุประกอบ (Composites material) [1]

ปัจจุบันพัฒนาการด้านวัสดุได้เป็นไปอย่างต่อเนื่อง นอกจากรถลุ่มพอลิเมอร์ โลหะและเซรามิกแล้ว ยังมีวัสดุที่สามารถจัดได้เป็นอีกกลุ่มใหญ่เพิ่มเติมจากสามกลุ่มหลักข้างต้นคือกลุ่ม วัสดุประกอบ คือ “วัสดุที่เกิดจากการรวมกันหรือผสมกันขององค์ประกอบ (จุลภาคหรืออนหภาค) ที่มีสมบัติทางเคมีและโครงสร้างที่ต่างกันตั้งแต่สององค์ประกอบขึ้นไป” ซึ่งองค์ประกอบที่มาผสมกันเหล่านี้จะไม่ละลายเข้าเป็นเนื้อเดียวกัน โดยวัสดุประกอบที่ได้เป็นวัสดุที่มีโครงสร้างใหม่ซึ่งโดยทั่วไปจะมีสมบัติที่ดีกว่าวัสดุด้านทางที่นำมาผสมกัน

วัตถุประสงค์ของการทำวัสดุประกอบเพื่อให้ได้มาซึ่งวัสดุที่มีสมบัติรวมเหนือกว่าสมบัติของแต่ละองค์ประกอบ หรือเป็นไปตามต้องการโดยไม่สามารถหาได้จากการใช่องค์ประกอบใดองค์ประกอบหนึ่งเพียงองค์ประกอบเดียว องค์ประกอบในวัสดุประกอบที่สำคัญแบ่งออกเป็น 2 ส่วนคือ เมทริกซ์ (Matrix) และส่วนเสริมแรง (Reinforcement) ประโยชน์ของวัสดุประกอบสามารถนำไปใช้งานได้หลากหลายทั้งในอุตสาหกรรมการบิน กีฬา ก่อสร้าง เคมีและอื่นๆ

2.2 เมทริกซ์และวัสดุเสริมแรง (Matrices and Reinforcements)

2.2.1 เมทริกซ์ (Matrices)

เมทริกซ์คือวัสดุหรือองค์ประกอบของวัสดุประกอบที่มีเฟสต่อเนื่อง โดยทั่วไปสำหรับวัสดุประกอบแล้วจะมีปริมาณมากกว่าส่วนเสริมแรง แต่ก็ไม่เสมอไป เมทริกซ์ทำหน้าที่ทั้งเป็นท่อสูญ ปกป่องและยึดเหนี่ยวส่วนเสริมแรงรวมทั้งถ่ายทอดภาระจากภายนอกที่กระทำไปยังส่วนเสริมแรงซึ่งส่วนใหญ่รับภาระได้มากกว่าส่วนของเมทริกซ์ วัสดุที่ใช้ทำเมทริกซ์ เช่น พอลิเมอร์ โลหะ เซรามิก และคาร์บอน เป็นต้น สำหรับกลุ่มพอลิเมอร์ที่ใช้ทำเมทริกซ์ประกอบด้วยทั้ง

เทอร์โมเซ็ต (thermosets) เทอร์โมพลาสติก (thermoplastics) และยาง (rubbers) ซึ่งข้อมูลเปรียบเทียบสมบัติของเทอร์โมเซ็ตและเทอร์โมพลาสติกดังแสดงในตารางที่ 2.1 แต่ละกลุ่มของเมทริกซ์ข้างต้นสามารถเลือกใช้วัสดุได้หลายๆ ชนิด เช่น

2.2.1.1 กลุ่มเทอร์มอเซ็ต ได้แก่ อีพอกซี่ พอลิเอสเทอร์ พอลิไอโอมิค และฟีโนลิก เป็นต้น ตารางที่ 2.2 แสดงสมบัติต่างๆ ของเทอร์มอเซ็ต

2.2.1.2 กลุ่มเทอร์มอพลาสติกได้แก่ คริลิก ไนล่อน พอลิสไตรีน พอลิเอธิลีน และพอลิอีเชอร์อีเชอร์คิโตน เป็นต้น

2.2.1.3 กลุ่มยาง ได้แก่ ยางธรรมชาติ และยางสังเคราะห์ ตัวอย่าง เช่น ยางบิว tha ไธน ไอโซฟรีน และ ไนโตรล์หรือยางเย็นบี อาร์ ซึ่งเป็นโคโพลิเมอร์ของอะคริโลนิโตรล์ และบิวตาไ刁อิน เป็นต้น

ตารางที่ 2.1 เปรียบเทียบช่วงของสมบัติระหว่างเทอร์มอเซ็ตและเทอร์มอพลาสติก [1]

Properties	Thermosets	Thermoplastics
Young's modulus (GPa)	1.3-6.0	1.0-4.8
Tensile strength (MPa)	20-180	40-190
Flexural toughness		
$k_{lc} (MPa.m^{\frac{1}{2}})$	05.-1.0	1.5-6.0
$G_{lc} (kJ / m^{\frac{1}{2}})$	0.02-0.2	0.7-6.5
Maximum service temperature (°C)	50-450	25-230

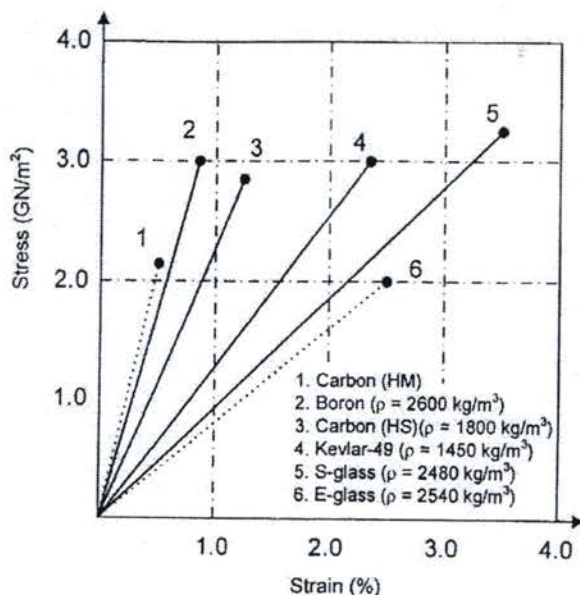
ตารางที่ 2.2 เปรียบเทียบสมบัติของเทอร์มอเซ็ตต่างๆ [1]

Properties	Epoxy	Polyester	Phenolics	Polyamides
Density (Mg / m ³)	1.1-1.4	1.1-1.5	1.3	1.2-1.9
Young's modulus (GPa)	2.1-6.0	1.3-4.5	4.4	3-3.1
Tensile strength (MPa)	35-90	45-85	50-60	80-190
Flexural toughness				
$k_{lc} (MPa.m^{\frac{1}{2}})$	0.6-1.0	0.5	-	-
$G_{lc} (kJ / m^{\frac{1}{2}})$	0.02	-	-	0.3-0.39
Thermal expansion ((10 ⁻⁶ K ⁻¹)	55-110	100-200	45-110	14-90
Glass trans. Temp. (°C)	120-190	-	-	-

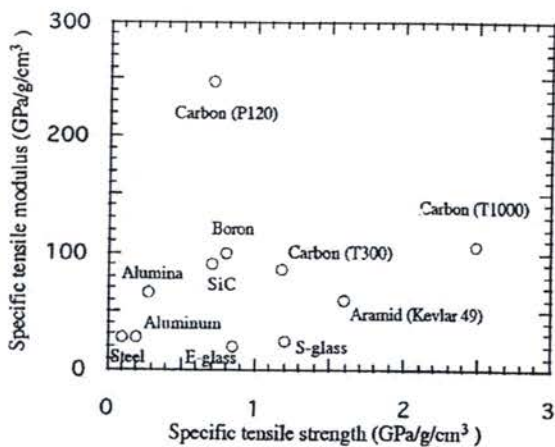
2.2.2 ส่วนเสริมแรง (Reinforcements)

เป็นวัสดุหรือตัวเติมที่ใช้เพื่อปรับปรุงสมบัติต่างๆ ของเมทริกซ์ เช่น ความแข็ง (hardness) ความแข็งแรง (strength) และความแข็งเกร็ง (stiffness) ให้เพิ่มขึ้นซึ่งบางครั้งเรียกว่าสุด หรือตัวเติมนี้ว่าตัวเสริมประสิทธิภาพหรือเสริมแรง (reinforcement) ถ้าบรรลุวัตถุประสงค์ข้างต้น ซึ่งเป็นได้ทั้งสารเคมีที่มีอนุภาคที่เล็กมากและเส้นใยเสริมแรงต่างๆ แต่บางกรณีพบว่าสัดส่วนที่เติมลงในเมทริกซ์เหนียวกว่าส่วนของเมทริกซ์ มักเรียกันทั่วไปว่า ตัวเติมไม่เสริมประสิทธิภาพหรือไม่เสริมแรง (inert filler or non-reinforcing filler) นิยมใช้เพื่อลดต้นทุนการผลิต ได้แก่ ดินขาว (clay) แป้ง แคลเซียมคาร์บอนเนต โลหะที่เติมลงในเมทริกซ์ของเซรามิก ตลอดถึงยางที่เติมในพลาสติก เป็นต้น

ในด้านการใช้งานแล้ววัสดุประกอบที่สำคัญที่สุด ได้แก่วัสดุประกอบที่เสริมแรง คือเส้นใย เส้นใยที่ใช้มีหลากหลายชนิดดังตัวอย่างของเส้นใยและสมบัติแสดงไว้ในภาพที่ 2.1 จุดมุ่งหมายของการทำวัสดุประกอบประเภทนี้เพื่อให้มีความแข็งแรงและแข็งเกร็งสูงในน้ำหนักอัน จำกัด โดยมักแสดงในรูปของความแข็งแรงจำเพาะ (specific strength) และความแข็งเกร็งหรือ modulus จำเพาะ (specific stiffness or modulus) ดังแสดงในภาพที่ 2.2 ดังนั้นวัสดุประกอบที่มีความ แข็งแรงและแข็งเกร็งจำเพาะสูงสามารถทำจากเมทริกซ์และเส้นใยที่มีน้ำหนักเบาได้ อย่างไรก็ตาม ความยาวของเส้นใยและการจัดเรียงตัวเป็นปัจจัยที่สำคัญต่อสมบัติของวัสดุประกอบเช่นกัน



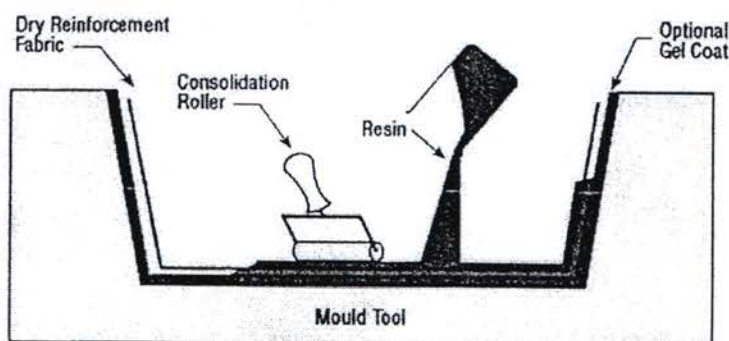
ภาพที่ 2.1 เปรียบเทียบเส้นใยเสริมแรงชนิดต่างๆ [1]



ภาพที่ 2.2 ความแข็งแรงและความแข็งเกร็งจำเพาะของวัสดุที่ทำจากเส้นใยชนิดต่างๆ [1]

2.3 การขึ้นรูปแบบพาดด้วยมือ (Hand Lay-up Molding)

เป็นการบวนการขึ้นรูปที่ทำได้ง่าย ต้นทุนถูกแต่เป็นกระบวนการที่ใช้เวลาและแรงงานมาก สามารถทำได้โดยการวางส่วนเสริมแรง (โดยทั่วไปเป็นเส้นใย) ลงในแม่พิมพ์และพาดทับด้วยเรซิ่นพร้อมกับใช้ลูกกลิ้งรีดให้เรซิ่นซึมผ่านลงในช่องว่างของค่าวาริมแรง ดังแสดงในภาพที่ 2.3 การขึ้นรูปสามารถทำขึ้นได้หลายชั้นเพื่อให้ได้ความหนาตามที่ต้องการ ในการทำวัสดุประกอบใช้สำหรับอากาศยานมักใช้วิธีนี้ในการขึ้นรูปเบื้องต้นก่อนใช้เครื่องอัดความดันและความร้อน หรือห้องบ่มอัดความดัน (autoclave) ต่อไป วิธีการนี้ยังมีข้อดีในเรื่องการจัดเรียงเส้นใยที่ทำได้ง่าย ตลอดถึงทำชิ้นงานที่รูปทรงซับซ้อนได้แต่ส่วนใหญ่จะใช้ขึ้นรูปผลิตภัณฑ์วัสดุคอมโพสิตทั่วๆ ไป เช่น เรือไฟเบอร์กลาสและอ่างอาบน้ำ เป็นต้น



ภาพที่ 2.3 การขึ้นรูปแบบพาดด้วยมือและตัวอย่างชิ้นงาน [1]

2.3.1 ขั้นตอนการเขียนรูป

2.3.1.1 เตรียมแม่แบบโดยการล้างทำความสะอาดผิวน้ำด้วยน้ำหรือผ้าเช็ดทำความสะอาดได้แล้วปล่อยให้แห้ง

2.3.1.2 ขัดผิวน้ำด้วยขี้ผึ้งขัดผิวเพื่อให้ผิวน้ำมันเรียบ

2.3.1.3 ทาและขัดขี้ผึ้ง เพื่อให้ผิวน้ำเรียบและมันยิ่งขึ้น และทำหน้าที่เป็นตัวตัดแบบขั้นต้นด้วย

2.3.1.4 ทาหรือพ่นสีผิวน้ำเจลโลตัสแล้วทิ้งให้แห้งตัว

2.3.1.5 วางผืนไชแก้วทับลงไป

2.3.1.6 ใช้ประแจหรือลูกกลิ้งจุ่มโพลิเอสเตอร์เรซินที่ผสมด้วยเร่งปฏิกิริยาแล้ว ทาหรือกลิ้งไปบนผืนไชแก้วให้ทั่ว ทิ้งให้โพลิเอสเตอร์เรซินแห้งตัวจึงตัดขอบ แล้วใช้ผ้าทรายลูบผิวด้านหนาที่เรียบ

2.3.1.7 หากต้องการให้ชิ้นงานมีความหนาและมีความแข็งแรงมากขึ้น ให้วางผืนไชแก้วทับลงไปอีกและทาหรือกลิ้งโพลิเอสเตอร์เรซินจนทั่ว สลับกันจนได้ความหนาที่ต้องการแล้ว ปล่อยทิ้งไว้ให้แห้งตัว

2.3.1.8 ตัดขอบไชแก้วที่ยื่นออกจากแม่แบบ

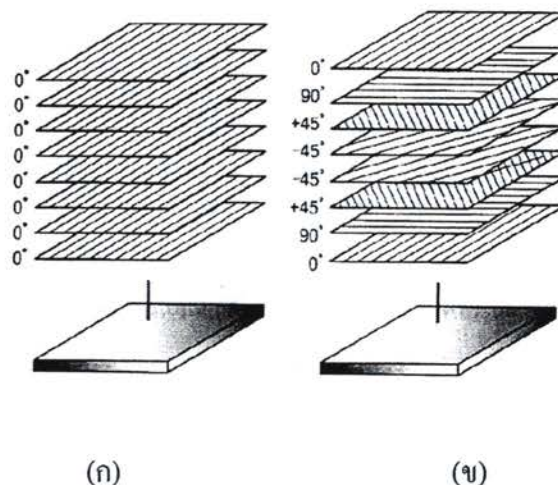
2.3.1.9 เมื่อชิ้นงานแข็งตัวได้ที่แล้วจึงถอดชิ้นงานออกจากแม่แบบ โดยใช้ลิ่นไม้สำลัก หรือลมอัด

2.3.1.10 ขัดตกแต่งขอบชิ้นงานให้เรียบ แล้วนำไปประกอบหรือต่อเติมชิ้นส่วนอื่นๆ

2.4 การจัดเรียงตัวของเส้น [2]

การเรียงตัวของเส้นในแม่ทริกซ์นั้นทำได้หลายวิธีด้วยกัน กรณีเส้นใยที่มีขนาดสั้นและเรียงตัวในแม่ทริกซ์ไม่เป็นระเบียบ จะทำให้ค่าอัตราส่วนของความยาวต่อความโดยตัว แต่การผลิตของวัสดุจะทำได้ยาก โดยเฉพาะขั้นตอนการใส่เส้นใยลงในแม่ทริกซ์ อีกทั้งการกระจายตัวของความแข็งแรงก็จะมีอย่างสม่ำเสมอต่ออุบัติเหตุในเนื้อของวัสดุสมด้วย

เส้นใยที่ยาวต่อเนื่องและเรียงตัวกันในทิศทางเดียวกันจะให้คุณสมบัติการกระจายตัวที่ไม่สม่ำเสมอทั่วทุกด้าน หากเราต้องการวัสดุที่ต้องการรับแรง traction ทิศทาง เราสามารถทำได้โดยจัดเรียงทิศทางของเส้นใยที่มีมุน Dekot กัน โดยใช้ไขที่มีความยาวต่อเนื่อง ดังภาพที่ 2.4



ภาพที่ 2.4 (ก) การเรียงตัวกันของเส้นใยในทิศทางเดียว (ข) การเรียงตัวของเส้นใยในทิศทางต่างกันเพื่อกระจายความแข็งแรงให้กับทุกด้าน [2]

2.5 กลศาสตร์ของวัสดุประกอบ (Mechanics of Composites)

2.5.1 สัดส่วนน้ำหนักและสัดส่วนปริมาตร (Weight and Volume Fractions)

สมบัติโดยรวมส่วนใหญ่ของวัสดุประกอบเกี่ยวข้องโดยตรงกับทั้งสมบัติและปริมาณของแต่ละองค์ประกอบที่ประกอบขึ้นเป็นวัสดุประกอบนั้น สำหรับสัดส่วนน้ำหนัก (Weight fraction, w_f) นั้นทั่วไปใช้ประโยชน์ในการเตรียมปริมาณสาร ในการขึ้นรูปแต่สำหรับสัดส่วนปริมาตร (volume fraction, v_f) มักใช้ในการวิเคราะห์สมบัติต่างๆ ของวัสดุประกอบมากกว่าการใช้สัดส่วนน้ำหนัก และสัดส่วนปริมาตรสัมพันธ์กับน้ำหนัก (W) และปริมาตร (V) ของแต่ละองค์ประกอบ เมื่อ c แทนวัสดุประกอบ f แทนส่วนเสริมแรง และ m แทนเมทริกซ์ ดังนี้

$$w_f = \frac{W_f}{W_c} \text{ และ } w_m = \frac{W_m}{W_c} \quad (2.1)$$

และ

$$v_f = \frac{V_f}{V_c} \text{ และ } v_m = \frac{V_m}{V_c} \quad (2.2)$$

จะได้ว่า

$$w_f + w_m = 1 \quad (2.3)$$

และ

$$V_f + V_m = 1 \quad (2.4)$$

- โดยที่ w_f กือ สัดส่วนน้ำหนักของเส้นใย
 w_m กือ สัดส่วนน้ำหนักของเมทริกซ์
 V_f กือ สัดส่วนปริมาตรของเส้นใย
 V_m กือ สัดส่วนปริมาตรของเมทริกซ์
 w_r กือ น้ำหนักของเส้นใย
 w_c กือ น้ำหนักของวัสดุประกอบ
 w_n กือ น้ำหนักของเมทริกซ์
 V_r กือ ปริมาตรของเส้นใย
 V_c กือ ปริมาตรของวัสดุประกอบ
 V_n กือ ปริมาตรของเมทริกซ์

สัดส่วนน้ำหนักและสัดส่วนปริมาตรสามารถโดยความสัมพันธ์ด้วยความหนาแน่นจาก

$$W_c = W_f + W_m \quad (2.5)$$

และ

$$W = \rho V \quad (2.6)$$

ดังนั้น

$$\rho_c V_c = \rho_f V_f + \rho_m V_m \quad (2.7)$$

$$\rho_c = \rho_f \left(\frac{V_f}{V_c} \right) + \rho_m \left(\frac{V_m}{V_c} \right) \quad (2.8)$$

$$\rho_c = \rho_f V_f + \rho_m V_m \quad (2.9)$$

- โดยที่ ρ_c คือ ความหนาแน่นของวัสดุประกอบ
 ρ_f คือ ความหนาแน่นของเส้นใย
 ρ_m คือ ความหนาแน่นของเมทริกซ์

และจาก

$$V_c = V_f + V_m \quad (2.10)$$

จากสมการ (2.10) จะได้

$$\frac{W_c}{\rho_c} = \frac{W_f}{\rho_f} + \frac{W_m}{\rho_m} \quad (2.11)$$

หรือ

$$\frac{1}{\rho_c} = \frac{w_f}{\rho_f} + \frac{w_m}{\rho_m} \quad (2.12)$$

จากสมการ (2.4) และ (2.12) จะได้ว่า

$$V_f = \frac{w_f \rho_c}{\rho_f} s \quad (2.13)$$

และ

$$V_m = \frac{w_m \rho_c}{\rho_m} \quad (2.14)$$

2.5.2 กลศาสตร์จุลภาคของวัสดุประกอบ (Micromechanics of Composite Materials)

2.5.2.1 กลศาสตร์จุลภาคสำหรับความแข็งเกร็งของวัสดุประกอบเสริมแรงด้วยเส้นใย (Micromechanics For Fiber Reinforced Composites)

ในเบื้องต้นนี้จะวิเคราะห์ถึงกลศาสตร์จุลภาคสำหรับความแข็งเกร็ง (Stiffness) ของวัสดุประกอบที่ประกอบขึ้นจากการเสริมแรงด้วยเส้นใยวางในทิศทางเดียว (unidirectional Composites) เพื่อนำไปสู่การวิเคราะห์ขั้นสูงของวัสดุประกอบที่มีการจัดเรียงเส้นใยในหลายทิศทางและหลายชั้น (laminated Composites) ต่อไป

กลศาสตร์จุลภาคสำหรับความแข็งเกร็งตามแนวแกนเส้นใย (Micromechanics for longitudinal stiffness) แบบจำลองการวิเคราะห์ดังแสดงในภาพที่ 2.5 สมมติให้มีทริกซ์และเส้นใยสร้างพันธะยึดเหนี่ยวกันแบบสมบูรณ์ (Perfect Bonding) โดยไม่มีการลื่นไถลของผิวสัมผัสแยกจากกันเมื่อ P_c คือแรงที่กระทำกับหน้าตัด σ คือความดัน และ A คือพื้นที่หน้าตัด แบบจำลองข้างต้นความเครียดที่เกิดขึ้นในวัสดุประกอบ ความเครียดในเส้นใย และความเครียดในแมทริกซ์ มีค่าเท่ากัน จากแบบจำลองข้างต้นเขียนความสัมพันธ์ได้

$$\varepsilon_c = \varepsilon_f = \varepsilon_m \quad (2.15)$$

โดยที่

ε_c คือ ความเครียดที่เกิดขึ้นในวัสดุประกอบ

ε_f คือ ความเครียดในเส้นใย

ε_m คือ ความเครียดในแมทริกซ์

ภาระที่กระทำต่อเส้นใยและภาระที่กระทำต่อมาทริกซ์ดังแสดงในสมการที่ (2.16) และ (2.17) ตามลำดับ

$$P_f = \sigma_f A_f \quad (2.16)$$

$$P_m = \sigma_m A_m \quad (2.17)$$

- โดยที่ P_f คือ ภาระที่กระทำต่อเส้นใย
 P_m คือ ภาระที่กระทำต่อมะทริกซ์
 P_c คือ ภาระที่กระทำต่อวัสดุประกอบ

ส่วนภาระที่กระทำต่อวัสดุประกอบ เขียนได้เป็น

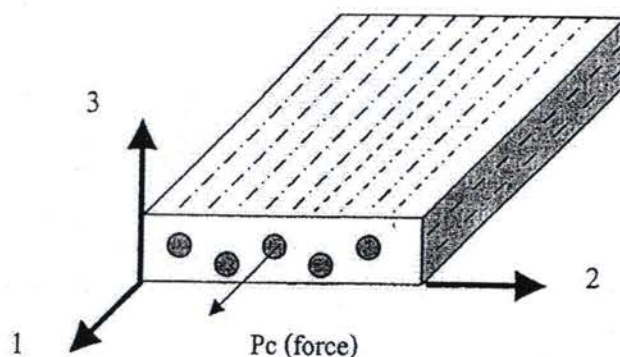
$$P_c = \sigma_c A_c \quad (2.18)$$

เมื่อระบบอยู่ในภาวะสมดุล

$$\text{ดังนั้น} \quad P_c = P_f + P_m \quad (2.19)$$

$$\sigma_c A_c = \sigma_f A_f + \sigma_m A_m \quad (2.20)$$

$$\sigma_c = \frac{\sigma_f A_f}{A_c} + \frac{\sigma_m A_m}{A_c} \quad (2.21)$$



ภาพที่ 2.5 แบบจำลองการวิเคราะห์กลศาสตร์จุลภาคตามแนวแกนของเส้นใย [2]

สำหรับเส้นไขความยาวเท่ากันและวางในแนวเดียวกันสัดส่วนพื้นที่ของเส้นไขเท่ากับสัดส่วนของปริมาตรดังนี้

$$V_f = \frac{A_f}{A_c} \text{ และ } V_m = \frac{A_m}{A_c} \quad (2.22)$$

จะได้ว่า

$$\sigma_c = \sigma_c V_f + \sigma_m V_m \quad (2.23)$$

เมื่อการเปลี่ยนแปลงอยู่ในช่วงยืดหยุ่นเชิงเส้น (Linear elastic) และ E_c คือมอดุลัสของวัสดุประกอบตามแนวแกนเส้นไข ส่วน E_f คือ มอดุลัสของเส้นไขตามแนวแกน และ E_m คือมอดุลัสของเมทริกซ์จะได้

$$\sigma_c = E_c \varepsilon_c, \sigma_f = E_f \varepsilon_f, \sigma_m = E_m \varepsilon_m \quad (2.24)$$

นำสมการ (2.24) แทนใน (2.23) จะได้ว่า

$$E_c \varepsilon_c = E_f \varepsilon_f V_f + E_m \varepsilon_m V_m \quad (2.25)$$

เมื่อ $\varepsilon_c = \varepsilon_f = \varepsilon_m$ ดังนั้น

$$E_c = E_f V_f + E_m V_m \quad (2.26)$$

ซึ่งสมการ (2.26) อธิบายในรูปเดียวกับสมการของผลสมดังที่กล่าวมาแล้วและเมื่อวัสดุประกอบมีองค์ประกอบของเส้นไขและเมทริกซ์มากกว่าอย่างละหนึ่งองค์ประกอบ สามารถเขียนเป็นสมการทั่วไปได้เป็น

$$E_c = \sum_i E_f V_f + \sum_j E_m V_m \quad (2.27)$$

หมายเหตุ: สำหรับสมการ (2.27) จะใช้ได้กับการทำนายผลจากการทดสอบสมบัติการดึงที่เส้นใยที่ยึดตัวเมื่อมีการกระทำ แต่ในการนิการอัดแล้วก่อให้เกิดการยุบตัวของเส้นใย (misalignment) ส่งผลให้การทำนายคลาดเคลื่อนไปจากความเป็นจริงมาก

กลศาสตร์จุลภาคสำหรับความแข็งเกร็งตามแนวขวางแกนเส้นใย (Micromechanics for transverse stiffness) เมื่อพิจารณาถึงแรงหรือความเค้น σ_c ที่กระทำต่อวัสดุประกอบในแนวขวางแกนเส้นใยดังแบบจำลองแสดงในภาพที่ 2.6 (ก) ซึ่งเขียนส่วนหน้าตัดแทนใหม่ด้วยแบบจำลอง ดังรูป 2.6 (ข) จากรูปดังกล่าวจะเห็นได้ว่าสัดส่วนความยาวของหน้าตัดเป็นค่าเดียวกับสัดส่วนปริมาตร $\left(\frac{l_t}{l_c} = \frac{v_t}{v_c}\right)$ ในกรณีนี้แรงหรือความเค้นมีค่าคงที่ตลอดความยาวของหน้าตัด ส่วนการยึดตัวตามแนวขวางจะเป็น

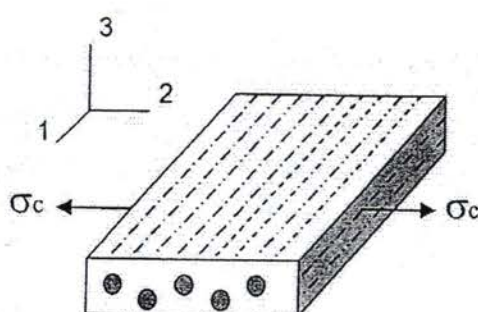
$$\delta_c = \delta_r + \delta_m \quad (2.28)$$

โดยที่ δ_c คือ การยึดตัวตามแนวขวางของวัสดุประกอบ

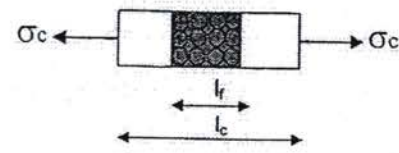
δ_r คือ การยึดตัวตามแนวขวางเส้นใย

δ_m คือ การยึดตัวตามแนวขวางเมทริกซ์

$$\varepsilon_c l_c = \varepsilon_r l_r + \varepsilon_m l_m \quad (2.29)$$



(ก)



(ข)

ภาพที่ 2.6 แบบจำลองการวิเคราะห์กลศาสตร์จุลภาคตามแนวขวางกับแนวขวางของเส้นใย [2]

$$\varepsilon_c = \varepsilon_f \frac{l_f}{l_c} + \varepsilon_m \frac{l_m}{l_c} \quad (2.30)$$

เมื่อ

$$V_f = \frac{l_f}{l_c} \text{ และ } V_m = \frac{l_m}{l_c} \quad (2.31)$$

$$\varepsilon_c = \varepsilon_f V_f + \varepsilon_m V_m \quad (2.32)$$

เมื่อการเปลี่ยนแปลงอยู่ในช่วงขีดหยุ่นเชิงเส้น $\sigma = E\varepsilon$ ดังนั้น

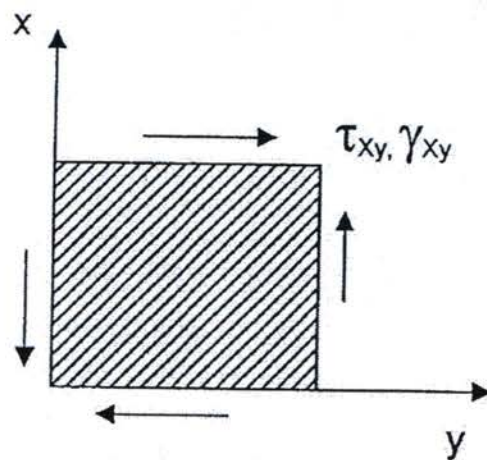
$$\frac{\sigma_c}{E_c} = \frac{\sigma_f}{E_f} V_f + \frac{\sigma_m}{E_m} V_m \quad (2.33)$$

เมื่อ $\sigma_c = \sigma_f = \sigma_m$ ดังนั้น

$$\frac{1}{E_c} = \frac{1}{E_{22}} = \frac{V_f}{E_f} + \frac{V_m}{E_m} \quad (2.34)$$

กลศาสตร์จุลภาคสำหรับความแข็งเกริงการเฉือน (Micromechanics for shear stiffness) ในทำนองเดียวกับการหา modulus ตามแนวของ การหา modulus เฉือนสามารถใช้โมเดลแสดงในภาพที่ 2.7 และสมการสำหรับ modulus เฉือน ดังแสดงในสมการที่ (2.35) จะเห็นได้ว่า G_{12} ขึ้นกับ G_m เป็นหลัก (เช่นเดียวกับ E_{22} ที่ขึ้นอยู่กับ E_m นั้นเอง) ในทางปฏิบัติแล้วค่า G_f อาจหายจากการคำนวณด้วยค่า E_f และ V_f

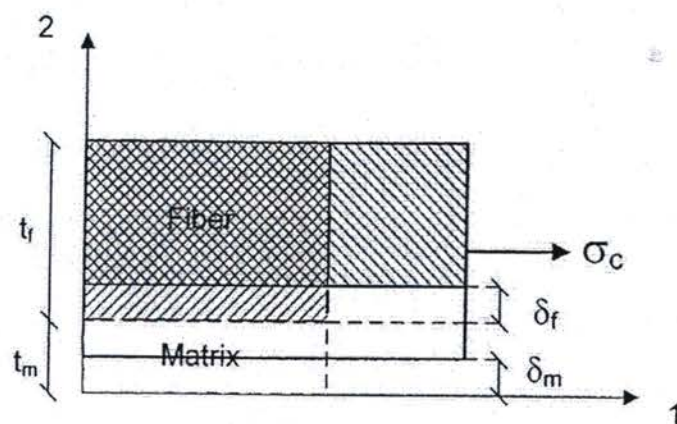
$$\frac{1}{G_{12}} = \frac{V_f}{G_f} + \frac{V_m}{G_m} \quad (2.35)$$



ภาพที่ 2.7 แบบจำลองการวิเคราะห์กลศาสตร์ฉลากสำคัญรับการเฉือน [2]

2.5.2.2 ค่าอัตราส่วนปีวชอง (Poisson's Ratio, ν)

ในการคำนวณเดียวกับการหาความอุดมสมบูรณ์ตามแนวแกนของเส้นใย การหาอัตราส่วนปีวชองสามารถใช้โมเดลดังแสดงในภาพที่ 2.8



ภาพที่ 2.8 แบบจำลองการวิเคราะห์กลศาสตร์ฉลากสำคัญรับ荷载อัตราส่วนปีวชอง [2]

จากแบบจำลองดังรูปจะได้ว่า

$$\delta_f = t_f (\varepsilon_{22})_f = -t_f \nu_f \varepsilon_f \quad (2.36)$$

$$\delta_m = t_m (\varepsilon_{22})_m = -t_m \nu_m \varepsilon_m \quad (2.37)$$

$$\delta_c = t_c (\varepsilon_{22})_c = -t_c v_c \varepsilon_c \quad (2.38)$$

จาก $\delta_c = \delta_f = \delta_m$ และ $\varepsilon_c = \varepsilon_f = \varepsilon_m$

ดังนั้น

$$t_c V_{12} = t_f V_f + t_m V_m \quad (2.39)$$

$$V_{12} = \frac{t_f}{t_c} V_f + \frac{t_m}{t_c} V_m \quad (2.40)$$

$$\text{เนื่องจาก } \frac{t_f}{t_c} = v_f \text{ และ } \frac{t_m}{t_c} = v_m$$

ดังนั้น

$$V_{12} = v_f v_f + v_m v_m \quad (2.41)$$

2.6 มาตรฐานสากลในการทดสอบรถยนต์ [3]

ในการศึกษาการเสียหายของโครงสร้างยานยนต์นี้ ได้มีการศึกษาวิจัยอย่างจริงจังและแพร่หลายในต่างประเทศ โดยมีมาตรฐานการทดสอบการชนแบบต่างๆ หรือแม้แต่ในการทดสอบการชนจากโปรแกรมคอมพิวเตอร์ นอกเหนือไปนี้ในประเทศไทยยังได้มีการกำหนด มาตรฐานในการทดสอบรถยนต์ไว้หลายมาตรฐาน เช่น มาตรฐานด้านความปลอดภัยของสภาพน้ำยา (Federal Motor Vehicle Safety Standard, FMVSS) มาตรฐานการประเมินและการทดสอบรถยนต์ใหม่ (New Car Assessment Program, NCAP) และมาตรฐานด้านความปลอดภัยทางด่วน (Insurance Institute for Highway Safety, IIHS) ซึ่งอาจกล่าวได้ว่า การศึกษาเกี่ยวกับโครงสร้างยานยนต์ภายใต้การชนกระแทกนั้นมีความสำคัญอย่างมากในปัจจุบัน ดังจะได้อธิบายในรายละเอียดต่อไปนี้

2.6.1 มาตรฐานความปลอดภัยของสหพันธ์ยานยนต์ (FMVSS)

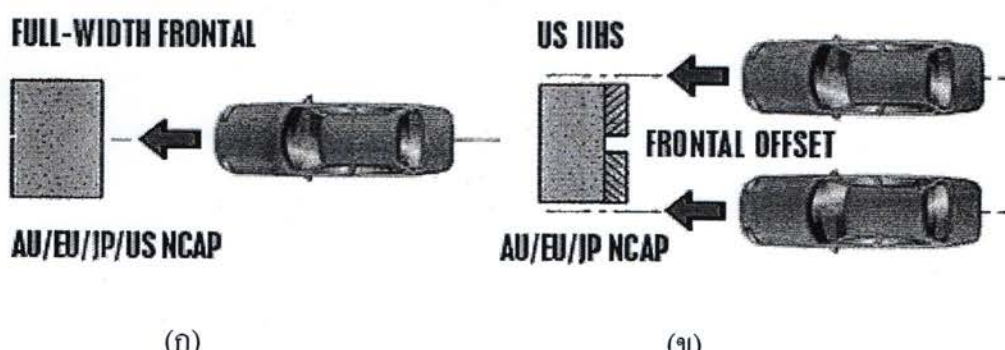
เป็นมาตรฐานด้านความปลอดภัยทางรถยนต์และเริ่มใช้ที่ประเทศสหรัฐอเมริกา ซึ่งเป็นมาตรฐานในการทดสอบระบบต่างๆ ของรถยนต์และเริ่มใช้ครั้งแรกในปี 1968 โดยมาตรฐานที่ใช้มีหลายประเภท ตัวอย่างเช่น มาตรฐานที่ 116 (Motor Vehicle Brake Fluids) ซึ่งเป็นข้อกำหนดเกี่ยวกับระบบเบรกในรถยนต์ โดยมาตรฐานที่มีการใช้ครั้งแรกคือ มาตรฐานที่ 209 ซึ่งกล่าวถึงความปลอดภัยในการใช้เข็มขัดนิรภัยกับผู้โดยสารทั้งรถยนต์ส่วนบุคคล รถบรรทุก และรถยนต์โดยสาร เป็นต้น นอกจากนี้ยังมีมาตรฐานการทดสอบแบบอื่นๆ อีกหลายข้อที่ไม่ได้กล่าวถึง ซึ่งเน้นเรื่องของความปลอดภัย เป็นหลัก

2.6.2 มาตรฐานการประเมินและการทดสอบรถยนต์ใหม่ (NCAP)

มาตรฐานการประเมินและการทดสอบรถยนต์ใหม่นี้มีใช้หลายทวีป เช่น ทวีปอเมริกา ยุโรป ญี่ปุ่นและออสเตรเลีย โดยมีวิธีการทดสอบการชนในหลายลักษณะดังนี้

2.6.2.1 การทดสอบโดยการชนด้านหน้าแบบเต็ม (Full frontal crash) ในการทดสอบนี้จะใช้ความเร็วในการชน 64 km/h (40 mph) โดยให้รถยนต์พุ่งเข้าชนกับแท่นชนแบบเต็มหน้า ด้วยความเร็วที่กำหนดเพื่อศูนย์สามารถในการต้านทานความเสียหายและลักษณะของการเสียหาย เพื่อวิเคราะห์ถูกความแข็งแรงและเป็นข้อมูลในการผลิตต่อไป ดังแสดงในภาพที่ 2.9 (ก)

2.6.2.2 การทดสอบโดยการชนด้านหน้าแบบครึ่งหนึ่ง (Offset frontal crash) การทดสอบการชนแบบนี้จะใช้ความเร็วในการชน 56 km/h (35 mph) มีวิธีการทดสอบคือ ให้รถวิ่งชนกับแท่นชนตามกำหนดโดยจะชนเพียงชิ้นเดียวเท่านั้น ดังแสดงในภาพที่ 2.9 (ข)

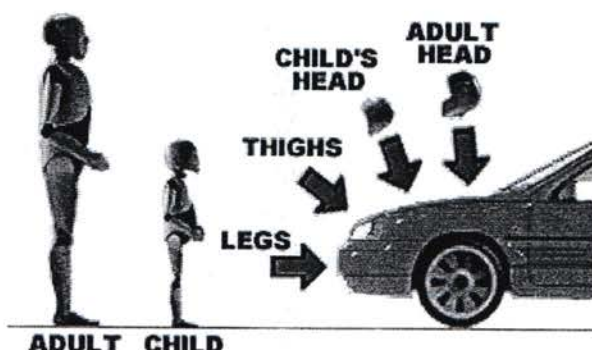


ภาพที่ 2.9 ลักษณะการทดสอบการชนด้านหน้าตามมาตรฐานการทดสอบรถยนต์ใหม่

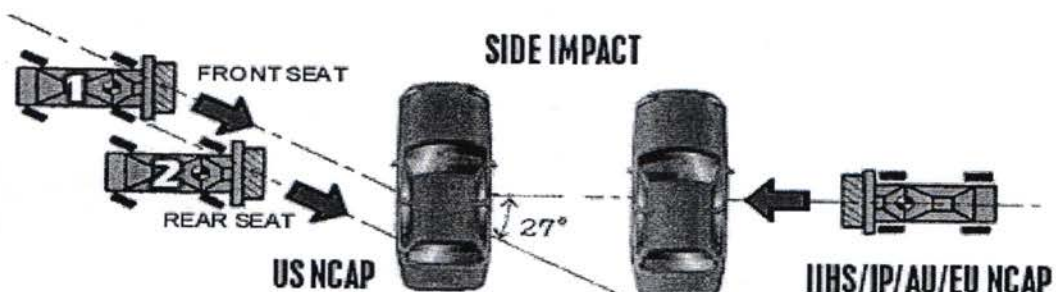
(ก) การทดสอบการชนแบบเต็ม (ข) การทดสอบการชนแบบครึ่ง [3]

2.6.2.3 การทดสอบโดยการชนคนเดินเท้า ในการทดสอบนี้ความเร็วที่ใช้ประมาณ 40 km/h (25 mph) เป็นการทดสอบการชนคนเดินทางเท้าโดยสร้างหุ่นจำลองจากนั้นให้รถวิ่งเข้าชนตามความเร็วที่กำหนดเพื่อสังเกตจุดที่จะเกิดอันตรายกับร่างกายในส่วนต่างๆ ดังแสดงในภาพที่ 2.10

2.6.2.4 การทดสอบโดยการชนด้านข้างมีวิธีการทดสอบคือให้รถวิ่งเข้าชนรถยนต์อีกคันหนึ่งด้วยความเร็ว 50 km/h (30 mph) ไปในทิศทางด้านข้างของรถทดสอบและในทิศทางมุมที่ต่างกันโดยรถคันที่ชนจะใช้เป็นลักษณะ Rigid Body ดังแสดงในภาพที่ 2.11



ภาพที่ 2.10 มาตรฐานการทดสอบการชนคนเดินเท้าของการทดสอบรถยนต์ใหม่ [3]



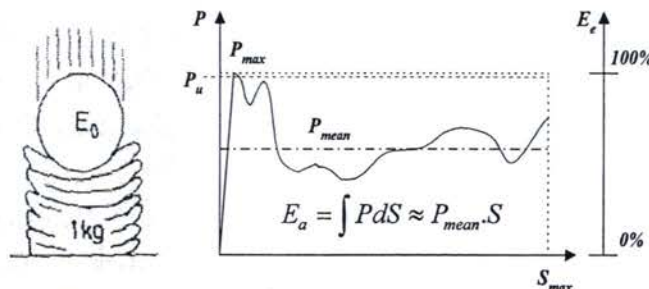
ภาพที่ 2.11 มาตรฐานการทดสอบการชนด้านข้างของการทดสอบรถยนต์ใหม่ [3]

2.7 ตัวแปรที่ใช้ในการศึกษารับแรงกระแทก [4]

2.7.1 ภาระวิกฤติหรือภาระเสียหาย

ภาระวิกฤติ (Critical load or Collapse load), P_{cr} หมายถึง ภาระครั้งแรกที่ทำให้ชิ้นงานเกิดการเสียหายอย่างสังเกตเห็นได้ ณ จุดนี้เป็นตำแหน่งที่เส้นกราฟในภาพที่ 2.12 เริ่มตกลงหลังจากที่กราฟขึ้นสูงสุดในช่วงแรก ซึ่งภาระวิกฤตินี้มีความสำคัญมากกับการออกแบบเพื่อไม่ให้

ชิ้นงานเกิดการเสียหายก่อนช่วงเวลาที่เหมาะสม แต่ในบางครั้งภาระวิกฤตอาจจะมีค่าเท่ากับภาระสูงสุด (P_{max}) ได้ ในกรณีของภาพที่ 2.12 นี้จะเห็นว่าภาระสูงสุดมีค่าเท่ากับภาระวิกฤตหรืออาจกล่าวได้ว่าค่าภาระวิกฤตคือ ค่าภาระที่สูงที่สุดครั้งแรกก่อนที่เส้นกราฟจะตกลงและหลังจากช่วงนี้อาจมีค่าภาระสูงกว่าจุดนี้ได้



ภาพที่ 2.12 แสดงความสัมพันธ์ระหว่างค่าภาระและระยะยุบตัว (Load - Displacement Curve) [4]

2.7.2 ภาระสูงสุด

ภาระสูงสุด (Maximum load), P_{max} หมายถึง ภาระสูงสุดที่เกิดขึ้นในกราฟของค่าภาระและระยะยุบตัวตลอดช่วงเวลาการเสียหายของชิ้นงาน ซึ่งค่าของภาระสูงสุดควรจะอยู่ในช่วงที่เหมาะสมและไม่ต้องสูงมากจนเกินไป เพราะจะทำให้อัตราเร่งไม่คงที่ เช่น การลดความเร็วอย่างทันทีทันใด อาจทำให้เกิดอันตรายต่อร่างกายมนุษย์ด้วย

2.7.3 ภาระเฉลี่ย

ภาระเฉลี่ย (Mean crushing load), P_{mean} หมายถึง ค่าของภาระเฉลี่ยตลอดการเสียรูปของโครงสร้างภายใต้การชนกระแทกจนสิ้นสุดการยุบตัว โดยมักเปรียบเทียบกับระยะยุบตัวของชิ้นงาน ซึ่งค่าภาระเฉลี่ยนี้มีความสัมพันธ์โดยตรงกับค่าพลังงานที่โครงสร้างสามารถดูดซับได้ โดยทั่วไปแล้วค่าภาระเฉลี่ยควรมีค่าสูงเพื่อให้ได้ค่าพลังงานดูดซับที่สูงตามไปด้วย

2.7.4 พลังงานดูดซับ

พลังงานดูดซับ (Energy absorption), E_a หมายถึง ค่าพลังงานที่ชิ้นงานสามารถดูดซับได้ตลอดการชนกระแทกหรือการยุบตัว ซึ่งหาได้จากการรวมพื้นที่ใต้กราฟระหว่างภาระที่ใช้กับระยะยุบตัวที่ได้จากการชนกระแทกของชิ้นงานหรือโครงสร้าง จาก ภาพที่ 2.12 เป็นกราฟแสดงค่าภาระที่ใช้และระยะยุบตัวจากตัวอย่างการทดสอบการชนของเหล็กชนิดหนึ่ง จากกราฟแสดงค่าตัวแปรที่เกิดขึ้นระหว่างการทดสอบ คือ ค่าการดูดซับพลังงานจากการชนของชิ้นงาน สามารถหาได้จากสมการที่ (2.42)

$$E_a = \int P dS \quad (2.42)$$

โดยที่ E_a คือ พลังงานที่ชิ้นงานดูดซับไว้ได้
 P คือ ภาระที่กระทำกับวัสดุชิ้นงาน
 dS คือ การเปลี่ยนแปลงระยะยูบตัวของชิ้นงาน

จากภาพที่ 2.12 เนื่องจากเส้นกราฟของภาระและระยะการยูบตัวไม่คงที่ สมำสັນອຕລອຄະຍະເວລາທີ່ເກີດກາຮນກະແກກ ດັ່ງນັ້ນໃນທາງປົງປົງຕິຈິງແນະນຳໃຫ້ກາຮປະມາມ ຈາກຄ່າກາຮເຄີດຍື່ຕາມຫລັກຂອງ mean - value theorem ໃນກາຮຫາຄ່າກາຮດູດຊັບພລັງຈານຂອງວັສດຸ ຈາກ ກາຮນກະແກກ ຜຶ່ງທາຄ່າໄດ້ໂດຍໃຫ້ສົນກາຣທີ່ (2.43)

$$E_a = P_{mean} \cdot S \quad (2.43)$$

2.7.5 พลังงานดูดซับจำเพาะ

พลังงานดูดซับจำเพาะ (Specific energy absorption) E_s หมายถึง ຄ່າກາຮດູດຊັບພລັງຈານຂອງໂຄຮງສ້າງහີ່ນໆ ເທິບກັນນໍ້າໜັກຂອງຕົວໂຄຮງສ້າງເອງ ໃນກາຮຫາຄ່າກາຮດູດຊັບພລັງຈານ จำພາທີ່ເກີດຈາກກາຮນກະແກກນັ້ນ ຕົ້ນຄໍານິ່ງດີ່ງບໍ່ຢ່າຍຍ່າງທີ່ມີອີທີພລັດກ່ອງກາຮນ ປົກທຳໄປ ຂຶ້ນຈານຈະສາມາຮດູດຊັບພລັງຈານໄດ້ຕາມຄວາມສາມາດຂອງຕົວມັນເອງ ເມື່ອຂຶ້ນຈານເຮີ່ມດູດຊັບພລັງຈານ ຈາກກາຮນກະແກກ ຕົວມັນເອງຈະເຮີ່ມຍຸບຕົວຫຼືອພັບຕົວຈົກກະທຳທີ່ໄມ່ສາມາຮດູບຕົວຕ່ອງໄດ້ອີກ ລັກນະເໜີນ໌ໜາຍຄື່ງ ວັສດຸຂຶ້ນຈານນັ້ນໄດ້ດູດຊັບພລັງຈານໄດ້ເຕັ້ນທີ່ແລ້ວ ດັ່ງນັ້ນແຮງທີ່ເຫດລືອຍູ້ກໍຈະຖຸກສ່າງໄປຢັງ ຂຶ້ນສ່ວນທີ່ເຮົາຕ້ອງກາຮປົກປົງໃຫ້ຄວາມປົກປົງກັບຫຼັກນະເໜີ ເຊັ່ນຮ່າງກາຍຂອງມຸນຍື່ນໃຫ້ອັນດີສາຮາ ປົກທຳແລ້ວເຮົານັກພິຈາລະນາກາຮດູດຊັບພລັງຈານ ໂດຍເທິບກັນມວລຂອງຕົວໂຄຮງສ້າງເອງ ເພື່ອໄມ່ໄຫ້ຂຶ້ນຈານມີມວລນາກເກີນໄປກ່າລ່າວ໌ຄື່ອ ແນວ່າຂຶ້ນຈານຈະສາມາຮດູດຊັບພລັງຈານໄດ້ນາກແຕ່ດ້າຂຶ້ນຈານມີມວລທີ່ນາກເກີນໄປກໍຈ້າ ໄນເໜາະສົມກັນໂຄຮງສ້າງບາງໜົນດີ ຕ້ວອຍ່າງເຊັ່ນ ໂຄຮງສ້າງຂອງຮອບນັດຫຼືອຍານພາຫນະອື່ນໆ ຜຶ່ງຄ່າພລັງຈານດູດຊັບຈຳພາບສາມາດຫາໄດ້ຈາກສົນກາຣທີ່ (2.44)

$$E_s = \frac{\int P dS}{mass} \approx \frac{P_{mean} \cdot S}{mass} \quad (2.44)$$

โดยที่

E_s คือ การດູດຊັບພລັງຈານຈຳພາບ

P_{mean} คือ การเฉลี่ย

S คือ ระยะที่วัสดุชิ้นงานยุบตัวได้จากเริ่มต้นจนถึงจุดสุดท้าย

2.8 หลักการของระเบียนวิธีไฟฟ้าโนต์เอลิเมนต์ [5]

การแก้ปัญหาทางด้านวิศวกรรม มีส่วนอย่างมากในการสร้างเสริมปรับปรุงความเป็นอยู่ของมนุษย์ให้ดีขึ้น ประกอบการแก้ไขข้อจำกัดความสามารถอธิบายได้จากกฎเกณฑ์ทางฟิสิกส์และทำการประดิษฐ์ขึ้นมาในลักษณะของสมการต่างๆ ได้ ซึ่งอาจอยู่ในรูปแบบสมการอนุพันธ์ (Differential Equation) หรือในรูปแบบของสมการอินทิกรัล (Integral Equation) เป็นต้น โดยปกติแล้วปัญหานี้จะประกอบด้วยสมการเชิงอนุพันธ์ที่สอดคล้องกัน รวมทั้งเงื่อนไขขอบเขตและเงื่อนไขเริ่มต้นที่เหมาะสม ค่าของผลเฉลยแม่นตรงซึ่งเป็นผลลัพธ์ที่แท้จริงของปัญหาดังกล่าว จะประกอบด้วยค่าของตัวแปรที่มีขนาดต่างๆ กันและเปลี่ยนแปลงไปตามตำแหน่งต่างๆ ของรูปร่างปัญหานี้ หรือค่าผลเฉลยแม่นตรงประกอบด้วยค่าต่างๆ ทั้งหมดนี้เป็นจำนวนอนันต์ค่าแทนที่จะทำการหาค่าแม่นตรงที่ประกอบด้วยค่าจำนวนมากต่างๆ ดังกล่าวซึ่งปัญหาในทางปฏิบัติจะทำไม่ได้ หลักการคือ ทำการเปลี่ยนค่าแม่นตรงทั้งหมดที่มีจำนวนอนันต์ค่านี้มาเป็นค่าโดยประมาณที่มีจำนวนที่นับได้ ด้วยการแบ่งรูปร่างลักษณะของปัญหานี้ออกเป็นเอลิเมนต์ ซึ่งมีขนาดต่างๆ กัน ผลเฉลยโดยประมาณของแต่ละเอลิเมนต์นี้จะเป็นต้องสอดคล้อง กับสมการเชิงอนุพันธ์และเงื่อนไขต่างๆ ที่กำหนดมาให้สำหรับปัญหานี้ฯ ซึ่งหมายความว่าหลักการของระเบียนวิธีไฟฟ้าโนต์เอลิเมนต์ จะเริ่มต้นจากการพิจารณาแต่ละเอลิเมนต์ แล้วทำการสร้างสมการสำหรับแต่ละเอลิเมนต์ แสดงตัวอย่างของรูปร่าง เมชและเอลิเมนต์ โดยสมการที่สร้างขึ้นนี้จำเป็นต้องสอดคล้องกับสมการเชิงอนุพันธ์ของปัญหาที่พิจารณาอยู่นั้น จะนั้นจึงนำสมการของแต่ละเอลิเมนต์ที่สร้างขึ้นมาได้นี้ประกอบกันเข้ากันให้เกิดระบบสมการชุดใหญ่ ซึ่งความหมายทางภาษาพ้องการทำเช่นนี้ ก็คือถ้าหากการนำเอาทุกๆ เอลิเมนต์ มารวมกันเข้ากันให้เกิดเป็นรูปร่างลักษณะของปัญหาทั้งหมด จากนั้นจึงประยุกต์เงื่อนไขขอบเขตที่กำหนดมาให้ลงในสมการชุดใหญ่นี้ แล้วจึงทำการแก้ระบบสมการทั้งหมด กันให้เกิดผลเฉลยโดยประมาณที่ต้องการตามตำแหน่งต่างๆ ของรูปร่างปัญหา

2.8.1 ขั้นตอนพื้นฐานของระเบียนวิธีไฟฟ้าโนต์เอลิเมนต์ มีดังนี้

2.8.1.1 ขั้นตอนของการเตรียมแบบจำลอง (Preprocessing phase)

1) การสร้างรูปร่างของแบบจำลอง (Geometric construction)

2) การแบ่งโฉมของแบบจำลองออกเป็นเอลิเมนต์ย่อยๆ ต่อ กันโดยแต่เอลิเมนต์จะประกอบไปด้วยโหนด (Discretization)

2.8.1.2 การกำหนด shape function ซึ่งแสดงถึงพฤติกรรมทางกายภาพของอเลี่ยมентаหรือผลลัพธ์ของอเลี่ยมента

1) สร้างสมการสำหรับอเลี่ยมента

2) กำหนดค่าเงื่อนไขเริ่มต้น สภาวะ荷重และสภาวะขอบเขตให้กับ

ปัญหา

3) กำหนดคุณสมบัติของวัสดุ (Material properties)

2.8.1.3 ขั้นตอนการทำคำตوب (Solution phase) การแก้หาคำตوبของสมการซึ่งอยู่ในรูปสมการเชิงเส้นหรือสมการไม่เชิงเส้น ซึ่งคำตوبคือค่าการ กระจัดที่โหนดต่างๆ

2.8.1.4 การวิเคราะห์ผลลัพธ์ (Post processing phase) การวิเคราะห์หาผลลัพธ์ที่เราสนใจเพิ่มเติม เช่น เรารอjoy กะทราบค่าความเดินหลัก เป็นต้น

2.8.2 โปรแกรม FEA ที่ใช้ในการศึกษา (ABAQUS) [3]

งานวิจัยนี้ใช้โปรแกรมสำหรับวิเคราะห์ทาง FEA ชื่อ ABAQUS เป็นเครื่องมือหลักในการวิจัย ดังนั้นจึงควรทำความเข้าใจกับการใช้งานโปรแกรมนี้เสียก่อน โปรแกรม ABAQUS เป็นโปรแกรมคำนวณที่อาศัยหลักการของ FEA ใน การคำนวณและวิเคราะห์ผล เป็นหนึ่งในโปรแกรมด้าน FEA ที่นิยมใช้งานทั้งในส่วนของงานวิจัย และภาคอุตสาหกรรม สามารถวิเคราะห์ปัญหาทางวิศวกรรมได้อย่างหลากหลาย เช่น ปัญหาด้านการชน การสั่นสะเทือน ความร้อน ของไอล และการเดินทางแบบต่างๆ เป็นต้น โปรแกรมนี้ประกอบไปด้วยส่วนหลักของโปรแกรมที่สำคัญดังนี้

2.8.2.1 ส่วนของการสร้างแบบจำลอง

ในส่วนนี้เป็นการสร้างแบบจำลองขึ้นเพื่อเตรียมการทำทดสอบ โดยสามารถทำได้ 2 แบบ คือ แบบแรกโดยการใช้ ABAQUS/CAE ซึ่งมีลักษณะที่คล้ายกับการเขียนรูปในโปรแกรมเขียนแบบหรืออาจจะเขียนจากโปรแกรมที่เกี่ยวกับทางด้านการเขียนแบบ (CAD) เช่น Solid Work ที่ได้แล้วจึงนำมาใช้ในโปรแกรม ABAQUS/CAE แบบที่สองเขียนโดยการใช้คำสั่งในภาษาของโปรแกรม ABAQUS โดยจะเขียนในลักษณะเป็น Text File Format หรือเรียกว่า Input File ซึ่งไฟล์ที่ได้จะมีนามสกุลเป็น *.inp ตัวอย่างหน้าจอของ ABAQUS/CAE แสดงดังรูป (2.13)

ในส่วนนี้นอกจากจะต้องสร้างภาพของโครงสร้างให้มีขนาดและลักษณะเหมือนจริงแล้ว ยังต้องทำการใส่เงื่อนไขอื่นๆ ที่เกี่ยวข้อง เช่น คุณสมบัติของวัสดุ เงื่อนไขขอบเขต ลักษณะของการกระทำ เงื่อนไขของผู้สนับสนุน ชนิดของอเลี่ยมента จำนวนของอเลี่ยมента ชนิดของการวิเคราะห์ ข้อมูลที่ต้องการเก็บ เป็นต้น ซึ่งเงื่อนไขทั้งหมดที่ใช้ในโปรแกรมจะมีผลต่อการคำนวณและผลที่ได้จากการคำนวณ ดังนั้นคุณจะต้องใส่ให้ทำการทดสอบเพื่อหาคุณสมบัติต่างๆ ที่จำเป็น และทำการสอนเท่านั้น

โปรแกรมกับผลการทดลองเพื่อให้มั่นใจว่าผลการคำนวณด้วยแบบจำลองทางคอมพิวเตอร์สามารถใช้งานได้จริง



ภาพที่ 2.13 แสดงลักษณะหน้าจอของโปรแกรม ABAQUS/CAE

2.8.2.2 ส่วนของการคำนวณผล

ส่วนนี้คือขั้นตอนการประมวลผล โดยโปรแกรมจะนำข้อมูลและเงื่อนไขที่สร้างไว้ในแบบจำลองมาทำการคำนวณและประมวลผลตามวิธีการที่ได้เขียนไว้ในโปรแกรมส่วนแรก ในส่วนนี้สามารถทำได้สองวิธี ก็อวิธีแรกโดยใช้ ABAQUS/CAE วิธีที่สองโดยการใช้ ABAQUS/Command ซึ่งโปรแกรมจะทำการคำนวณค่าตามที่ได้กำหนดเงื่อนไขและขอบเขตของคัวแปรต่างๆ

2.8.2.3 ส่วนของการแสดงผลของโปรแกรม

ส่วนของการแสดงผลคือส่วนที่โปรแกรมแสดงผลการคำนวณที่ได้ออกมา โดยอาจแสดงผลในรูปแบบของภาพชิ้นงานในลักษณะต่างๆ การกระจายตัวของตัวแปรที่ต้องการ หรือกราฟ เป็นต้น ในโปรแกรมนี้ส่วนที่ใช้แสดงผล ก็อ ABAQUS/Viewer โดยจะนำข้อมูลหรือผลที่ได้จากการประมวลผลในส่วน 2 เรียกว่าไฟล์ ODB มาเปิดแสดงผล เพื่อทำการบันทึกค่าตัวแปรต่างๆ รวมถึงข้อมูลที่โปรแกรมทำบันทึกไว้ขณะทำการทดสอบ จากนั้นจะนำข้อมูลไปใช้ในการคำนวณหาค่าพลังงานคุณซับต่อไป

2.9 งานวิจัยที่เกี่ยวข้อง

โครงสร้างส่วนหน้าของรถยนต์ มีความสำคัญในการป้องกันความเสียหายของโครงสร้างภายในได้การชน และมีความสำคัญอย่างยิ่งต่อความปลอดภัยของผู้โดยสาร ความสามารถในการดูดซับพลังงานของวัสดุประกอบมีความสำคัญในการพัฒนา พลังงานที่ดูดซับซึ่งขึ้นอยู่กับด้วยคือ ชนิดของเส้นใย เมทริกซ์ การเรียงทับช้อนของมุน ไขว้เส้นใย รูปทรง และความเร็วในการทดสอบ โดยทั่วไปโลหะเช่นอะลูมิเนียม มีลักษณะการเสียหาย แบบพับ และ แบบงอ ซึ่งพลังงานที่กระ加以จะถูกรวมทั้งหมดมาจุดเดียวในแนวเดียว เมื่อเปรียบเทียบกับ วัสดุประกอบซึ่งมี ลักษณะการเสียหาย แบบแตกเปรี้ยวเป็นชิ้นเล็ก ตลอดแนวแกนท่อในลักษณะคงที่ จึงส่งผลให้เกิดการกระ加以ตัวของแรง ได้มากกว่า นอกจากนี้ น่องจากวัสดุประกอบมีน้ำหนักเบา มีความแข็งแรง และ มี ความคงทน วัสดุประกอบจึงเป็นอีกทางเลือกเพื่อทดแทนวัสดุเดิม จึงมีงานวิจัยที่ศึกษาผลของลักษณะการเสริมแรง รูปทรง มุน ไขว้ของเส้นใย อัตราการกด ที่นำไปสู่ความสามารถของการดูดซับ พลังงานของท่อวัสดุประกอบ เช่น การศึกษาทดลองพฤติกรรมการเสียหายของโครงสร้างรถยนต์ ภายใต้แรงกระทำแบบคงที่และไม่คงที่ โครงสร้างหน้าตัด รูปทรงนาฬิกาทราย รูปทรงกระบอก รูปทรงกรวย [6-10] และรูปทรงสี่เหลี่ยม โดยขึ้นรูปจาก Fiber/vinyl ester ได้ศึกษา วิธีการเสียหายจากการสั่นสะเทือน และใช้เครื่องขยายสเกล เพื่อหาคุณลักษณะการดูดซับพลังงาน เปรียบเทียบระหว่าง การทดลองกับทฤษฎี [11-14] การศึกษาคุณลักษณะการยุบตัวของท่อวัสดุประกอบ ได้พิจารณา ศึกษา ผลกระทบของโครงสร้างที่อัตราส่วนความหนาต่อเส้นผ่านศูนย์กลาง การเสริมแรงด้วยเส้นใย และ รูปแบบการเสียหายทางกลของวัสดุประกอบ [15] การศึกษาผลของกระบวนการขึ้นรูปด้วยระบบสูญญากาศและไม่ใช้สูญญากาศ ใน การดูดซับพลังงานของ glass/polyester พบว่าชิ้นงานรูปทรงกระบอก ขึ้นรูปด้วยสูญญากาศ มีค่าดูดซับพลังงานจำเพาะสูงขึ้นสองเท่า การศึกษาอิทธิพลของการดูดซับพลังงาน ของพื้นที่หน้าตัดภายใต้แรงกระทำในแนวแกน ได้พิจารณาศึกษาอิทธิพลของไข้แก้วเสริมแรง และพบว่าหน้าตัดทรงกระบอกดูดซับพลังงานได้มากกว่าหน้าตัดสี่เหลี่ยม [16]

C. Milan et al. (1999) [17] ได้ทำการศึกษาการกดของข้อต่อที่เหมาะสมระหว่าง ท่อวัสดุประกอบและท่ออะลูมิเนียม โดย การทดลองและแบบจำลอง ข้อต่อนี้ถูกเชื่อมต่อท่อสายจุด จากโครงสร้างของแม่แรงหรือบีบจับ การคำนวณได้มีการวิเคราะห์แบบจำลอง ท่อได้ทำการทดสอบโดยแรงกระระหว่างแผ่นกระดาษสองแผ่น กดลงบนกระทั้งชิ้นงานเกิดความเสียหาย ความยาวของชิ้นงานที่ทำการทดสอบคือ 40 mm. การทดสอบชิ้นงานโดยใช้เครื่องที่มีชื่อว่า Instron Universal Testing Machine ซึ่งมีแรงกระทำได้สูงสุดที่ 100 KN ภายใต้อัตราการยุบ คือ 0.1 m/s การหาค่าตอบจากแบบจำลองโดยทำการออกแบบข้อต่อ แบบจำลองได้รวมถึงชนิดของอลิเมนต์ ขนาดของเมท

ตลอดจนค่าอิสระติก และค่าคุณสมบัติความแข็งของวัสดุ เป็นด้าน จากผลการทดลอง พนว่าภาพกราฟการะ-ระยะยุบตัว เป็นผลการทดลองและแบบจำลองไฟไนต์เอลิเมนต์ พนว่าค่าความคลาดเคลื่อนของแรงที่กระทำจากแบบจำลองคือ 8% และค่าระยะยุบตัวที่คลาดเคลื่อนคือ 12%

Paolo Feraboli et al. (2009) [18] ได้ทำการศึกษาการคุณชับพลังงานจากการชนจากห่อวัสดุประกอบ รูปร่างของชิ้นงานที่ใช้ศึกษาเป็นห่อสีเหลี่ยมผนังบาง โดยพิจารณาจากชิ้นงานที่รูปร่างแตกต่างตามพื้นที่หน้าตัดทั้ง 5 แบบ โดยความคุณ ความหนา อัตราส่วนผสม ,กระบวนการขึ้นรูป และวิธีการทดสอบให้เหมือนกัน ซึ่งชิ้นงานที่ใช้ศึกษามีส่วนผสมเป็น T700 / 2510 (carbon fiber / epoxy prepreg) ไฟเบอร์เป็นชนิดแผ่นหอ 12 ktow ขึ้นรูปโดยการ vacuum bag และการจัดเรียงชั้นไฟเบอร์ เป็น $[0/90]_4$, ความหนาชิ้นงานเท่ากับ 1.65 mm และทดสอบโดยใช้ ความเร็วในการทดสอบ 50.8 mm / min กระทำกับชิ้นงานจนเสียหาย ผลการศึกษาพบว่า สำหรับอัตราส่วนผสม และ Lay-up ที่ศึกษามีปีอร์เซ็นต์การคุณชับพลังงานที่บริเวณมุมของชิ้นงานสูง ขณะที่บริเวณส่วนที่เป็นพื้นที่เรียบ พนว่ามีปีอร์เซ็นต์การคุณชับพลังงานต่ำ

S. Solaimurugan et al. (2007) [19] ได้ทำการศึกษาความสามารถในการคุณชับพลังงานจากการชนของห่อทรงกระบอกวัสดุประกอบโดยห่อวัสดุประกอบมีจำนวนชั้นของไฟเบอร์ เป็น 4 และ 6 ชั้น ซึ่งเปลี่ยนแปลงการจัดเรียงชั้นของไฟเบอร์ที่แตกต่างกันไป ชิ้นงานที่ใช้ทดลองทำจาก เส้นใยแก้วชนิด Woven roving (WRM) ความหนาแน่น 610 g/m^2 และ เส้นใยแก้วทิศทางเดียว (UD) ความหนาแน่น 750 g/m^2 ส่วนเรื่องใช้ คือเรซิ่น ไอโซพาลิก เป็นส่วนประกอบในการขึ้นรูป ชิ้นงาน และใช้ทดสอบหาค่าคุณสมบัติของวัสดุประกอบที่ใช้ทดลองโดยการขึ้นรูปชิ้นงานที่ใช้ทดลองจะขึ้นรูปด้วยมือ สลับชั้นกันระหว่าง $[\text{WRM}/(\text{UD})_m/\text{WRM}]$ ตามที่กำหนดไว้คือ 4 และ 6 ชั้น ขนาดอัตราส่วนระหว่างเส้นผ่าศูนย์กลางภายในกับความหนา (D/t) ประมาณ 15 และ 25 ตามลำดับ ที่ปลายห่ออบบนทำมูน 30 ความเร็วคือ 2 mm/min ผลการศึกษาพบว่า จำนวนชั้นที่เพิ่มขึ้นของวัสดุประกอบ มีผลทำให้แนวโน้มการคุณชับพลังงานสูงขึ้น

พิพัฒน์ ไฟศาตภานุมาศ (2550) [20] การศึกษาหาความสัมพันธ์ระหว่างรูปแบบการผลิตกับค่าความด้านทานแรงกระแทกของถังไฟเบอร์กลาส โดยทำการออกแบบและผลิตถังไฟเบอร์กลาส ขนาด 750 ลิตร จำนวน 6 แบบ ที่ผลิตจากไขแมทร่วมกับไข้แก้วชนิดเส้น จากนั้นนำถังที่ผลิตได้มาเตรียมเป็นชิ้นทดสอบ 2 แบบ โดยแยกตามแนวการตัด คือ ตัดตามแนวการพันเส้นใย และตัดขวางแนวการพันเส้นใย แล้วนำไปทำการทดสอบ ตามมาตรฐาน ASTM D256 06 ผลการทดสอบพบว่า การเพิ่มจำนวนชั้นของไขแมทในการผลิตถังไฟเบอร์กลาสนั้นทำให้ค่าความด้านทานแรงกระแทกเพิ่มขึ้น คือในรูปแบบที่ผลิตด้วยไขแมท 1, 2 และ 3 ชั้นแล้วพันด้วยไข้เส้นแบบเรียงชิด 1 ชั้น ที่ตัดตามแนวการพันเส้นใย มีค่าความด้านทานแรงกระแทก เพิ่มขึ้นเป็น 79.86% และ 4.05%

ตามลำดับ และค่าที่ได้จากชั้นทดสอบที่ตัดขวางแนวการพัน มีค่าความต้านทานแรงกระแทกเพิ่มขึ้น เป็น 66.55 % และ 44.35% ตามลำดับ ส่วนในรูปแบบที่ผลิตด้วยไขเมท 1, 2 และ 3 ชั้น แล้วพันด้วย ไขเส้นแบบเรียงไขว้ 1 ชั้น ชั้นทดสอบที่ตัดตามแนวการพันเส้นไข มีค่าความต้านทานแรงกระแทก เพิ่มขึ้นเป็น 4.91% และ 6.74% ตามลำดับ และค่าที่ได้จากชั้นทดสอบที่ตัดขวางแนวการพัน มีค่า ความต้านทานแรงกระแทกเพิ่มขึ้นเป็น 104.14% และ 6.58% ตามลำดับ รูปแบบการพัน แต่ละ รูปแบบให้ค่าความต้านทานแรงกระแทกดีแตกต่างกันไป คือ ในแนวที่ตัดตามการพันเส้นในนั้น การพันแบบเรียงไขว้ให้ค่าความต้านทานแรงกระแทกดีกว่าการพันแบบเรียงชิด ส่วนในแนวที่ตัดขวาง การพันเส้นไข การพันแบบเรียงชิดให้ค่าความต้านทานแรงกระแทกดีกว่าการพันแบบเรียงไขว้

Jaehong Lee et al. (2007) [21] ได้ทำการศึกษาคุณลักษณะของสะพานพลาสติกเสริม ไขแก้ว เพื่อศึกษาการทดลองของสะพานพลาสติกเสริมไขแก้วภายใต้แรงกระทำแบบคงที่และ เปรียบเทียบแบบจำลองไฟไนต์เอลิเมนต์จากโปรแกรม ABAQUS โดยให้มีการออกแบบโดยมีแบบ การไขว้สองแบบคือ DBT [45/90/-45] และ LT [0/90] ส่วนประกอบของวัสดุที่ใช้ในพลาสติกเสริม ไขแก้วภายในประกอบด้วย เส้นไขและโพลิเอสเทอร์เรซิ่น น้ำหนักของไขแก้วและน้ำหนักของโพลี เอสเทอร์เรซิ่นคือ 60 เปอร์เซ็นต์ และ 40 เปอร์เซ็นต์ ตามลำดับ สำหรับการคำนวณเชิงตัวเลขของ แบบจำลองสะพานโดยใช้โปรแกรม ABAQUS ชนิดของการวิเคราะห์คือ แผ่นเปลือก 8 โนนด และ ใช้องค์ความรู้ที่ 6 ต่อ 1 โนนด (S8R) สมมุติให้ขึ้นส่วนทั้งหมดติดกัน ผลจากการทดลองพบว่า ตัวอย่างชิ้นงานของ LT มีความแข็งแรงกว่า DBT

สุรศักดิ์ สุวรรณแดง และคณะ (2550) [22] ได้ทำการศึกษาการอ่อนตัวแบบไม่เชิงเส้น ของโครงสร้างงานที่ทำจากวัสดุผสมจากพลาสติกกับไข่ลือยไม้ขางพารา เมื่อรับแรงกระทำแบบจุด โดยใช้โปรแกรม ABAQUS วัสดุผสมประเภทนี้ได้จากการผสมพลาสติกกับไข่ลือยไม้ขางพารา ผสม กันกับพลาสติกตัวอย่างที่ทดสอบ 3 ชนิด คือ พีวีซี พีอี และ พีพี ความสัมพันธ์ระหว่างน้ำหนัก บรรทุกและค่าการอ่อนตัว ของงานที่ทำจากวัสดุผสมที่มีสมบัติไม่เชิงเส้นถูกนำมาไปจำลองด้วย โปรแกรม ABAQUS ทั้งในกรณีการรับน้ำหนักบรรทุกในแนวตั้งและแนวนอน และนำผลไป เปรียบเทียบกับการทดสอบจริงในห้องปฏิบัติการ วัสดุไม้แดงซึ่งนิยมใช้ในงานโครงสร้างปัจจุบัน จะถูกนำมาศึกษาและใช้เปรียบเทียบกับวัสดุผสมตัวอย่าง ผลการศึกษาชี้ให้เห็นว่าทั้งวัสดุไม้แดงและ วัสดุผสมทั้ง 3 ประเภท ให้ค่าการอ่อนตัวที่สอดคล้องกันระหว่างแบบจำลองและการทดสอบทั้ง กรณีอ่อนตัวน้อยและอ่อนตัวมาก แสดงให้เห็นว่าโปรแกรม ABAQUS สามารถใช้จำลองการ ทดสอบและวิเคราะห์การเสียรูปของวัสดุผสมซึ่งมีสมบัติไม่เชิงเส้นได้เป็นอย่างดี

M.golzar et al. (2010) [23] ศึกษาการสร้างต้นแบบชั้นส่วนวัสดุประกอบเพื่อประกอบ กับด้านข้างโครงสร้างรถบันต์ โดยศึกษาการสร้างวัสดุประกอบเพื่อประกอบโครงสร้างเพื่อใช้แทนที่

เหล็ก บริเวณด้านข้างของโครงสร้างรถบันต์ ที่ห้อง Samand Sarir แห่งวัสดุประ公示ได้มีการสร้างเรียงทับช้อนกันของเส้นไขดงนี้ [0/90] และ [45/-45] เป็นมุนไขว้ของไข้แก้ว การศึกษานี้ยังใช้ระเบียบวิธีไฟฟ้าในต์เอลิเมนต์ในการสร้างแบบจำลองแผ่นประกอบ โดยใช้โปรแกรมที่มีชื่อว่า ABAQUS ผลจากแบบจำลองแผ่นวัสดุประกอบเส้นไข้แก้วเรียงทับช้อนกันที่ [0/90] สามารถดูคุณภาพลักษณะเดียวกับสำหรับการป้องกันโครงสร้างของชิ้นส่วนวัสดุประกอบ เมื่อเปรียบเทียบกับวัสดุเดิม คือ 1.7 kg และเบากว่าเหล็กเดิมถึง 42%

S.M.R.Khalili et al. (2011) [24] ได้ศึกษาแบบจำลองจากการกระแทกด้วยความเร็วต่ำของแผ่นวัสดุประกอบและทรงกระบอกผนังบาง โดยได้ทำการศึกษาโครงสร้างแผ่นลามิเนตและท่อผนังบางภายใต้การกระแทกด้วยความเร็วต่ำ ในการสร้างแบบจำลองกระแทกด้วยวิธีไฟฟ้าในต์เอลิเมนต์ โดยทำการหาผลเฉลยจาก ABAQUS/Explicit แผ่นระบบและเปลี่ยนใช้ชนิดของเมซคือ SC8R หรือ S4R 8 node จากการศึกษาสามารถสรุปได้ว่า สำหรับแบบแผ่นบางและแบบเปลี่ยนบาง S4R element มีความเหมาะสมและถูกต้องแม่นยำ แม้ว่าในกรณีที่ใช้ SC8R element ซึ่งสามารถใช้ได้และมีความถูกต้องมากกว่า ซึ่งจะทำให้เวลาในการคำนวณของ CPU มากกว่า สอดคล้องกับผลของแบบจำลอง สำหรับแบบแผ่นหนาและแบบเปลี่ยนหนาควรใช้ชนิด SC4R element

Chien-Hua Huang et al. (2003) [25] ได้ทำการศึกษาทดสอบแบบจำลองของการกดแบบคงที่ของแผ่นวัสดุผสม โดยการทดสอบค่าของแผ่นโดยการบอนเสริมแรง โดยการทำแบบคงที่เพื่อเปรียบเทียบระหว่างผลการทดสอบและผลแบบจำลองโดยใช้โปรแกรม ABAQUS การทดสอบแบบแผ่น โดยการบอนและอีพอกซีเรียงช้อนทับกัน โดยเส้นไขว้บอนคือ Toho ETA 12000 และแผ่นพินหรือเรชั่นคือ ACD 8810 Epoxy ซึ่งทั้งสองเรียงทับช้อนกันที่ [90/0] และ [45/-45] ตามลำดับ โดยทั้งสองจะไขว้ทั้งหมด 16 ชั้น เรียกว่า Cross-Ply และ Angle-Ply ตามลำดับ โดยในการขึ้นรูปแบบสุญญาการ อาศัยจะถูกดูดออกโดยใช้ปืนดูดออก ที่ความดัน 5 atm และอุณหภูมิ 81.5 องศาเซลเซียส และอุณหภูมิ 131.1 องศาเซลเซียส ที่ 90 m โดยจะมีแผ่นความกว้างคือ 16 cm ยาว 7 cm มีความหนา 0.228 cm การทดสอบชิ้นงานใช้เครื่องทดสอบของ MTS 180 corporation ซึ่งออกแบบให้ง่ายต่อการรองรับโดยมีขอบแบบอิสระ หัวเหล็กก้มเส้นผ่านศูนย์กลางคือ 7.5 cm แบบจำลองไฟฟ้าในต์เอลิเมนต์โดยใช้โปรแกรม ABAQUS ในการคำนวณ แบบจำลองได้ใช้ C3D20R เอลิเมนต์ 20 โหนด ความละเอียดของเมทเอลิเมนต์จากบนมายังจุดตรงกลาง เอลิเมนต์ที่มีอยู่ทั้งหมดคือ 1,664 เอลิเมนต์ และความหนาเมื่อ 4 เอลิเมนต์ ชั้นของทั้ง 4 วัสดุถูกวางช้อนกันในหนึ่งเอลิเมนต์ ซึ่งทั้งหมดคือ 16 เอลิเมนต์ ในการศึกษานี้ได้แนะนำในการคัดแปลงเฟลเตอร์ในค่าความแข็ง ลักษณะการเสียหายของแผ่นภายใต้แรงกระทำ การเปลี่ยน Stress-based Criteria ไปยัง Strain-based Criteria

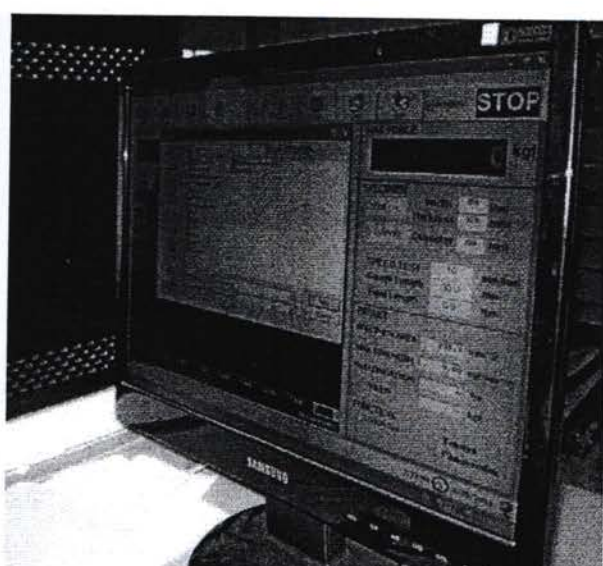
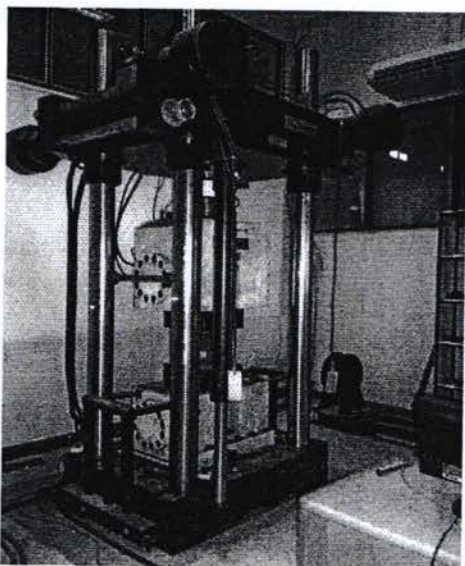
บทที่ 3

วิธีการศึกษาและการทดสอบ

3.1 เครื่องมือที่ใช้ในการศึกษา

3.1.1 เครื่องทดสอบการกด (Quasi -Static Compressive and Tensile Testing Machine)

เครื่องทดสอบการกดแบบกระทำแบบต่อเนื่อง ซึ่งใช้ในการวิจัยมีข้อว่า เครื่อง ESH Testing Limited เป็นเครื่องที่สามารถทดสอบการกด (Compressive Test) และ การดึง (Tensile Test) ดังภาพที่ 3.1 ซึ่งเป็นเครื่องทดสอบที่ใช้ระบบคอมพิวเตอร์กับระบบไฮดรอลิกส์ (Hydraulic) ในการทดสอบมีความสามารถถึง 2,000 KN และระบบการกดมากที่สุดคือ 200 mm เครื่องทดสอบสามารถบันทึกข้อมูลการทำงานได้ทุกๆ 0.04 mm ผลที่ได้จากการทดสอบเป็นกราฟความสัมพันธ์ระหว่างแรงที่กระทำ (Load) และระยะทางในการยุบตัว (Displacement) โดยสามารถบันทึกผลการทดลอง และแสดงเป็นกราฟได้ทันที



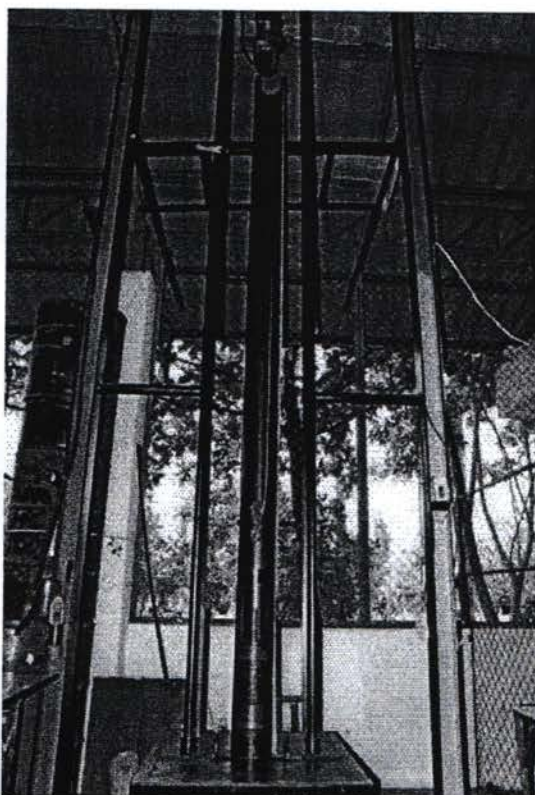
(ก) เครื่องทดสอบ

(ข) จอแสดงผล

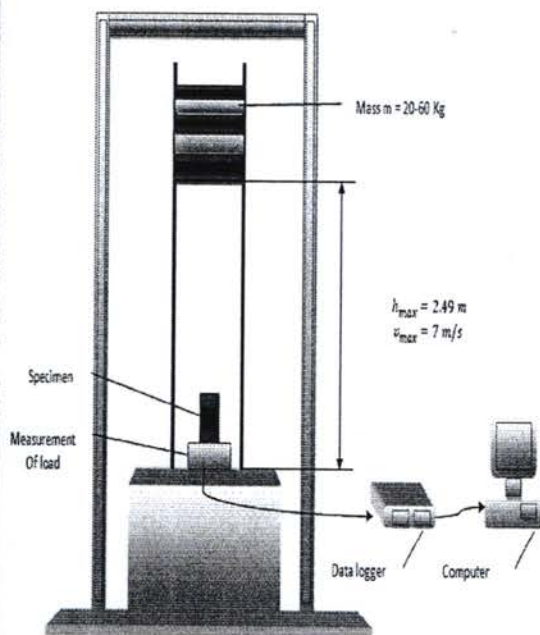
ภาพที่ 3.1 เครื่องทดสอบการกด (Quasi -Static Compressive and Tensile Testing Machine)

3.1.2 เครื่องทดสอบการกระแทก (Impact Testing Machine)

เครื่องทดสอบการกระแทกที่ใช้ในการศึกษานี้มีลักษณะเป็นหอสูง ดังแสดงในภาพที่ 3.2 (ก) โดยหอสูงนี้มีความสูง 2.49 m มีอุปกรณ์ติดตั้งหัวค้อนซึ่งสามารถยกขึ้นไปในระดับความสูงต่างๆ ก่อนปล่อยให้ตกอย่างอิสระ (Free falling) เพื่อตอกกระแทบที่ชิ้นงานด้านล่างที่ฐานด้านล่างของเครื่องดังภาพที่ 3.2 (ข) ได้ติดตั้ง Load Cell เพื่อบันทึกค่าแรงปฏิกิริยาที่เกิดขึ้นระหว่างการกระแทกของชิ้นงานและหัวค้อน โดย Load Cell ดังกล่าวสามารถบันทึกข้อมูลได้ที่ความถี่สูงสุดถึง 10,000 ค่าต่อวินาที หัวค้อนที่ใช้ในการทดสอบสามารถเปลี่ยนน้ำหนักได้ระหว่าง 20-60 Kg



(ก) เครื่องทดสอบ



(ข) ไดอะแกรมของเครื่องทดสอบ

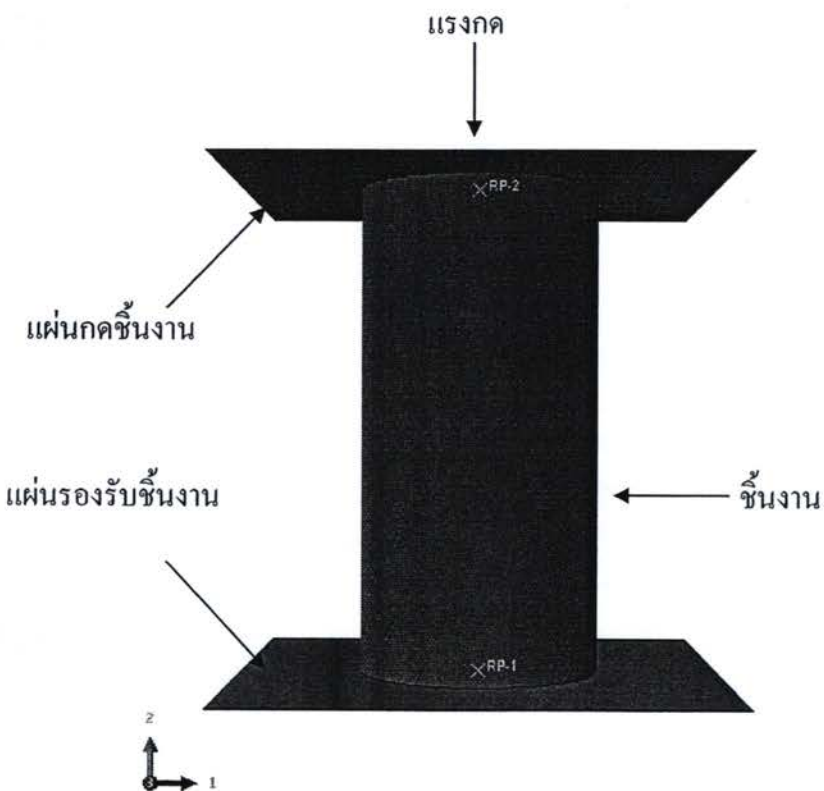
ภาพที่ 3.2 เครื่องทดสอบการกระแทก (Impact Testing Machine)

3.2 รายละเอียดแบบจำลอง FEA

ในวิธีการคำนวณโดยใช้วิธีระเบียบวิธีไฟไนต์เอลิเมนต์จากโปรแกรมที่มีชื่อว่า ABAQUS/Explicit ซึ่งมีขั้นตอนการคำนวณดังนี้

3.2.1 การสร้างแบบจำลองทดสอบ

แบบจำลองที่สร้างขึ้นประกอบด้วย 3 ส่วน คือ ส่วนของชิ้นงานซึ่งเป็นห่อไฟเบอร์กลาสวางทับช้อนกันที่มุมต่างๆ แผ่นกดด้านบนซึ่งกำหนดให้เป็นวัตถุแข็งเกร็งทำหน้าที่จำลองการกดชิ้นงานและแผ่นรองรับชิ้นงาน ทำหน้าที่รองรับชิ้นงาน ในการสร้างแบบจำลองของชิ้นงาน กำหนดให้ชิ้นงานมีลักษณะการเรียงทับช้อนของมุมไว้ว่า จำนวน 6 ชั้น ในแต่ละชั้นมีความหนา คือ 0.33 mm ความหนาของห่อไฟเบอร์ ก็คือ 2 mm เส้นผ่านศูนย์กลางภายนอกก็คือ 50 mm และความยาว ก็คือ 100 mm ในส่วนของแบบจำลองโครงสร้างคือ Shell ชนิด Revolution Type Deformable ในส่วนของแผ่นวัตถุแข็งเกร็งโครงสร้างเป็นแบบ Shell Element ชนิด Planar Discrete Rigid ขนาดของแผ่นวัตถุแข็งเกร็ง ก็คือ กว้าง ก็คือ 50 mm และยาว ก็คือ 50 mm ดังภาพที่ 3.3 แสดงถึงโครงสร้างของชิ้นงานและแผ่นวัตถุแข็งเกร็ง ซึ่งวัตถุแข็งเกร็งไม่มีความเดียหายเกิดขึ้น



ภาพที่ 3.3 แบบจำลองโครงสร้างของชิ้นงานและแผ่นวัตถุแข็งเกร็ง

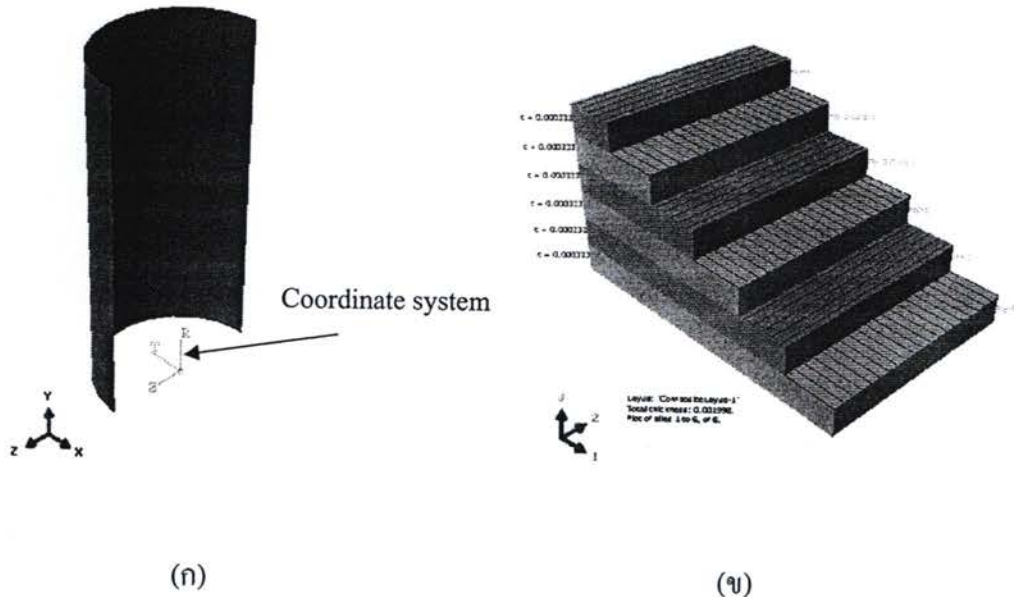
3.2.2 การกำหนดคุณสมบัติของท่อชิ้นงาน

ในการกำหนดคุณสมบัติของวัสดุชิ้นงาน ซึ่งในงานวิจัยนี้เป็นวัสดุประกอบที่มีคุณสมบัติไม่เท่ากัน โดยคุณสมบัติทางกลของวัสดุประกอบที่ใช้ในโปรแกรมได้มาจากการทดสอบคุณสมบัติของวัสดุจริง ซึ่งจะกล่าวถึงต่อไปและมีค่าดังต่อไปนี้

ค่าโมดูลัสตามยาว	E_1	คือ 15.83 GPa
ค่าโมดูลัสตามขวาง	E_2, E_3	คือ 5.37 GPa
ค่าโมดูลัสเฉื่อนในระนาบ	G_{12}	คือ 7.34 GPa
ค่าโมดูลัสเฉื่อนนอกระนาบ	G_{23}	คือ 2.41 GPa
ค่าโมดูลัสเฉื่อนในระนาบ	G_{13}	คือ 7.34 GPa
ค่าอัตราปื้วของ	ν_{12}	คือ 0.12
ค่าอัตราปื้วของ	ν_{13}	คือ 0.14
ค่าอัตราปื้วของ	ν_{23}	คือ 0.14
ค่าความหนาแน่น	ρ	คือ 1600 Kg/m^3
ค่าความต้านทานแรงดึงตามแนวเส้นใย	X_t	คือ 358.8 MPa
ค่าความต้านทานแรงกดตามแนวเส้นใย	X_c	คือ 209.93 MPa
ค่าความต้านทานแรงดึงตามขวางเส้นใย	Y_t	คือ 10.46 MPa
ค่าความต้านทานแรงกดตามขวางเส้นใย	Y_c	คือ 65.71 MPa
ค่าความต้านทานแรงเฉือน	S_{12}	คือ 62.20 MPa
ค่าความต้านทานแรงเฉือนนอกระนาบ	S_{23}	คือ 48.28 MPa

3.2.3 การกำหนดแกนและลักษณะการเรียงตัวของเส้นใย

ในการกำหนดแกนของชิ้นงานวัสดุประกอบนั้นจำเป็นที่จะต้องตั้งแกนขึ้นมาใหม่ เนื่องจากแกน x ของแกน global นั้นมีลักษณะการพันตามขวางของเส้นใย จึงต้องปรับตั้งระบบของ การกำหนดแกน เพื่อให้แกน x มีทิศทางไปในทิศทางเดียวกันกับแกนชิ้นงาน ดังภาพที่ 3.4 (ก) แสดงการกำหนดแกน ในส่วนของการเรียงตัวของเส้นใยจะเรียงตัวตามทิศทางดังภาพที่ 3.4 (ข)



ภาพที่ 3.4 (ก) การกำหนดใช้แกน coordinate system (ข) ลักษณะการเรียงตัวของเส้นใย

3.2.4 การกำหนดระยะเวลาในการทดสอบชิ้นงาน

การกำหนดเวลาในการทดสอบชิ้นงาน เป็นการกำหนดระยะเวลาที่ใช้ในการวิเคราะห์ชิ้นงาน โดยเวลาจะมีความสัมพันธ์ระหว่างระยะบุบต่อความเร็ว ในการผิวภาระแบบกึ่งคงที่ใช้เวลา 0.06 min และกรณีภาระแตก ใช้เวลา 0.0085 วินาที

3.2.5 การกำหนดการสัมผัสกันของชิ้นงาน

การกำหนดการสัมผัสกันของชิ้นงานที่ทดสอบ ซึ่งเป็นการกำหนดให้ชิ้นงานที่มีโอกาสสัมผัสกัน ได้แก่ การกำหนด General contact คือเมื่อเกิดการบุบตัวของท่อชิ้นงานที่สัมผัสกันทั้งหมด และการกำหนด Surface –Self - Surface Contact คือเมื่อเกิดการสัมผัสกันระหว่างแผ่นวัสดุแข็งเกร็งกับชิ้นงาน โดยแผ่นก่อค้านบนและแผ่นรองรับค้านล่างมีค่าความเสียดทานเท่ากับ 0.2

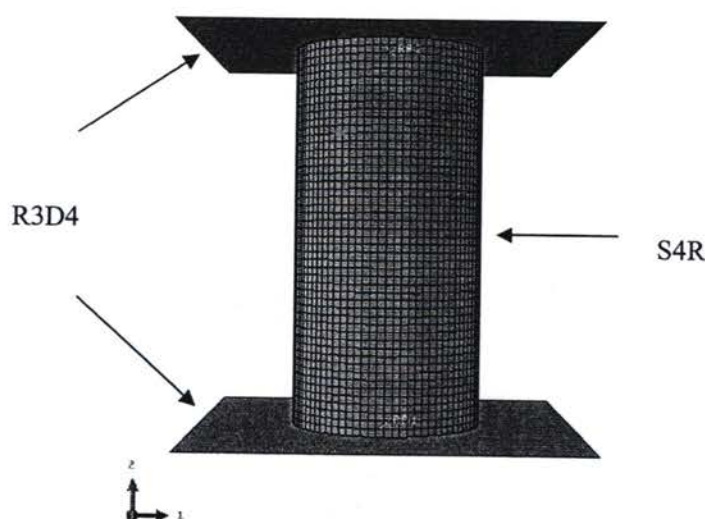
3.2.6 การกำหนดสภาพะเงื่อนไขข้อมูล

สภาพะเงื่อนไขข้อมูลสำหรับการวิเคราะห์ชิ้นงานประกอบด้วย การกำหนดเงื่อนไขข้อมูลของความเร็วที่กระทำต่อแบบจำลอง โดยเลือก Velocity ใน Boundary Condition ซึ่งเหมือนกับการทดสอบจริง ที่ความเร็ว 7 m/s ในกรณีของการภาระแตก และ 10 mm/min ในกรณีของการแบบกึ่งคงที่ ในส่วนการกำหนดข้อมูลของแบบจำลอง โดยเลือก Symmetry/Antisymmetry/Encastre ใน Boundary Condition ยึดค้านล่างของแบบจำลองไม่ให้เคลื่อนที่ในทิศทางต่างๆ และในการ

กำหนดระบบของการเคลื่อนที่ของแผ่นวัตถุแข็งเกริงให้ไปในทิศทางเดียว โดยเลือก Displacement/Rotation ใน Boundary Condition

3.2.7 ชนิดของэлемент

элементของห่อชิ้นงาน คือ ชนิด S4R มี 4 โหนด มีผิวสองด้านซึ่งสามารถคำนวณได้ทั้ง Thin Shell และ Thick Shell ใช้การคำนวณแบบความเครียดจำกัดและ integrate ที่กึ่งกลาง element. ขนาดของเมชคือ 0.003 และэлементแผ่นวัตถุแข็งเกริง คือ ชนิด R3D4 มี 4 Node กำหนดเป็นวัตถุแข็งเกริง



ภาพที่ 3.5 ลักษณะ Element ของ FEA Model ในการศึกษา

3.2.8 การกำหนดชื่อไฟล์ที่สร้างขึ้นเพื่อการทดสอบ

เป็นการสร้างชื่อไฟล์ที่เก็บข้อมูลเกี่ยวกับการทดสอบไว้ ซึ่งเมื่อมีการสร้างชิ้นงาน การทดสอบ ก็จะมีการสร้างไฟล์เก็บไว้ที่ Folder TEMP เพื่อสำรองข้อมูลที่จำเป็นในการวิเคราะห์ เก็บการสร้างชื่อไฟล์ที่เก็บข้อมูลเกี่ยวกับการทดสอบและตรวจสอบสถานะ การคำนวณของโปรแกรม

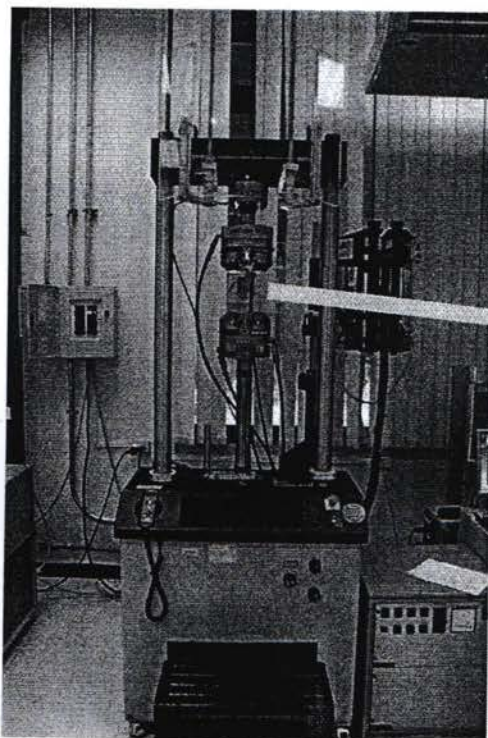
3.2.9 ผลที่ได้จากการวิเคราะห์โปรแกรม ABQUS/Explicit

การแสดงผลออกทางจอแสดงผลจะแสดงได้หลากหลายรูปแบบกว่าการแสดงผลออกมากในรูปชุดข้อมูลแต่ก็ไม่นามาวิเคราะห์หาก้าเพิ่มเติม หรือนำมาคำนวณได้เนื่องจากเป็นการแสดงผลเช่น การแสดงผลออกมากในรูปของ ภาพเคลื่อนไหว (Animation) และกราฟแต่ก็สามารถนำมาประกอบการวิเคราะห์ได้ ในการศึกษานี้ได้นำผลที่ได้ในรูปแบบของกราฟเพื่อประกอบการ

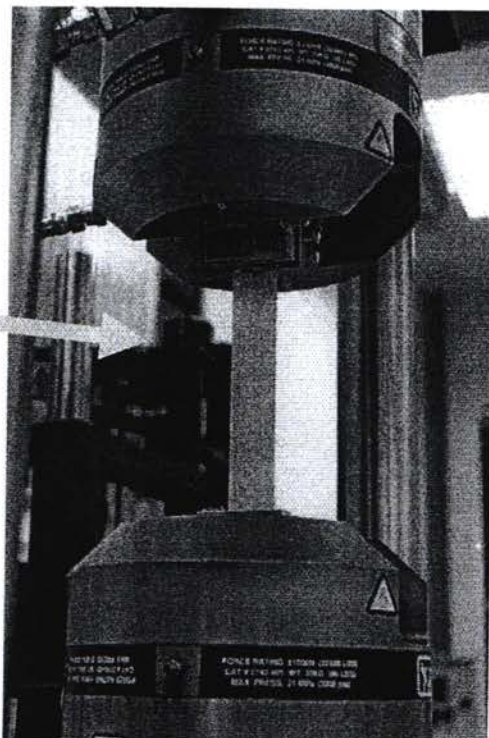
วิเคราะห์รูปแบบการเสียหายและนำข้อมูลในรูปแบบชุดของตัวเลขเพื่อนำมาเขียนเป็นกราฟและคำนวณต่อไป

3.3 การทดสอบคุณสมบัติเชิงกลของวัสดุ

เครื่องทดสอบที่ใช้ในการวิจัย มีชื่อว่า Universal Testing Machine Dynamic Type รุ่น Instron 8801 ความสามารถในการทดสอบ 100 kN ดังแสดงในภาพที่ 3.6 จากห้องปฏิบัติการทดสอบทางกล ศูนย์เทคโนโลยีโลหะและวัสดุแห่งชาติ (MTEC) ซึ่งหลักการทำงานของเครื่อง โดยใช้แรงดันน้ำมันในการขับเคลื่อนกಡหัวทดสอบให้เคลื่อนที่เพื่อให้เกิดแรงกระทำบนชิ้นงานภายใต้ระบบคอมพิวเตอร์ควบคุม แรงที่เกิดขึ้นจะถูกวัดโดยโหลดเซลล์ ส่วนการเปลี่ยนแปลงรูปร่างของชิ้นงานทดสอบจะถูกวัดโดยระบบการเคลื่อนที่ของ actuator หรือ extensometer ผลที่ได้จากการทดลองสรุปดังตารางที่ 3.1



(ก)

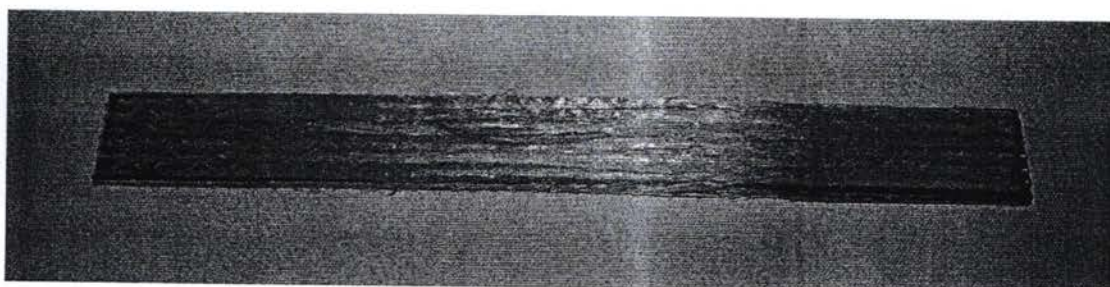


(ข)

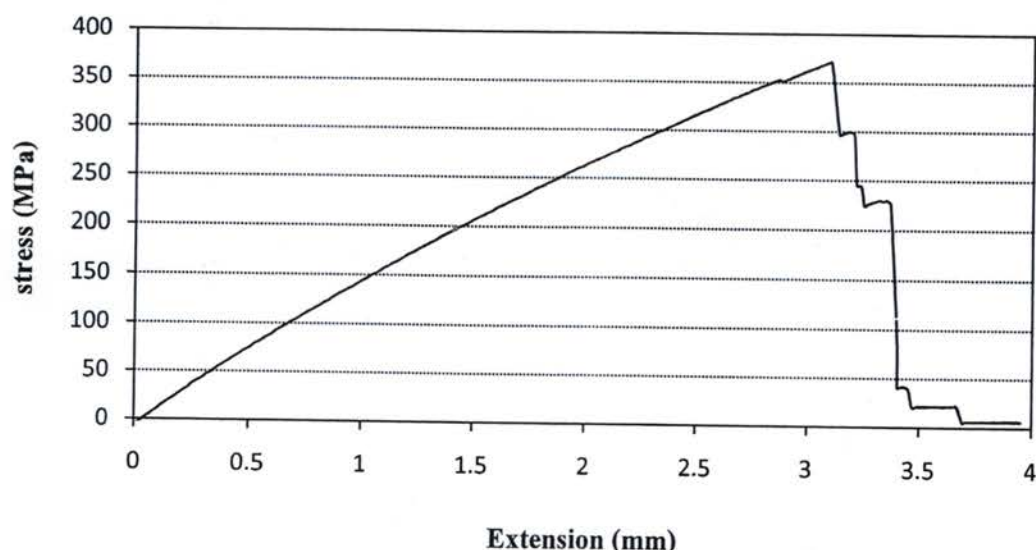
ภาพที่ 3.6 (ก) เครื่องทดสอบแรงดึง (ข) การขับยืดชิ้นงาน

3.3.1 การทดสอบการด้านทานแรงดึงการเรียงตัวของเส้นใยในทิศทางต่างกันของชิ้นงาน A

การทดสอบตามมาตรฐาน ASTM D 3039 โดยมีการเรียงตัวของเส้นใยแบบหอยทิศทางคือ [0/90]/[0/90]/[0/90] ดังภาพที่ 3.7 ขนาดของชิ้นงาน ความหนาคือ 2.00 mm ความกว้างคือ 25.00 mm ความยาวคือ 250.00 mm ความเร็วที่ใช้ในการทดสอบคือ 10 mm/min จากกราฟดังภาพที่ 3.8 พบว่ามีแนวโน้มลักษณะสูงขึ้น ซึ่งเกิดจากการด้านทานแรง หลังจากนั้นกราฟตกลงอย่างรวดเร็วซึ่งเกิดจากชิ้นงานเกิดการเสียหาย จากการทดลองพบว่า ค่าความเค้นสูงสุดคือ 370.68 MPa และค่าความต้านทานแรงสูงสุดคือ 18.00 kN



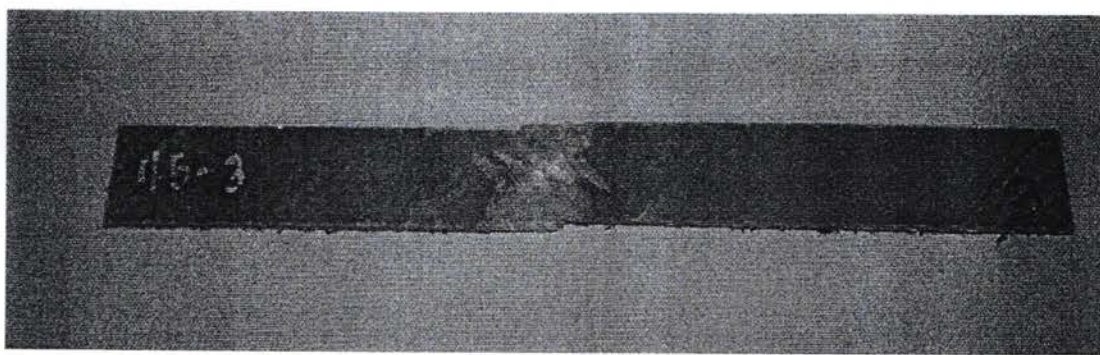
ภาพที่ 3.7 ชิ้นงาน A ที่มีการเรียงตัวของเส้นใยคือ [0/90]/[0/90]/[0/90] สำหรับการทดลองแรงดึง



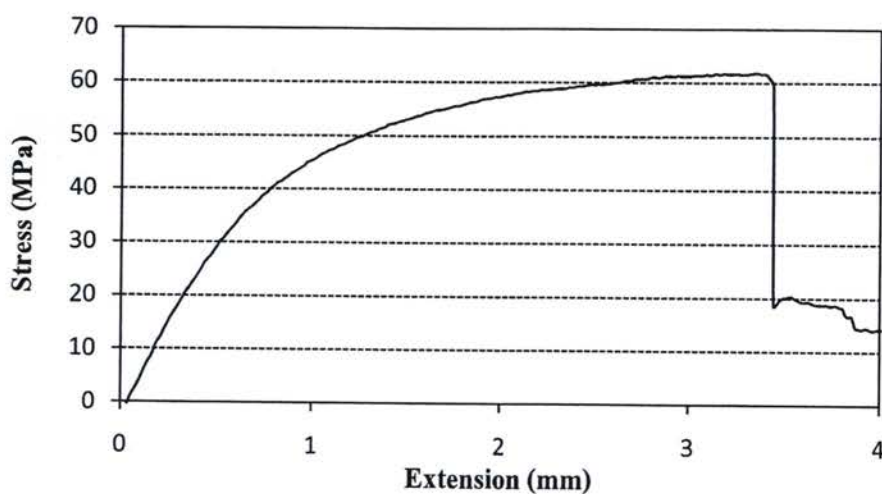
ภาพที่ 3.8 กราฟความสัมพันธ์ระหว่างความเค้นกับระยะการยืดตัวภายใต้แรงดึงของชิ้นงาน A

3.3.2 การทดสอบการต้านทานแรงดึงการเรียงตัวของเส้นใยในทิศทางต่างกันของชิ้นงาน B

การทดสอบนี้เป็นการทดสอบแรงเฉือนในระนาบตามมาตรฐาน ASTM D 3518 และทดสอบตามมาตรฐาน ASTM D 3039 จากการทดสอบด้วยการดึงชิ้นงาน ที่มีรูปของเส้นใย [(45/-45)/(45/-45)/(45/-45)] องศา ความหนาคือ 2.00 mm ความกว้างคือ 25.00 mm ความยาวคือ 250.00 mm ดังภาพที่ 3.9 ความเร็วที่ใช้ในการทดสอบคือ 10 mm/min ผลการทดสอบแสดงในดังภาพที่ 3.10 แสดงความสัมพันธ์ระหว่าง ความเก็บกันระหว่างการยึดตัวของชิ้นงาน จากการทดลองพบว่า ค่าความเก็บสูงสุดคือ 62.86 MPa ค่าความต้านทานแรงสูงสุดคือ 2.90 kN



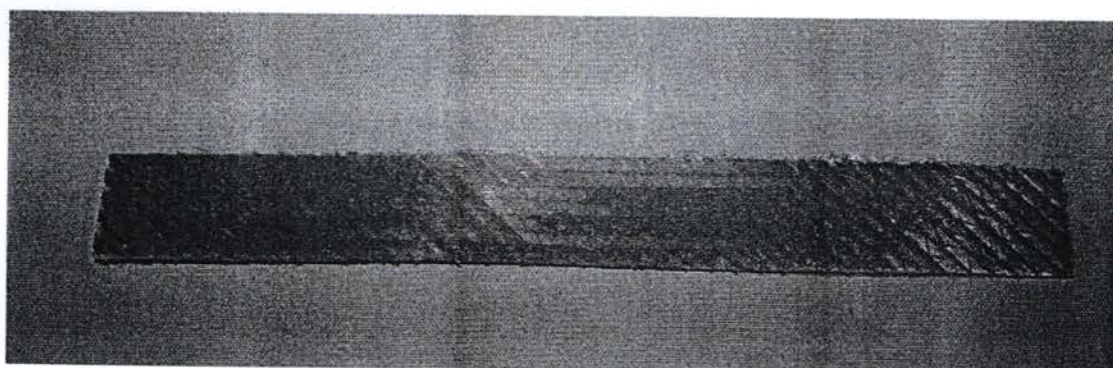
ภาพที่ 3.9 ชิ้นงาน B ที่มีการเรียงตัวของเส้นใยคือ [(45/-45)/(45/-45)/(45/-45)] สำหรับการทดลองแรงดึง



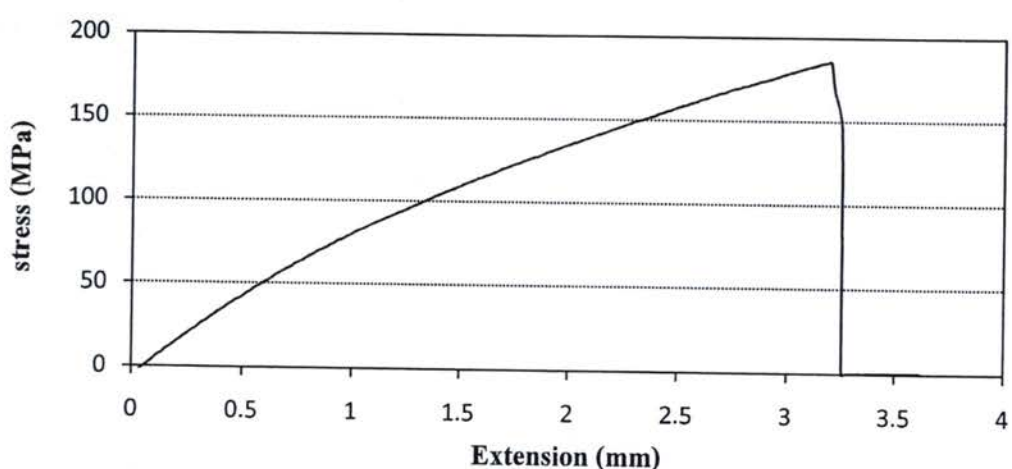
ภาพที่ 3.10 กราฟความสัมพันธ์ระหว่างความเก็บกันระหว่างการยึดตัวภายใต้แรงดึงของชิ้นงาน B

3.3.3 การทดสอบการต้านทานแรงดึงการเรียงตัวของเส้นใยในทิศทางต่างกันของชิ้นงาน C

สำหรับการเตรียมชิ้นงานการทดสอบแรงดึงเป็นการทดสอบตามมาตรฐาน ASTM D 3039 โดยมีการเรียงตัวของเส้นใยแบบหกเหลี่ยมทิศทางคือ [45/-45]/ [0/90]/ [45/-45] ดังภาพที่ 3.11 ขนาดของชิ้นงานคือ ความหนาคือ 2.00 mm ความกว้างคือ 25.00 mm ความยาวคือ 250.00 mm ความเร็วที่ใช้ในการทดสอบคือ 10 mm/min ผลที่ได้จากการทดสอบแสดงความสัมพันธ์กันระหว่างความเก็บกันระยะการยืดตัวของชิ้นงาน ภาพที่ 3.12 จากราฟพบว่ากราฟมีแนวโน้มลักษณะสูงขึ้นซึ่งเกิดจากการต้านทานแรง หลังจากนั้นกราฟตกลงอย่างรวดเร็วซึ่งเกิดจากชิ้นงานเกิดการเสียหายจากการทดสอบพบว่า ค่าความเก็บสูงสุดคือ 185.43 MPa และค่าความต้านทานแรงสูงสุดคือ 10.10 kN



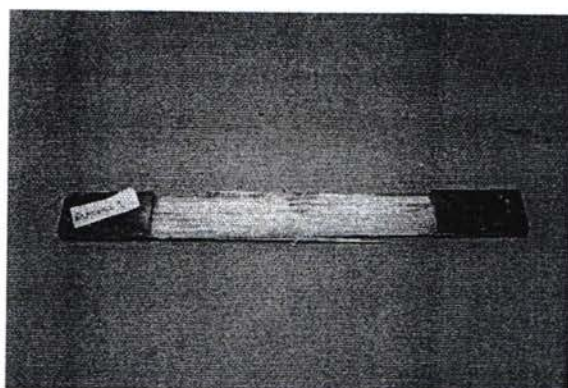
ภาพที่ 3.11 ชิ้นงาน C ที่มีการเรียงตัวของเส้นใยคือ [45/-45]/ [0/90]/ [45/-45] สำหรับการทดสอบแรงดึง



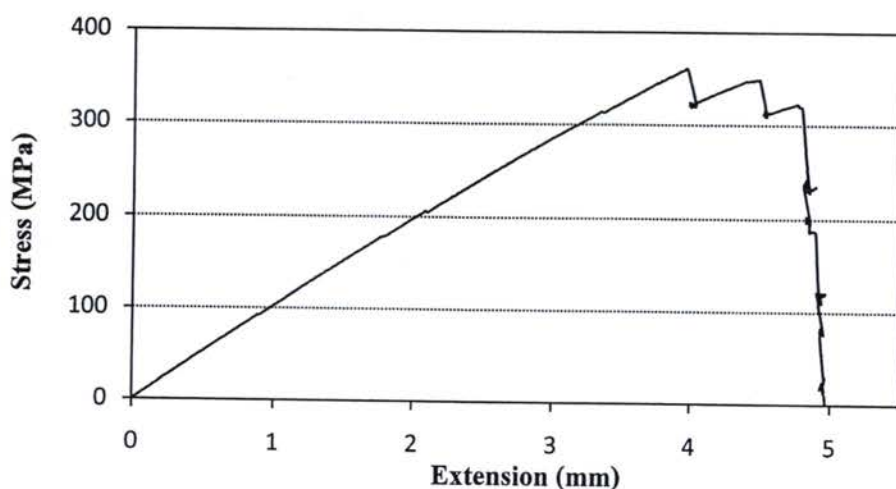
ภาพที่ 3.12 กราฟความสัมพันธ์ระหว่างความเก็บกันระยะการยืดตัวภายใต้แรงดึงของชิ้นงาน C

3.3.4 การทดสอบการต้านทานแรงดึงตามแนวเส้นไขยในทิศทางเดียว 0 องศา

การทดสอบแรงดึงเป็นการทดสอบตามมาตรฐาน ASTM D 3039 โดยมีการเรียงตัวของเส้นไขยตามแนวยาวหรือ [0/0]/ [0/0]/ [0/0] องศา ในทิศทางเดียว ดังภาพที่ 3.13 โดยชิ้นงานทดลองมี ความกว้างคือ 25.00 mm ความยาวคือ 250.00 mm และความยาวแท็ปคือ 150.00 mm ความเร็วที่ใช้ในการทดสอบคือ 10 mm/min ผลที่ได้จากการทดสอบแสดงความสัมพันธ์ระหว่างความกีนกับระยะการยืดตัวของชิ้นงาน ดังภาพที่ 3.14 จากการทดลองพบว่า ค่าความกีนสูงสุดคือ 361.07 MPa และค่าความต้านทานแรงสูงสุดคือ 23.19 kN



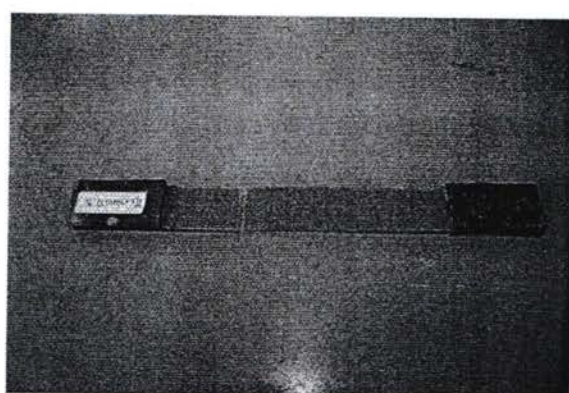
ภาพที่ 3.13 ชิ้นงานที่มีการเรียงตัวของเส้นไขยทิศทางเดียว สำหรับการทดลองแรงดึง



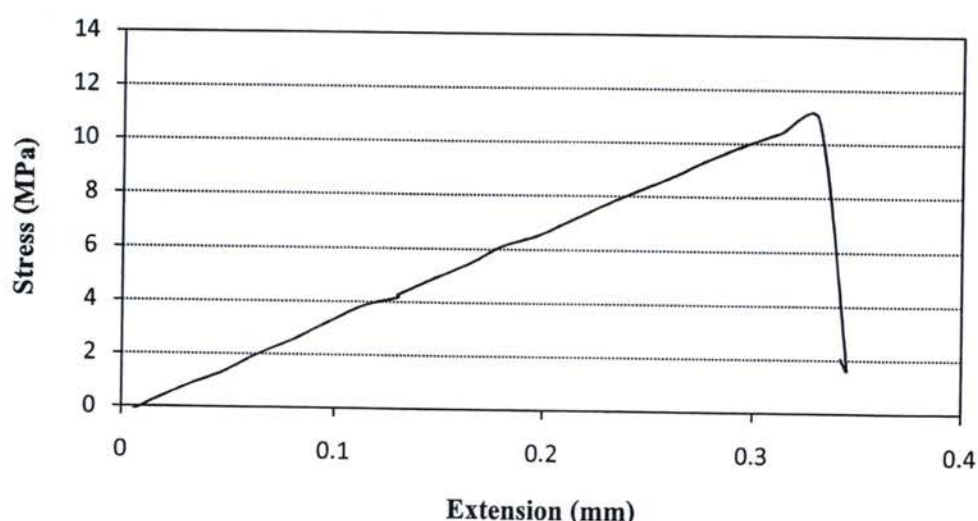
ภาพที่ 3.14 กราฟความสัมพันธ์ระหว่างความกีนกับระยะการยืดตัวของชิ้นงานภายใต้แรงดึง

3.3.5 การทดสอบการต้านทานแรงดึงตามแนวขวางเส้นไข่ในทิศทางเดี่ยว 90 องศา

การทดสอบแรงดึงเป็นการทดสอบตามมาตรฐาน ASTM D 3039 ทดสอบภายใต้แรงดึง โดยมีการเรียงตัวของเส้นไข่ตามแนวขวางหรือ [90/90]/ [90/90]/ [90/90] องศา ในทิศทางเดี่ยว ดังชิ้นงานแสดงในภาพที่ 3.15 โดยมีความกว้างคือ 25.00 mm ความยาวคือ 250.00 mm และความยาวเท็ปคือ 150.00 mm ความเร็วที่ใช้ในการทดสอบคือ 10 mm/min ผลการทดสอบแสดงในดังภาพที่ 3.16 แสดงความสัมพันธ์ระหว่าง ความกีดกันระหว่างการยืดตัวของชิ้นงาน จากการทดลองพบว่า ค่าความกีดกันสูงสุดคือ 10.94 MPa และค่าความต้านทานแรงดึงสูงสุดคือ 0.59 kN



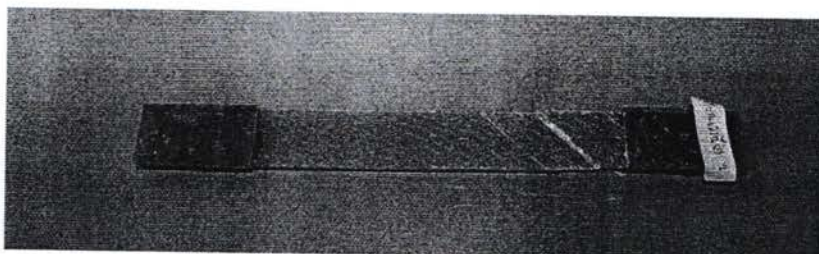
ภาพที่ 3.15 ชิ้นงานที่มีการเรียงตัวของเส้นไข่ทิศทางเดี่ยว สำหรับการทดลองแรงดึง



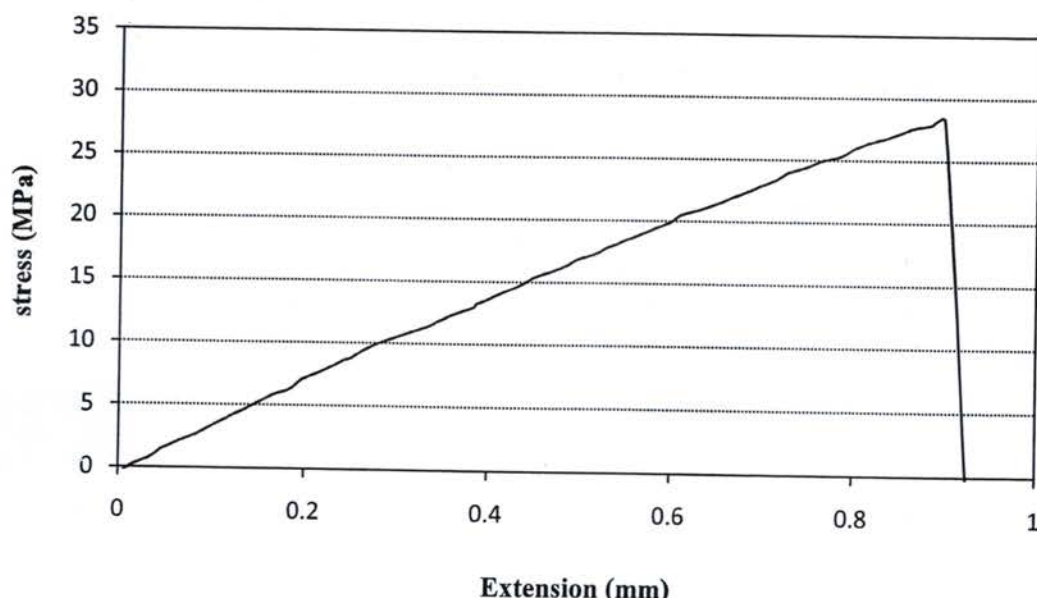
ภาพที่ 3.16 กราฟความสัมพันธ์ระหว่าง ความกีดกันระหว่างการยืดตัวของชิ้นงานภายใต้แรงดึง

3.3.6 การทดสอบการต้านทานแรงดึงตามแนวเฉียงเส้นไข่ในทิศทางเดียว 45 องศา

ชิ้นงานทดลองมีการเรียงตัวของเส้นไข่ตามแนวเฉียงหรือ [45/45]/[45/45]/[45/45] องศา ในทิศทางเดียว ดังแสดงในภาพที่ 3.17 โดยความกว้างคือ 25.00 mm ความยาวคือ 250.00 mm และความยาวแท็ปคือ 150.00 mm ความเร็วที่ใช้ในการทดสอบคือ 10 mm/min ผลที่ได้จากการทดสอบแสดงความสัมพันธ์ระหว่าง ความเก็บกับระบบการยึดตัวของชิ้นงาน ดังภาพที่ 3.18 ผลจากการทดลองพบว่า ค่าความเก็บสูงสุดคือ 28.33 MPa และค่าความต้านทานแรงดึงสูงสุดคือ 1.54 kN



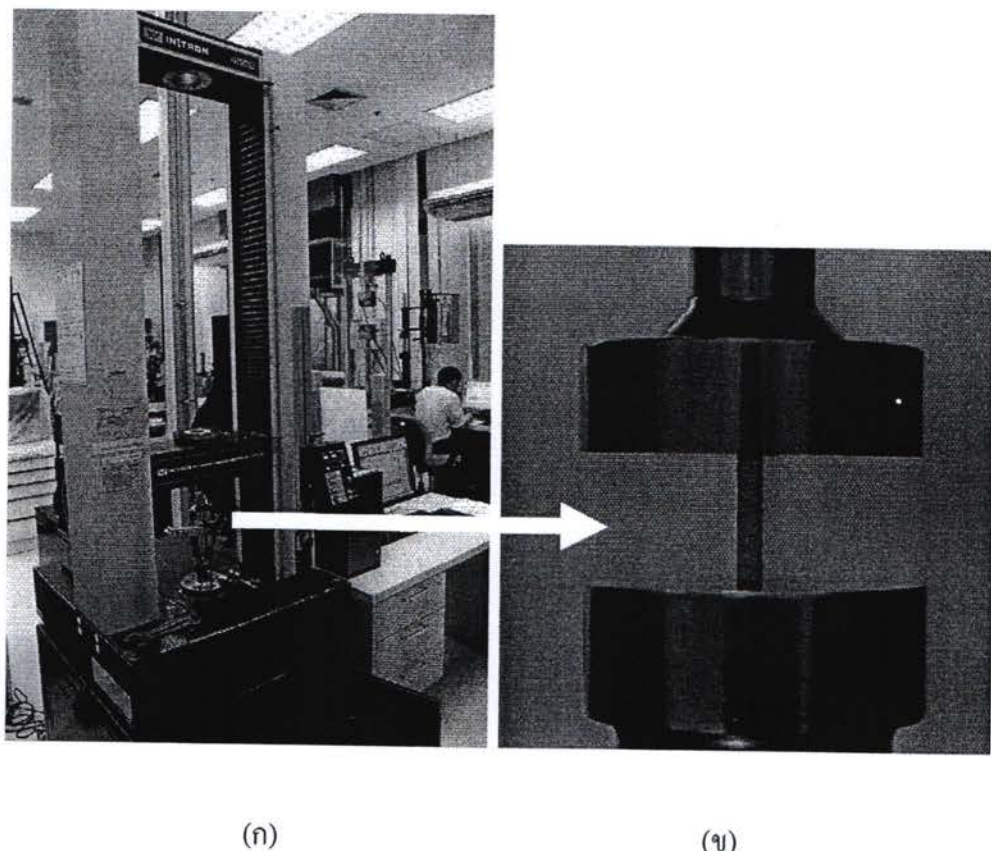
ภาพที่ 3.17 ชิ้นงานที่มีการเรียงตัวของเส้นไข่ทิศทางเดียว สำหรับการทดลองแรงดึง



ภาพที่ 3.18 กราฟความสัมพันธ์ระหว่าง ความเก็บกับระบบการยึดตัวของชิ้นงานภายใต้แรงดึง

3.3.7 การทดสอบการต้านทานแรงกดในทิศทางเดียว

เครื่องทดสอบที่ใช้ในการวิจัย มีชื่อว่า Universal Testing Machine Dynamic Type รุ่น Instron 4502 ความสามารถในการกด 10 kgf ดังแสดงในภาพที่ 3.19 จากห้องปฏิบัติการทดสอบทางกล ศูนย์เทคโนโลยีโลหะและสัมภาระแห่งชาติ (MTEC) หลักการทำงานของเครื่อง โดยใช้แรงดันน้ำมันในการขับเคลื่อนกดหัวทดสอบให้เคลื่อนที่เพื่อให้เกิดแรงกระทำบนชิ้นงานภายใต้ระบบคอมพิวเตอร์ควบคุม แรงที่เกิดขึ้นจะถูกวัดโดย โหลดเซลล์ ส่วนการเปลี่ยนแปลงรูปร่างของชิ้นงานทดสอบจะถูกวัดโดยระบบการเคลื่อนที่ของ actuator หรือ extensometer



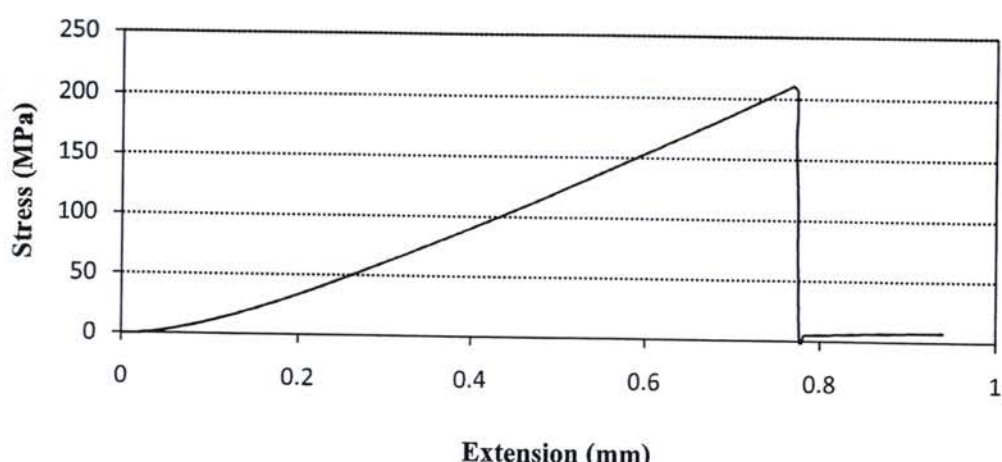
ภาพที่ 3.19 (ก) เครื่องทดสอบกด (ข) ชิ้นงานที่ใช้ในการทดสอบแรงกด

3.3.8 การทดสอบการต้านทานแรงกดตามแนวเส้นไขในทิศทางเดียว 0 องศา

เตรียมชิ้นงานตามมาตรฐานการทดสอบ ASTM D 695 โดยมีการเรียงตัวของเส้นไขตามแนวยาวหรือ [0/0]/[0/0]/[0/0] องศา ในทิศทางเดียวของชิ้นงาน ดังภาพที่ 3.20 โดยให้มีความหนาคือ 5.00 mm ความกว้างคือ 5.00 mm ความยาวคือ 25.00 mm ความเร็วที่ใช้ในการทดสอบคือ 5 mm/min ผลที่ได้จากการทดสอบแสดงความสัมพันธ์ระหว่างความก dein กับระบบการยืดตัวของชิ้นงาน ดังแสดงในภาพที่ 3.21 กราฟมีแนวโน้มลักษณะสูงขึ้น ซึ่งเกิดจากการต้านทานแรง หลังจากนั้นกราฟคล่องอย่างรวดเร็วซึ่งเกิดจากชิ้นงานเกิดการเสียหาย จากการทดสอบพบว่า ค่าความก dein สูงสุดคือ 210.55 MPa และค่าความต้านทานแรงสูงสุดคือ 5.54 kN



ภาพที่ 3.20 ชิ้นงานที่มีการเรียงตัวของเส้นไขตามแนวยาวของชิ้นงาน สำหรับการทดสอบแรงกด



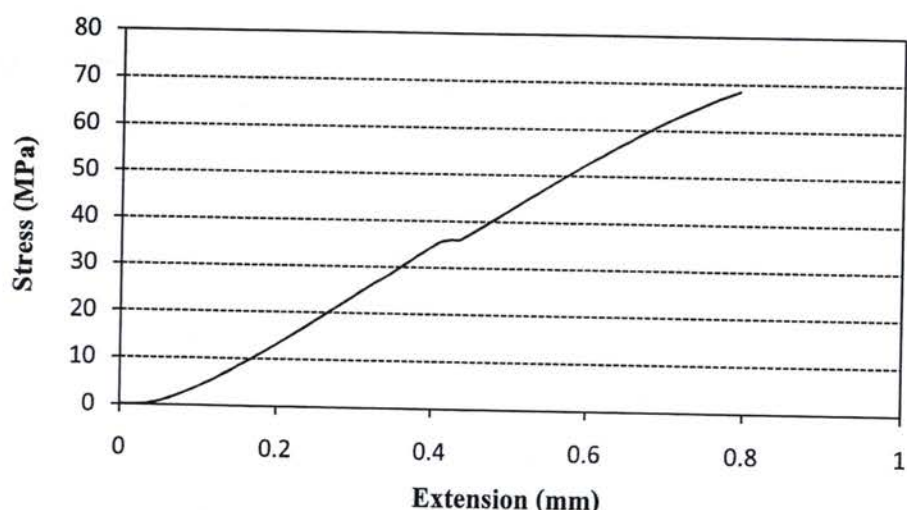
ภาพที่ 3.21 กราฟความสัมพันธ์ระหว่าง ความก dein กับระบบการยืดตัวของชิ้นงาน

3.3.9 การทดสอบการต้านทานแรงกดตามแนวเส้นไข่ในทิศทางเดียว 90 องศา

เตรียมชิ้นงานตามมาตรฐานการทดสอบ ASTM D 695 โดยมีการเรียงตัวของเส้นไข่ตามแนวขวางหรือ [90/90]/[90/90]/[90/90] องศา ในทิศทางเดียวของชิ้นงาน ดังภาพที่ 3.22 โดยความหนาคือ 5.00 mm ความกว้างคือ 5.00 mm ความยาวคือ 25.00 mm ความเร็วที่ใช้ในการทดสอบ คือ 5 mm/min ผลที่ได้จากการทดสอบแสดงความสัมพันธ์กันระหว่าง ความเค้นกับระบบการยืดตัวของชิ้นงาน ดังภาพที่ 3.23 จากการทดลองพบว่า ค่าความเค้นสูงสุดคือ 69.88 MPa และค่าความต้านทานแรงสูงสุดคือ 1.81 kN



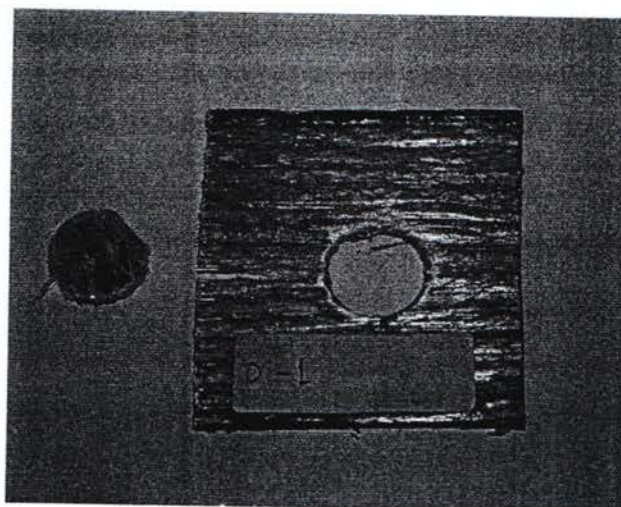
ภาพที่ 3.22 ชิ้นงานที่มีการเรียงตัวของเส้นไข่ตามแนวขวางของชิ้นงานสำหรับการทดลองแรงกด



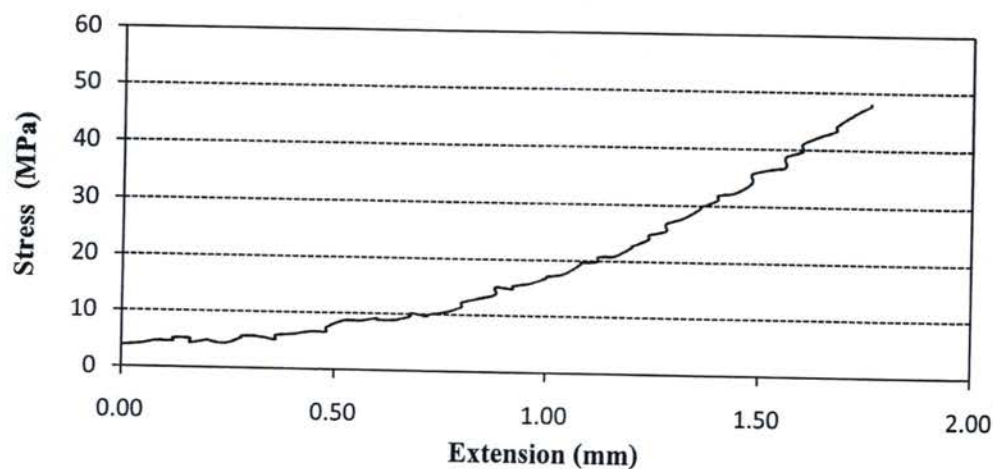
ภาพที่ 3.23 กราฟความสัมพันธ์ระหว่างความเค้นกับระบบการยืดตัวของชิ้นงาน

3.3.10 การทดสอบแรงเฉือนอกระนาบในทิศทางเดียว

เตรียมชิ้นงาน โดยให้มีการเรียงตัวของเส้นไขดานแนวยาว [0/0]/[0/0]/[0/0] องศา ในทิศทางเดียว ดังภาพที่ 3.24 โดยชิ้นงานมีความหนาคือ 2.00 mm ความกว้างคือ 50.00 mm ความยาวคือ 50.00 mm ความเร็วที่ใช้ในการทดสอบคือ 10 mm/min ผลที่ได้จากการทดสอบแสดง ความสัมพันธ์ระหว่าง ความเก็บกับระบบการยึดตัวของชิ้นงาน ภาพที่ 3.25



ภาพที่ 3.24 ชิ้นงานที่มีการเรียงตัวของเส้นไขดานแนวยาวของชิ้นงานสำหรับการทดสอบแรงเฉือน



ภาพที่ 3.25 กราฟความสัมพันธ์ระหว่าง ความเก็บกับระบบการยึดตัวของชิ้นงาน

ตารางที่ 3.1 สรุปผลการทดสอบของชิ้นงาน

แรงกระทำ	ทิศทางเรียงตัวของเส้นใย (องศา)	ภาระสูงสุด (kN)	ความเด่น สูงสุด (MPa)	มอดูลัสยังคง (MPa)	ระยะยึดตัว (%)
แรงดึง	[0/90]/[0/90]/[0/90]	18.00	370.68	15,915.80	3.10
	[45/-45]/[45/45]/[45/45]	2.90	62.86	7,307.64	3.44
	[45/-45]/[0/90]/[45/-45]	10.10	185.43	9,495.37	3.20
	[0/0]/[0/0]/[0/0]	23.16	361.07	15,711.96	2.64
	[90/90]/[90/90]/[90/90]	0.59	10.94	5,619.23	0.22
	[45/45]/[45/45]/[45/45]	1.54	28.33	5,581.21	0.60
แรงกด	[0/0]/[0/0]/[0/0]	5.54	210.55	9,097.21	2.87
	[90/90]/[90/90]/[90/90]	1.81	69.88	3,614.84	2.68
แรงเฉือน	[0/0]/[0/0]/[0/0]	9.29	48.28	2,414.15	1.76

3.4 ชิ้นงานทดสอบ

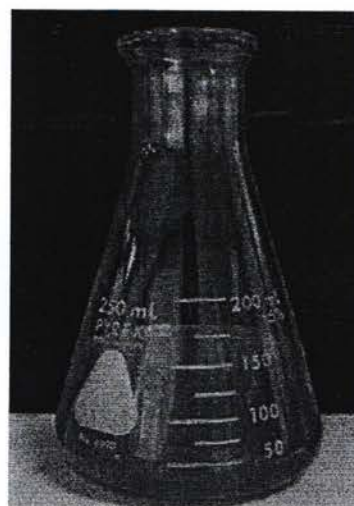
ชิ้นงานที่ใช้ในการทดสอบมีลักษณะท่อทรงกระบอก ขึ้นรูปจากพอลิเอสเทอร์เรซิ่นชนิด ไอโซฟทาลิก และเสริมแรงด้วยเส้นใยแก้วชนิด E-glass มีลักษณะเป็นเส้นยาวเหมือนด้ายทอเป็นผืน ในส่วนการขึ้นรูป ขึ้นรูปด้วยวิธี Hand lay-up ซึ่งเป็นการขึ้นรูปชิ้นงานด้วยมือ โดยมุ่งการใช้ ของเส้นใย 3 แบบคือ [(0/90)/(0/90)/(0/90)] , [(45/-45)/(45/-45)/(45/-45)] และ [45/-45]/[0/90]/[45/-45] ตามลำดับ ขนาดของห่อ้มีเส้นผ่าศูนย์กลางกว้าง nok กือ 50.00 mm. ความหนาคือ 2.00 mm. และความยาวคือ 100.00 mm ดังแสดงในตารางที่ 3.2 แสดงถึงขนาดของห่อไฟเบอร์กลาส

ตารางที่ 3.2 ขนาดของห่อไฟเบอร์กลาสที่ใช้ในการทดสอบ

ลำดับ	เส้นผ่านศูนย์กลาง (mm)	ความยาว (mm)	ความหนา (mm)	มุมไขว้เส้นใย (องศา)
A	50.00	100.00	2.00	[(0/90)/(0/90)/(0/90)]
B	50.00	100.00	2.00	[(45/-45)/(45/-45)/(45/-45)]
C	50.00	100.00	2.00	[45/-45]/[0/90]/[45/-45]

3.4.1 ขั้นตอนการขึ้นรูปชิ้นงาน

ชิ้นงานที่ใช้ในการศึกษานี้คือไฟเบอร์กลาส ซึ่งมีส่วนประกอบหลักคือ เมทրิกซ์ หรือเรซิน ดังภาพที่ 3.26 ซึ่งในการศึกษานี้ได้ใช้เรซินชนิดพิเศษเป็นเย็นเรียงชิดติดกันสองแนวนอนคือ 0/90 องศา ดังภาพที่ 3.27 โดยมีขั้นตอนการขึ้นรูปชิ้นงานดังนี้

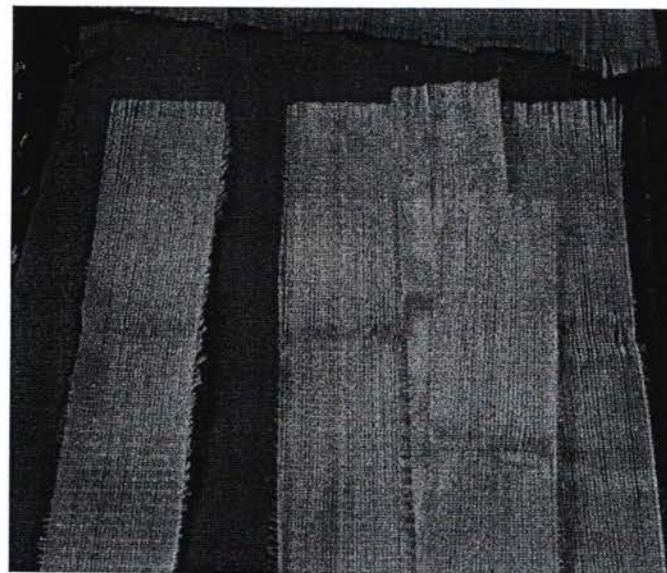


(ก) เรซิน



(ข) ตัวทำให้แข็งหรือ Hardener

ภาพที่ 3.26 เรซินและตัวทำให้แข็งที่ใช้ในการขึ้นรูปท่อไฟเบอร์



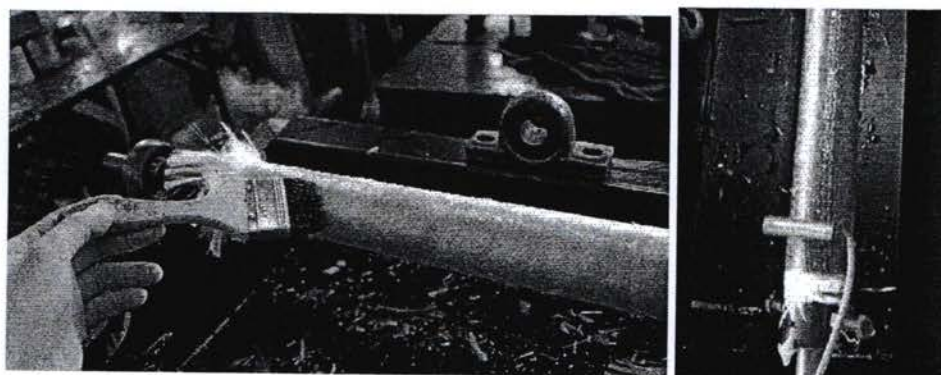
ภาพที่ 3.27 เส้นใยแก้วทอเป็นผืนที่มีลักษณะนูนไขว้กัน 0/90 องศา

3.4.1.1 เครื่ยมแม่แบบที่ใช้ในการทดลองลักษณะเป็นทรงกระบอกมีความยาวคือ 500 mm โดยผ่ากลางห่อด้านหนึ่งให้มีความกว้างคือ 5 mm และเจาะปลายทั้งสองข้าง เพื่อใช้ในการถอดแบบ จากนั้นนำแม่แบบทำความสะอาดด้วยน้ำแล้วตากให้แห้ง แล้วทาขี้ผึ้งหรือแวกซ์ป้องกันไม่ให้เกิดเป็นฝ้าขาว แล้วจึงขัดผิวแม่แบบด้วยขี้ผึ้งขัดผิวหรือแวกซ์ ขัดให้เกิดความร้อน ทำซ้ำประมาณ 3 ถึง 4 ครั้ง เพื่อให้ผิวของแม่แบบเกิดความมัน

3.4.1.2 เครื่ยมเส้นไยแก้วเพื่อใช้ในการพันท่อแม่แบบในการพันแบบมุนไขว้ [(0/90)/(0/90)/(0/90)] ตัดเส้นไยแก้วผืนให้ความกว้างคือ 470 mm และความยาว 470 mm ส่วนในการพันแบบมุนไขว้ [(45/-45)/(45/-45)/(45/-45)] ตัดเส้นไยแก้วผืน ความกว้างคือ 120 mm ความยาวคือ 750 mm เพื่อให้เหมาะสมในการวางแผนไขว้กับแม่แบบ

3.4.1.3 เครื่องหมุนแม่แบบเป็นที่เครื่องสร้างขึ้นมาเพื่อลดปัญหาของการให้ลมารวนตัวกันของเรซิ่น ซึ่งส่งผลทำให้ชิ้นงานมีความหนาไม่เท่ากัน ซึ่งเครื่องหมุนแม่แบบมีลักษณะเป็นเพลายาว และมีความยาวประมาณ 800 mm หมุนด้วยมอเตอร์ และควบคุมความเร็วรอบตัวยึดมือแปลงไฟฟ้าหมุนด้วยความเร็ว 34 rpm

3.4.1.4 ขั้นรูปด้วยการทาเรซิ่นลงบนเส้นไยแก้ว ดังภาพที่ 3.28 เริ่มต้นจากการผสมเรซิ่นและตัวทำให้แข็งลงในแก้วพลาสติก แล้วกวนเรซิ่นในทิศทางเดียวประมาณ 2 ถึง 3 นาที ซึ่งปริมาณของเรซิ่นที่ใช้คือ 140 ml และตัวทำให้แข็งประมาณ 0.14 ml จากนั้นทาลงไยแก้ว จนกระทั่งครบจำนวนชั้นของไยแก้ว ในการศึกษานี้ใช้เส้นไยแก้วทั้งหมด 6 ชั้น เมื่อทาเรซิ่นจนชุ่มน้ำแล้วจึงนำเอาลูกกลิ้งโลหะเกลี่ยกลิ้งลงบนชิ้นงานเพื่อไล่อากาศออก

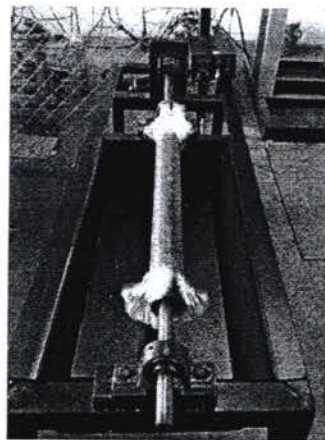


(ก)

(ข)

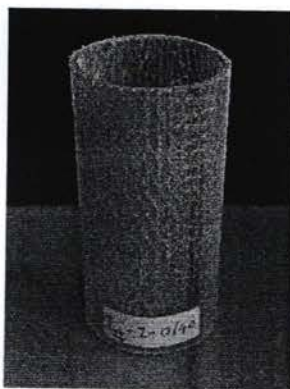
ภาพที่ 3.28 (ก) การทาเรซิ่นลงบนเส้นไยแก้วที่พันแม่แบบ (ข) ลูกกลิ้งโลหะเกลี่ย
เพื่อไล่อากาศออก

3.4.1.5 หลังจากผ่านการทารีซึ่นและรีดอากาศออกด้วยลูกกลิ้งแล้ว เครื่องหมุนแม่แบบเริ่มหมุนด้วยความเร็วที่ 34 rpm ใช้เวลาในการหมุนประมาณ 180 min ดังภาพที่ 3.29 เพื่อให้เรซิ่นเซ็ทตัวและมีความแข็งพอที่จะถอดแบบออกได้ง่าย ทั้งนี้หลังจาก 180 min ไปแล้ว ชิ้นงานจะติดกับแม่แบบซึ่งจะทำให้ถอดแบบยาก



ภาพที่ 3.29 เครื่องหมุนแม่แบบ

3.4.1.6 การถอดแม่แบบชิ้นงาน ถอดออกโดยการดึงชิ้นงานออกจากตัวแม่แบบ หลังจากนั้นชิ้นงานวางไว้เพื่อให้ชิ้นงานแห้ง จะได้ท่อชิ้นงานตามมุมที่เราต้องการ จากนั้นปล่อยให้ชิ้นงานทิ้งไว้ประมาณ 1 ถึง 2 วัน เพื่อให้ชิ้นงานแห้งดีแล้วจึงนำชิ้นงานไปตัด ก็จะได้ชิ้นงานที่สมบูรณ์ดังแสดงในภาพที่ 3.30



(ก) ชิ้นงาน A

$[(0/90)/(0/90)/(0/90)]$



(ข) ชิ้นงาน B

$[(45/-45)/(45/-45)/(45/-45)]$



(ค) ชิ้นงาน C

$[+45/-45]/[0/90]/[+45/-45]$

ภาพที่ 3.30 ชิ้นงานที่ได้จากการขึ้นรูปในมุมไขว้ต่างๆ

3.5 การติดตั้งอุปกรณ์การทดลองของเครื่องทดสอบแรงกระแทก

ในการศึกษานี้ใช้โปรแกรมในการบันทึกข้อมูลที่มีชื่อว่า KYOWA DCS 100A ดังภาพที่ 3.31 (ก) โหลดเซลล์ที่ใช้ในการวัดแรงมีความสามารถรับแรงกระแทกสูงสุดได้ 200 kN ของ KYOWA Model LC-20TV ดังภาพที่ 3.31 (ข) และอุปกรณ์ที่ใช้ในการแปลงสัญญาณของไฟฟ้า คือ Data logger ชนิด PCD-300 Series 3.31 (ค) สำหรับการติดตั้งอุปกรณ์เพื่อทดสอบแรงกระแทกมีดังต่อไปนี้ ดังภาพที่ 3.32

3.5.1 เชื่อมต่อสายโหลดเซลล์เข้ากับ Data logger และต่อสายเคเบิลจาก Data logger เข้าสู่เครื่องคอมพิวเตอร์

3.5.2 ชั้นน้ำหนักของหัวก้อน ทำได้โดยนำหัวก้อนวางบนโหลดเซลล์ จำนวนเพิ่มหรือลดน้ำหนักที่ต้องการทดสอบ ใน การศึกษานี้ มีหัวก้อนน้ำหนักประมาณ 45 kg

3.5.3 ติดตั้งกล้องความเร็วสูง เพื่อใช้ในการบันทึกพฤติกรรมการตอบสนองชั้นงาน โดยบันทึกเป็นภาพเคลื่อนไหว สำหรับการปรับตั้งค่าในโปรแกรมมีรายละเอียดดังนี้

3.5.3.1 ความละเอียดในการบันทึกภาพเคลื่อนไหว คือ 1000 fps

3.5.3.2 ความเร็วชัตเตอร์ คือ 1250/s

3.5.3.3 สมดุลแสงสีขาว คือ Manual

3.5.3.4 รูรับแสง คือ 5.0

3.5.3.5 ความไวแสง คือ 400

3.5.4 ติดตั้งหลอดไฟ (Spotlight) เพื่อเพิ่มความสว่างให้กับชั้นงานในการศึกษานี้ ใช้หลอดไฟขนาด 1500 W ทั้งหมด 2 หลอด

3.5.5 ขั้นตอนการทดลองมีขั้นตอนดังต่อไปนี้

3.5.5.1 ดึงหัวก้อนด้วยรอกมอเตอร์ไฟฟ้า ตามความสูงที่ต้องการทดลอง สำหรับในการศึกษานี้ใช้ความสูงระหว่างปลายชั้นงานและปลายหัวก้อนเท่ากับ 2.47 m

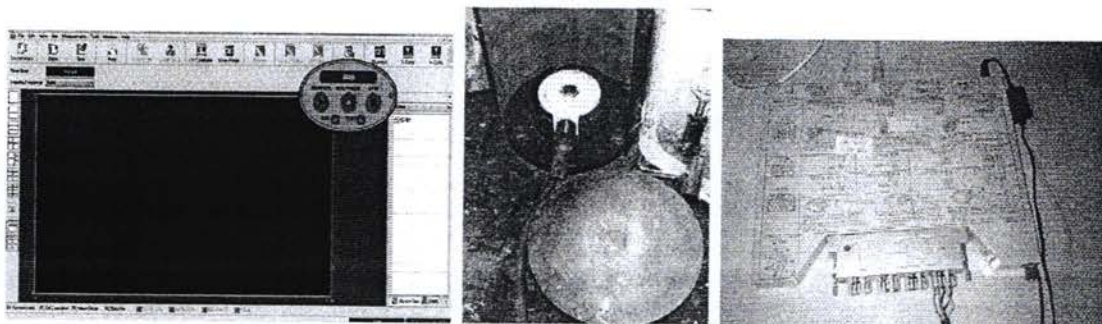
3.5.5.2 วางชั้นงานในระดับกึ่งกลาง บนฐานรองรับแรงกระแทก

3.5.5.3 ปล่อยหัวก้อนกระแทกต่อชั้นงาน

3.5.5.4 บันทึกกราฟในช่วงระหว่างกระแทกจากโปรแกรม

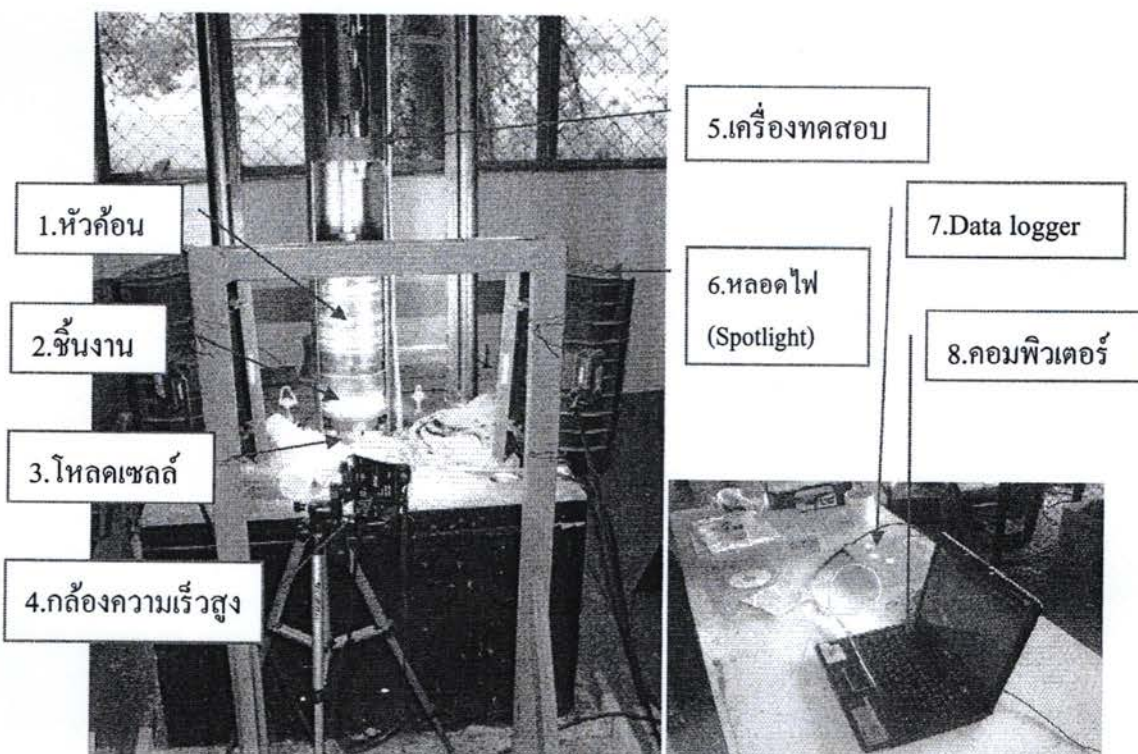
3.5.5.5 บันทึกภาพเคลื่อนไหวด้วยกล้องความเร็วสูง

3.5.5.6 วิเคราะห์ผลการทดลอง



(ก) โปรแกรม KYOWA DCS100A (ข) 宦ดเซลล์ (ค) Data logger PCD-300B Series

ภาพที่ 3.31 อุปกรณ์การทดลองของเครื่องทดสอบ



ภาพที่ 3.32 การติดตั้งอุปกรณ์การทดลองของเครื่องทดสอบแรงกระแทก

3.6 ขั้นตอนในการศึกษา

การศึกษานี้ประกอบไปด้วยการทดลองและการใช้แบบจำลองทาง FEA โดยมีขั้นตอนการศึกษาดังนี้

3.6.1 การทำการทดลอง

3.6.1.1 เตรียมชิ้นงานทดลองให้มีขนาดและการวางแผนเส้นไขตัวที่กำหนดในขอบเขต

3.6.1.2 นำชิ้นงานไปทดสอบด้วยเครื่องทดสอบแรงกระแทกและเครื่องทดสอบความเร็วต่ำ ตามเงื่อนไขที่กำหนดในขอบเขตการศึกษา

3.6.1.3 บันทึกข้อมูลเป็นแรงปฎิกิริยาและระยะยุบตัวเพื่อทำการวิเคราะห์ หาความสามารถในการรับแรงกระแทก

3.6.1.4 บันทึกภาพเพื่อประกอบการวิเคราะห์ข้อมูล

3.6.2 การทำแบบจำลองด้วย FEA

3.6.2.1 ศึกษาวิธีใช้งานโปรแกรม

3.6.2.2 ทดสอบคุณสมบัติวัสดุเพื่อใช้เป็นข้อมูลในการสร้างแบบจำลอง

3.6.2.3 สร้างแบบจำลองและการทดสอบแบบจำลอง โดยใช้เงื่อนไขเดียวกับแบบการทดลอง

3.6.2.4 เปรียบเทียบผลการทดลองและแบบจำลอง

3.6.2.5 ใช้แบบจำลองในการศึกษาพฤติกรรมการเสียหายของชิ้นงาน

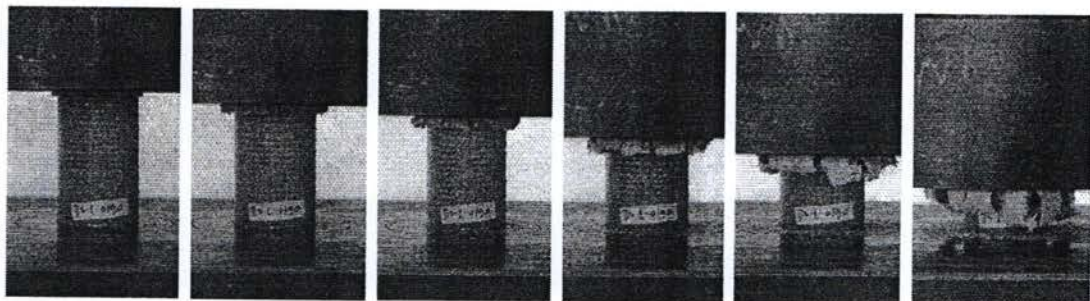
บทที่ 4

ผลการศึกษาและวิเคราะห์ผล

4.1 การตอบสนองของท่อต่อแรงกระทำแบบกึ่งคงที่

4.1.1 การเสียหายของชิ้นงาน A

จากภาพที่ 4.1 แสดงถึงรูปแบบการเสียหายของชิ้นงาน ที่ได้จากการทดลองภายใต้การกระทำในแนวแกนแบบกึ่งคงที่ ของชิ้นงานที่มีลักษณะการเรียงตัวของเส้นไขตามแนวตั้ง 0 องศา และแนวขวาง คือ 90 องศา พบว่าในช่วงแรกเกิดการบุบตัวของชิ้นงานช้า หลังจากกระแสกระทำต่อชิ้นงานเพิ่มมากขึ้น ชิ้นงานเกิดการบุบตัวอย่างรวดเร็ว ซึ่งการเริ่มต้นการเสียหายเกิดขึ้นที่ปลายด้านบนของชิ้นงาน มีลักษณะแตกคละอีกด้วยเป็นชิ้นเล็กและนานออกเป็นพุ่มหลังจากนั้นชิ้นงานเริ่มแยกและนานออกเป็นสองส่วน ได้แก่ ส่วนแรกเส้นไขแยกและบุบเข้าด้านในของชิ้นงาน และส่วนที่สองเส้นไขแยกและนานออกด้านนอกของชิ้นงาน จนกระทั่งสิ้นสุดการบุบตัว

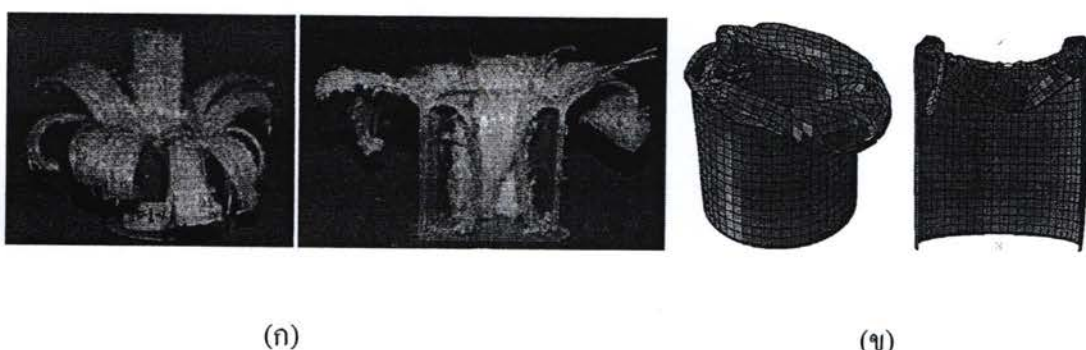


S = 10 mm S = 20 mm S = 30 mm S = 40 mm S = 50 mm S = 60 mm

ภาพที่ 4.1 การเสียหายภายใต้การกระทำในแนวแกนแบบกึ่งคงที่ของชิ้นงาน A ที่ระยะบุบตัว ต่างๆ (S)

ภาพที่ 4.2 แสดงการเสียหายสุดท้ายของชิ้นงาน โดยแสดงผลการทดลองเทียบกับแบบจำลองทางคอมพิวเตอร์ โดยภาพที่ 4.2 (ก) เป็นผลการทดลองซึ่งจะสังเกตได้ว่าชิ้นงานมีลักษณะนานออกเป็นแฉกซึ่งเกิดจากอิทธิพลของเส้นไขในแนวตั้ง ที่สามารถรับกระแสในแนวแกน

โดยตรง และอิทธิพลเส้นไปในแนววางทำหน้าที่ประคงให้เส้นไปในแนวตั้งให้รับภาระแนวแกนได้ดีขึ้น การเสียหายเกิดขึ้นที่ปลายด้านบน มีลักษณะบานออกและแตกกระเบี้ยดเป็นชื่นเด็ก ส่วนผลการจำลองทางคอมพิวเตอร์ ในภาพที่ 4.2 (ก) เมื่อเปรียบเทียบกับการทดลองซึ่งมีลักษณะการเริ่มต้นเสียหายด้านบนคล้ายกัน แต่ในส่วนการฉีกขาดของชิ้นงาน การทดลองมีลักษณะบานออกเป็นแฉกและเมื่อเปรียบเทียบกับแบบจำลองมีลักษณะแตกและบุบตัวในชิ้นงาน ซึ่งมีลักษณะค่อนข้างแตกต่างกัน

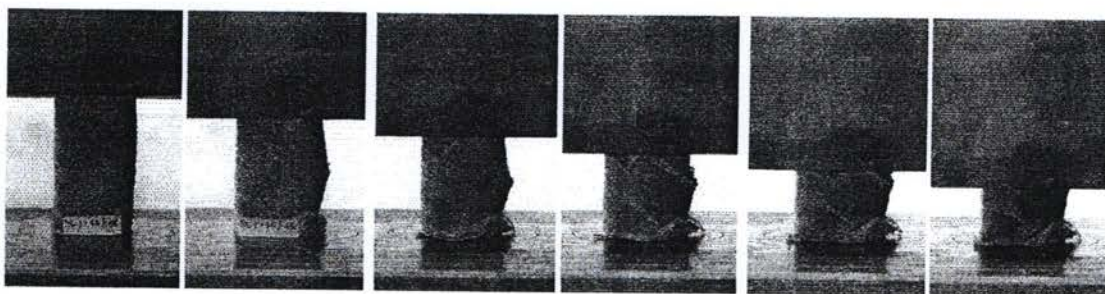


ภาพที่ 4.2 การเสียหายสุดท้ายของชิ้นงาน A ภายใต้แรงกึ่งคงที่ (ก) การทดลอง
(ข) แบบจำลองทาง FEA

4.1.2 การเสียหายของชิ้นงาน B

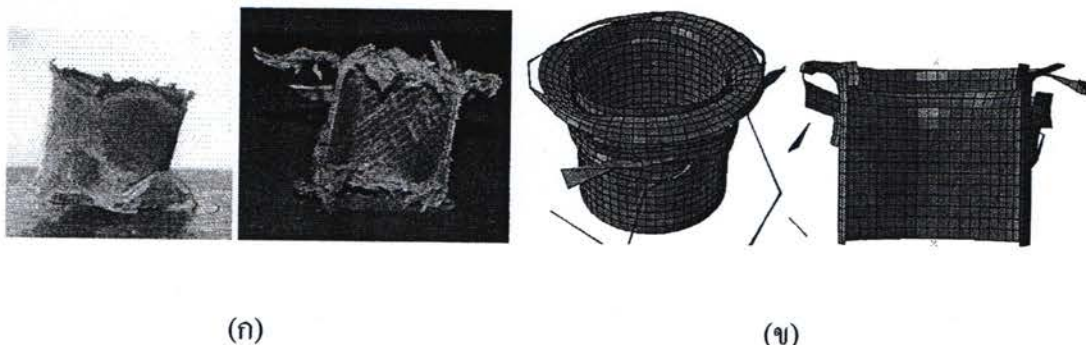
จากภาพที่ 4.3 และ 4.4 (ก) แสดงรูปแบบการเสียหายของชิ้นงานที่มีลักษณะมุนไขว้โดยการจัดเรียงตัวของเส้นไปในแนวเฉียง คือ (45/-45) จากการทดลองพบว่าการเริ่มต้นการเสียหายเกิดขึ้นที่ด้านล่างของชิ้นงาน มีลักษณะการเสียหายตามแนวเฉียงของเส้นไป หลังจากนั้นจึงเกิดการเสียหายด้านบนของชิ้นงาน มีการเสียหายบุบตัวและซ้อนกันภายในชิ้นงาน ซึ่งเกิดจากการเรียงตัวของเส้นไปในแนวเฉียง เมื่อรับภาระในแนวแกนทำให้เส้นไปเกิดการแตกหักตลอด จนสิ้นสุดการบุบตัว

ในส่วนของแบบจำลองพบว่า ลักษณะการเสียหายเกิดขึ้นที่ปลายด้านบนของชิ้นงาน จากนั้นบุบตัวลงและซ้อนกัน ดังภาพที่ 4.4 (ข) ซึ่งคล้ายกับที่ได้จากการทดลอง พิจารณา รูปแบบการเสียหายสุดท้ายของชิ้นงานจากการทดลองเปรียบเทียบกับแบบจำลองทาง FEA พบว่า การเริ่มต้นการเสียหายของการทดลองเริ่มเสียหายจากด้านบนและมีลักษณะแตกออกตามแนวเฉียงของเส้นไป ซึ่งมีลักษณะคล้ายกันกับแบบจำลอง



$S = 10 \text{ mm}$ $S = 20 \text{ mm}$ $S = 30 \text{ mm}$ $S = 40 \text{ mm}$ $S = 50 \text{ mm}$ $S = 60 \text{ mm}$

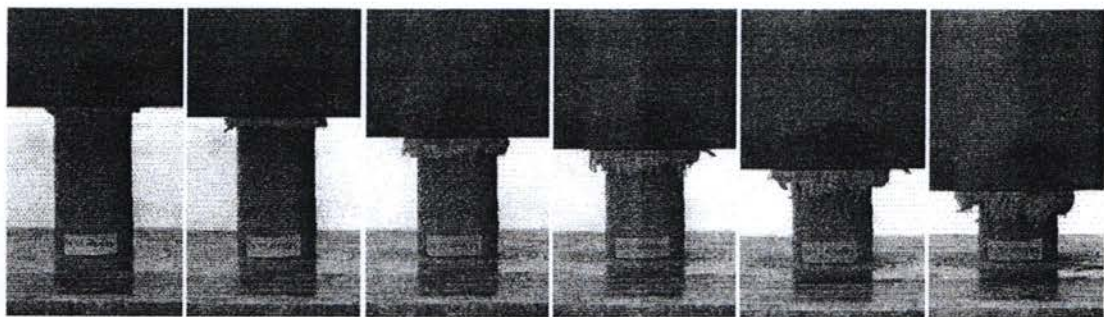
ภาพที่ 4.3 การเสียหายภายใต้ภาระกระทำในแนวแกนแบบกึงคงที่ของชิ้นงาน B ที่ระยะยุบตัวต่างๆ (S)



ภาพที่ 4.4 การเสียหายสุดท้ายของชิ้นงาน B ภายใต้แรงกึงคงที่ (g) การทดลอง (h) แบบจำลองทาง FEA

4.1.3 การเสียหายของชิ้นงาน C

จากภาพที่ 4.5 การเริ่มต้นของการเสียหายของชิ้นงาน C เกิดขึ้นที่ปลายด้านบนของชิ้นงาน มีลักษณะแตกคละอ่อนเป็นพุ่ม หลังจากนั้นเส้นใยแบ่งออกเป็นสองส่วน ได้แก่ ส่วนแรก ยุบเข้าด้านในของชิ้นงาน ส่วนที่สองแยกออกด้านนอกชิ้นงาน จนกระทั่งสิ้นสุดการยุบตัว จากการสังเกตการเสียหายสุดท้ายของชิ้นงานในภาพที่ 4.6 (ก) พบร่วมกับลักษณะนานออกแบบเป็นพุ่ม ซึ่งเกิดจากอิทธิพลของเส้นใยในแนวตั้ง 0 องศา ทำให้รับภาระในแนวแกนโดยตรง และอิทธิพลของเส้นใยในแนวเฉียง ทำหน้าที่ประคองเส้นใยในแนวตั้งและรับภาระในแนวแกนด้วย ในส่วนของแบบจำลองพบว่า ลักษณะการเสียหายเกิดขึ้นที่ปลายด้านบนของชิ้นงาน จนสิ้นสุดการยุบตัว



$S = 10 \text{ mm}$ $S = 20 \text{ mm}$ $S = 30 \text{ mm}$ $S = 40 \text{ mm}$ $S = 50 \text{ mm}$ $S = 60 \text{ mm}$

ภาพที่ 4.5 การเสียหายภายใต้ภาระกระทำในแนวแกนแบบกึ่งคงที่ของชิ้นงาน C ที่ระยะยุบตัวต่างๆ (S)

จากภาพที่ 4.6 (ก) ส่วนของด้านบนมีลักษณะแตกละเอี้ด เมื่อเปรียบเทียบการทดลองกับแบบจำลองพบว่าการเริ่มต้นความเสียหายมีลักษณะการเสียหายจากด้านบนของชิ้นงานที่คล้ายกัน และในส่วนของการแตกและนานออกของเส้นใยมีลักษณะที่สอดคล้องกันกับการทดลอง



(ก)

(ข)

ภาพที่ 4.6 การเสียหายสุดท้ายของชิ้นงาน C ภายใต้แรงกึ่งคงที่ (ก) การทดลอง (ข) แบบจำลองทาง FEA

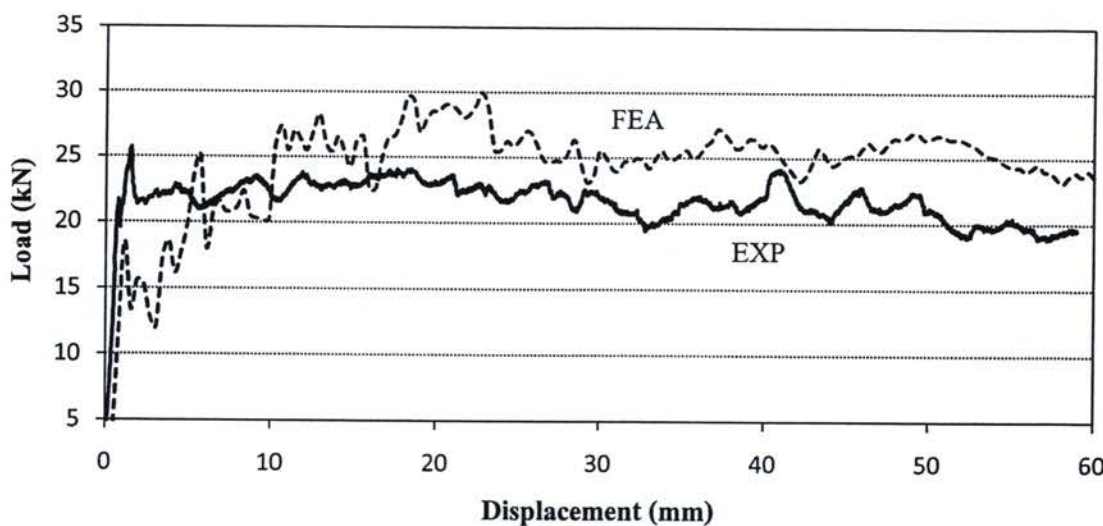
ทั้งนี้เพื่อให้ง่ายต่อการเปรียบเทียบ จึงได้นำภาพการเสียหายของชิ้นงานจากการทดลองและจากแบบจำลองเปรียบเทียบกันดังตารางที่ 4.1

ตารางที่ 4.1 สรุปผลการทดลองและแบบจำลองการเสียหายของชิ้นงานภายใต้แรงแบบกึ่งคงที่

ชิ้นงาน	รูปแบบการเสียหาย จากการทดลอง		รูปแบบการเสียหาย จากแบบจำลอง	
A				
B				
C				

4.1.4 การตอบสนองของชิ้นงาน A

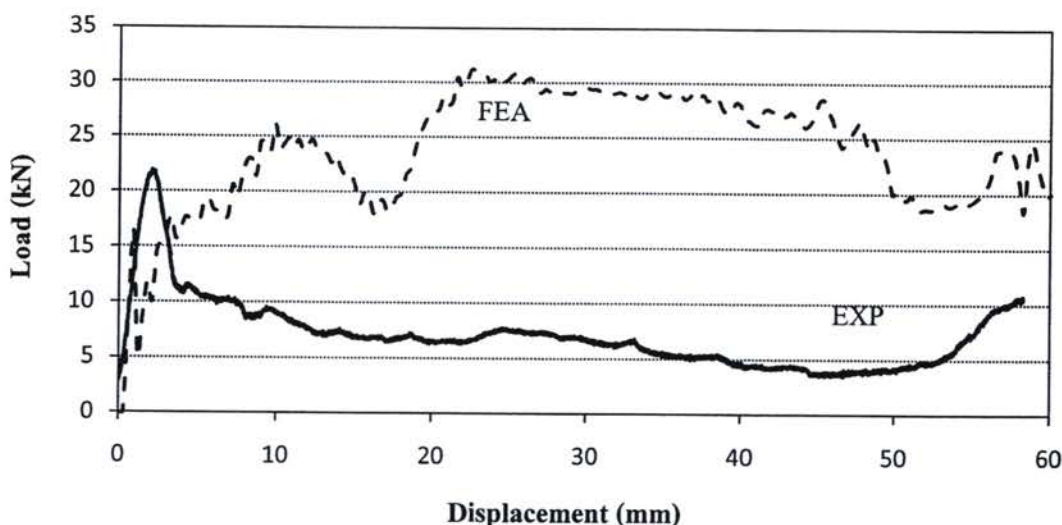
จากภาพที่ 4.7 แสดงความสัมพันธ์ระหว่างค่าการระบายระบบทุบของชิ้นงานที่ทดสอบภายใต้การกระทำกึ่งคงที่ในแนวแกน โดยเส้นประเป็นผลจากแบบจำลอง ส่วนเส้นที่บีบ เป็นผลจากการทดลอง จากการสังเกตพบว่ากราฟของแบบจำลองสูงกว่าการทดลอง ซึ่งลักษณะของกราฟในช่วงแรกที่มีความชันมาก ซึ่งถือว่าชิ้นงานยังไม่เสียรูป หลังจากนั้นกราฟมีแนวลดลงอย่างรวดเร็ว และมีลักษณะแกว่งตัวเป็นคลื่นสั่นๆ ไปมาจากแรงต้านและแรงกดต่อชิ้นงาน จนกระทั่งชิ้นงานสิ้นสุดการบุบตัว จากการสังเกตพบว่าผลการทดลองจริงสามารถรับภาระสูงสุดเท่ากับ 28.74 kN และค่าการเฉลี่ยเท่ากับ 25.32 kN ในส่วนผลของแบบจำลอง สามารถรับภาระสูงสุดเท่ากับ 29.98 kN ค่าการเฉลี่ยเท่ากับ 24.29 kN โดยค่าการเฉลี่ยจะนำไปคำนวณความสามารถดูดซับพลังงานต่อไป ทั้งนี้สังเกตได้ว่าลักษณะกราฟของการทดลองและแบบจำลองทางคอมพิวเตอร์มีแนวโน้มในทิศทางเดียวกัน และไม่แตกต่างกันมากนัก



ภาพที่ 4.7 ความสัมพันธ์ระหว่างภาระและระยะยุบตัวภายใต้แรงกระทำกึ่งคงที่ของชิ้นงาน A

4.1.5 การตอบสนองของชิ้นงาน B

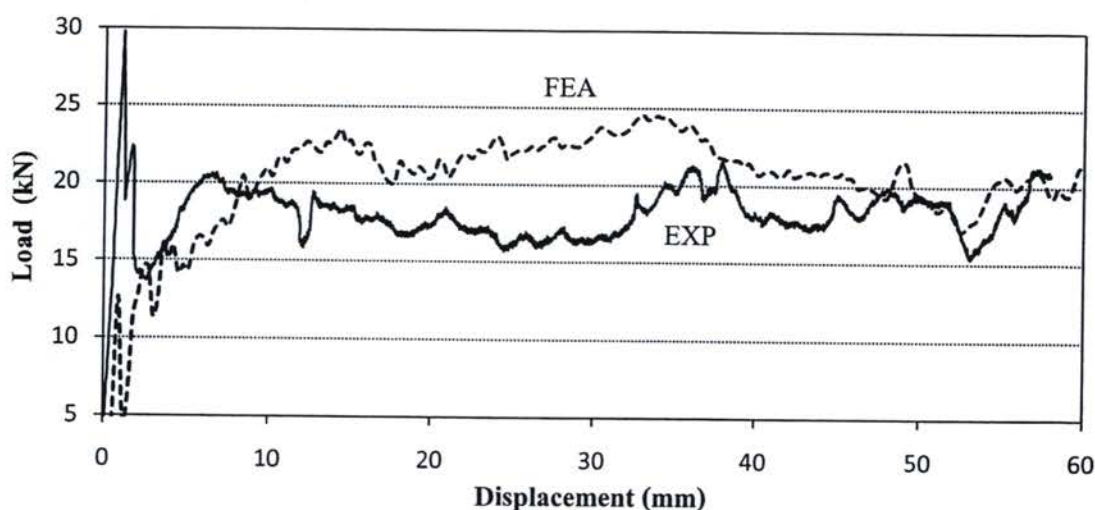
จากภาพที่ 4.8 ความสัมพันธ์ระหว่างภาระและระยะยุบตัวภายใต้แรงกระทำกึ่งคงที่ พนบว่าช่วงแรกของกราฟมีลักษณะความชันสูงสุด หลังจากนั้นกราฟมีแนวโน้มลดลงอย่างรวดเร็ว และมีลักษณะสลับกันไปมา เนื่องจากแรงต้านและแรงกดต่อชิ้นงานจนถึงสุดการยุบตัว จากกราฟพบว่าผลการทดลองจริงค่าภาระสูงสุดเท่ากับ 25.94 kN และมีค่าภาระเฉลี่ยเท่ากับ 8.9 kN ในส่วนแบบจำลองพบว่า ค่าภาระสูงสุดเท่ากับ 30.89 kN ค่าภาระเฉลี่ยเท่ากับ 8.70 kN จากการตั้งเกตผลการทดลองจริงพบว่ากราฟมีแนวโน้มลดลงอย่างมาก เมื่อชิ้นงานมีการยุบตัวมากๆ ซึ่งเกิดจากลักษณะการเรียงเส้นใยในแนวเฉียง เมื่อรับภาระในแนวแกนทำให้เส้นใยเกิดการแตกหัก ส่งผลให้การรับภาระลดลง เมื่อเปรียบเทียบกราฟที่ได้จากการทดลอง พนบว่ามีแนวโน้มสูงกว่าแบบจำลองทาง FEA และพบว่าค่าภาระเฉลี่ยของการทดลองสูงกว่าแบบจำลอง ประมาณ 6.67 %



ภาพที่ 4.8 ความสัมพันธ์ระหว่างภาระและระยะยุบตัวภายใต้แรงกระทำกึ่งคงที่ของชิ้นงาน B

4.1.6 การตอบสนองของชิ้นงาน C

จากภาพ 4.9 พบร้าฟแบบจำลองสูงกว่าผลการทดลองจริงโดยพบว่า เมื่อชิ้นงานรับภาระกดในแนวแกน จนกระทั่งถึงภาระสูงสุด กราฟจะตกลงอย่างรวดเร็ว หลังจากนั้นกราฟมีลักษณะเป็นคลื่นสลับกัน ซึ่งเกิดจากแรงด้านและแรงกดต่อชิ้นงาน จนกระทั่งชิ้นงานยุบตัวสุดท้าย ลักษณะของกราฟเกิดจากการเรียงตัวของเส้นไขในแนวตั้งคือ 0 องศา ทำให้สามารถรับแรงในแนวแกนโดยตรงในส่วนของการเรียงตัวของเส้นไขแนวเฉียง (45/-45) และแนวขวาง 90 องศา ทำหน้าที่รับภาระและประคองให้เส้นไขแนวตั้งรับภาระแนวแกนได้สูงสุด จากการสังเกตพบว่ากราฟจากผลการทดลองมีค่าภาระสูงสุดเท่ากับ 29.96 kN และมีค่าภาระเฉลี่ยเท่ากับ 18.20 kN ส่วนผลของแบบจำลองค่าภาระสูงสุดเท่ากับ 24.58 kN ค่าภาระเฉลี่ยเท่ากับ 17.98 kN เมื่อพิจารณาเปรียบเทียบผลที่ได้จากการทดลองและแบบจำลองทาง FEA พบร้าค่าภาระเฉลี่ยของการทดลองสูงกว่าแบบจำลองเล็กน้อย โดยพบว่ามีค่ามากกว่าประมาณ 1.23 %

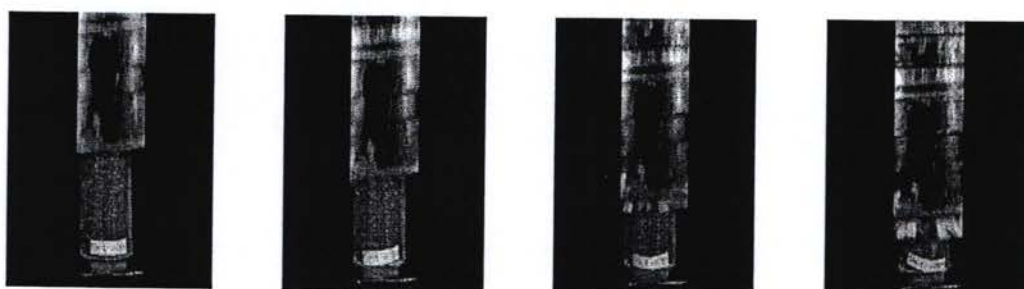


ภาพที่ 4.9 ความสัมพันธ์ระหว่างภาระและระยะยุบตัวภายใต้แรงกระทำกึ่งคงที่ของชิ้นงาน C

4.2 การตอบสนองของห่อต่อแรงกระแทก

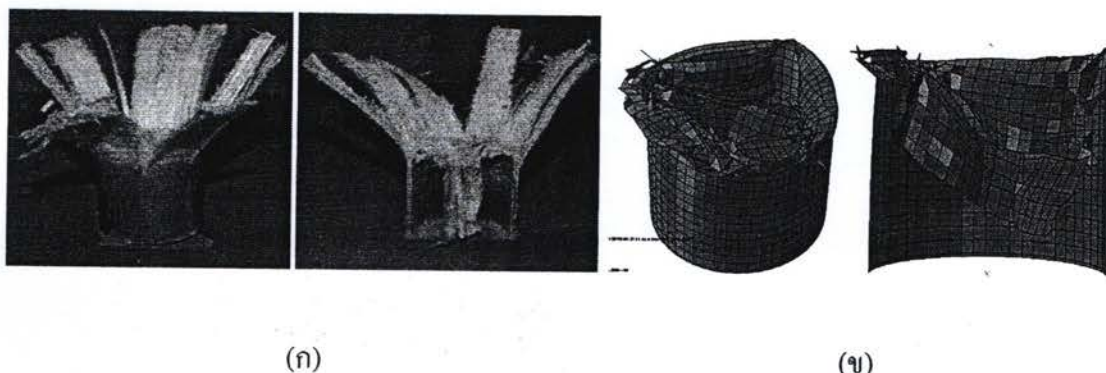
4.2.1 การเสียหายของชิ้นงาน A

จากภาพที่ 4.10 และ 4.11 (ก) แสดงรูปแบบการเสียหายของชิ้นงานภายใต้แรงกระแทกในแนวแกนของชิ้นงาน ที่มีลักษณะการเรียงตัวของเส้นไขในแนวตั้ง คือ 0 องศา แนววางคือ 90 องศา จากการทดลองพบว่าการเริ่มต้นเสียหายของชิ้นงานเริ่มที่ปลายด้านบน มีลักษณะแตกเป็นชิ้นเล็กและแยกออกเป็นสองส่วน ได้แก่ ส่วนแรกเส้นไขยุบเข้าด้านในชิ้นงาน และส่วนที่สองเส้นไขแยกออกด้านนอกและกางออกเป็นแฉก จากการสังเกตพบว่าเกิดจากการแยกกระหว่างชิ้นของเส้นไขที่ปลายด้านบนของชิ้นงานที่มีการเรียงตัวของเส้นไขในแนวตั้ง และแนววาง ซึ่งเป็นตัวบ่งชี้ระหว่างเส้นไขแนวตั้ง เมื่อรับภาระในแนวแกนจึงมีลักษณะการออกเป็นแฉก ประมาณ 7 – 8 แฉก ของชิ้นงาน



ภาพที่ 4.10 การเสียหายของชิ้นงานภายใต้แรงกระแทกของชิ้นงาน A

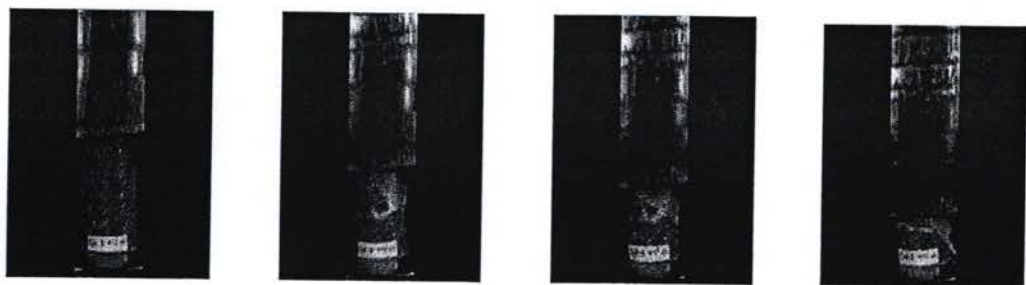
ผลจากแบบจำลองลักษณะการเสียหายเกิดขึ้นที่ด้านบนของชิ้นงาน มีลักษณะแตกต่างเดียด ดังภาพที่ 4.11 (x) เมื่อพิจารณารูปแบบการเสียหายสุดท้ายของชิ้นงานเปรียบเทียบระหว่างการทดลองและแบบจำลองทาง FEA พบว่าเมื่อเปรียบเทียบกับการทดลองการเริ่มต้นการเสียหายเกิดขึ้นที่ปลายด้านบนของชิ้นงาน ในส่วนของการฉีกขาดและบานออกเป็นแฉกมีลักษณะค่อนข้างแตกต่างกัน



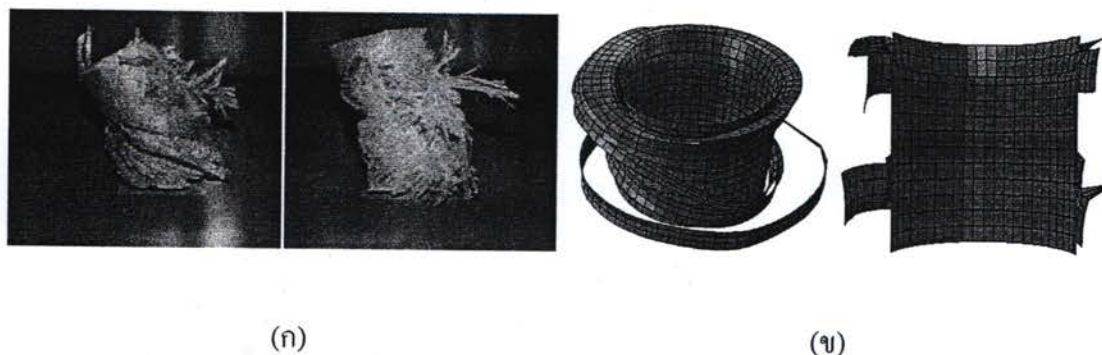
ภาพที่ 4.11 แบบการเสียหายสุดท้ายของชิ้นงาน A ภายใต้แรงกระแทก (ก) การทดลอง (ข) แบบจำลองทาง FEA

4.2.2 การเสียหายของชิ้นงาน B

จากภาพที่ 4.12 และ 4.13 (ก) เป็นการเสียหายของชิ้นงาน B ที่เกิดจากแรงกระแทก ซึ่งจากการทดลองพบว่าการเสียหายของชิ้นงานเกิดขึ้นที่ปลายด้านบนของชิ้นงาน ซึ่งมีลักษณะของเส้นใยแตกหักในแนวเฉียงของชิ้นงานในทิศทาง -45 องศา หลังจากนั้นมีชิ้นงานรับการเพิ่มมากขึ้น เกิดการเสียหายในทิศทาง 45 องศา และยุบตัวลงในลักษณะซ้อนกัน ซึ่งสาเหตุเกิดจากการเรียงตัวของเส้นใยภายในชิ้นงานมีลักษณะแนวเฉียง เมื่อรับภาระในแนวแกนทำให้เส้นใยรับภาระได้ต่ำ ในกรณีของผลกระทบการจำลองซึ่งแสดงในภาพที่ 4.13 (ข) พบว่า การเสียหายมีลักษณะยุบตัวลงซ้อนกันและแตกออกเป็นชิ้น เมื่อพิจารณารูปแบบการเสียหายจากการทดลองเทียบกับแบบจำลองทาง FEA พบว่ามีลักษณะการเสียหายที่สอดคล้องกัน



ภาพที่ 4.12 การเสียหายของชิ้นงานภายใต้แรงกระแทกของชิ้นงาน B



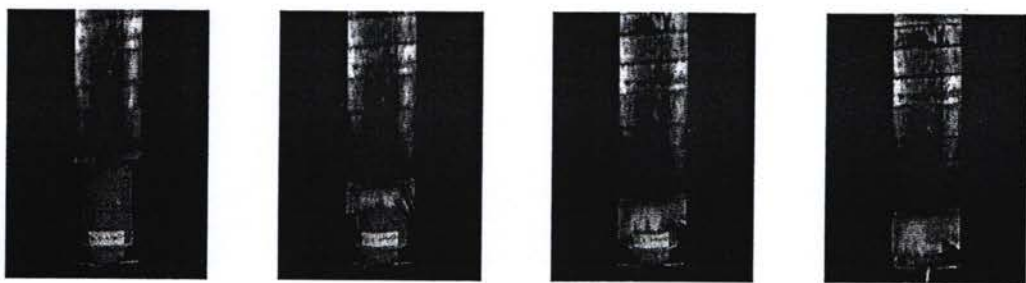
(ก)

(ข)

ภาพที่ 4.13 แบบการเสียหายสุดท้ายของชิ้นงาน B ภายใต้แรงกระแทก (ก) การทดลอง
(ข) แบบจำลองทาง FEA

4.2.3 การเสียหายของชิ้นงาน C

จากภาพที่ 4.14 และ 4.15 (ก) พบร่วมกับการเริ่มต้นการเสียหายเกิดขึ้นที่ด้านบนของชิ้นงาน ซึ่งมีลักษณะบานและแยกออกเป็นสองส่วน คือ ส่วนแรกเส้นไขยุบเข้าด้านในชิ้นงาน และส่วนที่สองเส้นไขแยกออกและการอ่อนอกชิ้นงาน สาเหตุเกิดจากการแยกชั้นเส้นไขที่ปลายด้านบนของชิ้นงานเส้นไขแนวเฉียงเกิดการพับเข้าไปในชิ้นงาน และเส้นไขแนวตั้งและแนวเฉียงมีลักษณะแตกกระจาย ผลของแบบจำลองดังภาพที่ 4.15 (ข) พบร่วมกับลักษณะแตกออกจากกันและส่วนหนึ่งยุบเข้าด้านในของชิ้นงาน เมื่อพิจารณารูปแบบการเสียหาย จากการทดลองพบว่าชิ้นงานเริ่มต้นการเสียหายที่ปลายด้านบนของชิ้นงานและมีการแตกตามแนวเส้นไข เมื่อเปรียบเทียบกับแบบจำลอง FEA พบร่วมกับลักษณะที่สอดคล้องกัน



ภาพที่ 4.14 การเสียหายของชิ้นงานภายใต้แรงกระแทกของชิ้นงาน C



(ก)

(ข)

ภาพที่ 4.15 แบบการเสียหายสุดท้ายของชิ้นงาน C ภายใต้แรงกระแทก (ก) การทดลอง
(ข) แบบจำลองทาง FEA

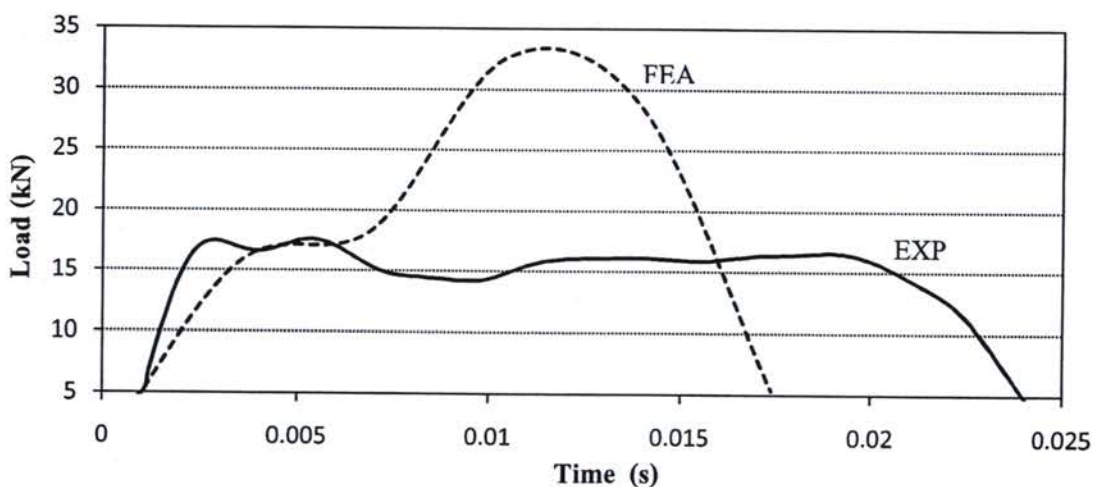
ทั้งนี้เพื่อให้จ่ายต่อการเปรียบเทียบเงื่อนไขเดียวกันในการเสียหายของชิ้นงาน ภายใต้แรงกระแทก ที่ได้จากการทดลองเปรียบเทียบกับผลจากแบบจำลองดังแสดงในตารางที่ 4.2

ตารางที่ 4.2 สรุปผลการทดลองและแบบจำลองการเสียหายของชิ้นงานภายใต้แรงกระแทก

ชิ้นงาน	รูปแบบการเสียหายจากการทดลอง		รูปแบบการเสียหายจากการจำลอง	
A				
B				
C				

4.2.4 การตอบสนองของชิ้นงาน A

จากภาพที่ 4.16 แสดงความสัมพันธ์ระหว่างภาระกับเวลาภัยได้แรงกระแทกโดยในแกนตั้งเป็นค่าของภาระและในแกนนอนเป็นเวลาเริ่มต้นจนสิ้นสุดของการบุบตัว พบว่า ในช่วงเริ่มต้นก่อนกราฟเริ่มเปลี่ยนแปลงความชันถือเป็นช่วงที่ชิ้นงานยังไม่เสียรูป ซึ่งผลการทดลองพบว่าชิ้นงานสามารถอพทนแรงกระแทกได้ถึง 17.60 kN และค่าภาระเฉลี่ยคือ 14.40 kN ในส่วนของแบบจำลอง พบว่าค่าภาระสูงสุดเท่ากับ 32.60 kN และค่าภาระเฉลี่ยเท่ากับ 16.79 kN แล้วจากนั้นกราฟมีลักษณะแกว่งตัวคลื่นจนสิ้นสุดการกระแทก เมื่อทำการเปรียบเทียบผลที่ได้จากการทดลองและแบบจำลองทาง FEA พบว่าค่าภาระเฉลี่ยของการทดลองต่ำกว่าแบบจำลองประมาณ 16.59%

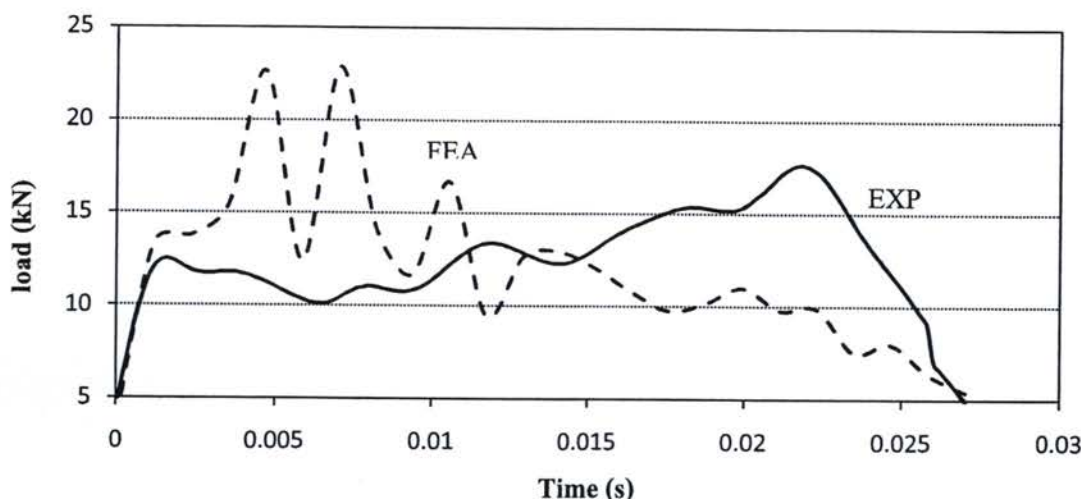


ภาพที่ 4.16 ความสัมพันธ์ระหว่างภาระและเวลาภัยได้แรงกระแทกของชิ้นงาน A

4.2.5 การตอบสนองของชิ้นงาน B

จากภาพที่ 4.17 ผลการทดลองพบว่าช่วงเริ่มต้นของกราฟไปจนถึงจุดเริ่มเปลี่ยนแปลงความชันถือเป็นช่วงที่ชิ้นงานยังไม่เสียรูป ซึ่งพบว่าชิ้นงานสามารถอพทนแรงสูงสุด คือ 12.49 kN จากนั้นกราฟมีแนวโน้มคลื่นจนสิ้นสุดการกระแทก ซึ่งสามารถดูได้จากน้ำหนักขณะกราฟมีแนวโน้มสูงขึ้น มีลักษณะเป็นคลื่นสลับกันจนถึง 17.63 kN จนสิ้นสุดการกระแทก ซึ่งสามารถเดาได้จากช่วงระยะเวลา $0 - 0.007 \text{ s}$ เป็นช่วงที่ชิ้นงานสามารถอพทนแรงได้ และหลังจาก $0.007 - 0.027 \text{ s}$ เป็นช่วงที่ชิ้นงานไม่สามารถอพทนแรงได้ และค้อนยังมีแรงเฉียบแหลมอยู่ทำให้แรงกระทำกับโอลด์เซลล์ จึงทำให้กราฟมีแนวโน้มสูงขึ้น ผลของแบบจำลองพบว่า กราฟจากแบบจำลองมีค่าสูงกว่าการทดลอง โดยพบว่าค่าภาระสูงสุดช่วงแรกเท่ากับ 13.79 kN และค่าภาระสูงสุดเท่ากับ 22.63 kN ใน

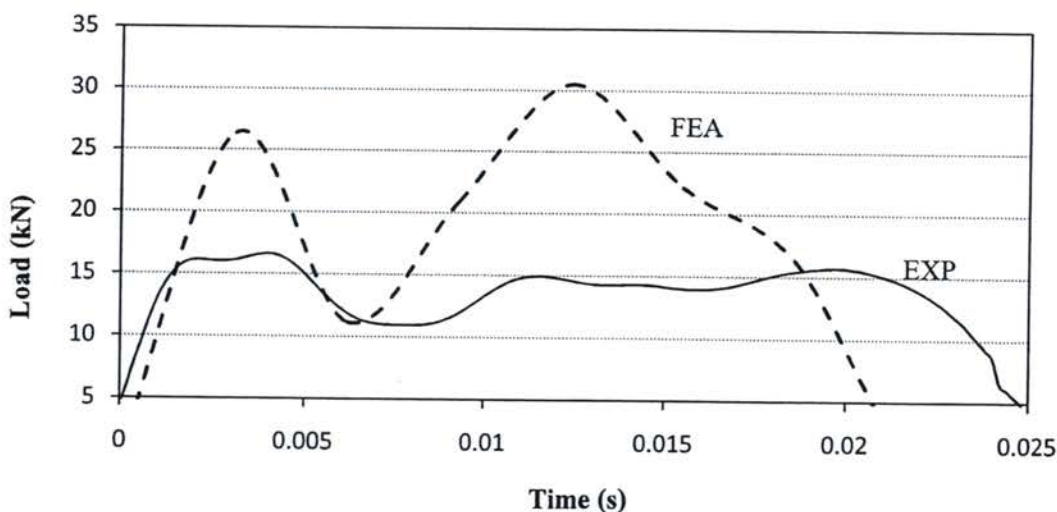
ส่วนลักษณะของกราฟในช่วงแรกชัน จากนั้นกราฟเปลี่ยนแปลงความชันและสูงขึ้นสลับฟันปลา ซึ่งเกิดจากแรงต้านและยุบตัวของชิ้นงาน เมื่อพิจารณาค่าภาระเฉลี่ยที่ได้จากการทดลองพบว่ามีค่าน้อยกว่าแบบจำลองประมาณ 0.42 %



ภาพที่ 4.17 ความสัมพันธ์ระหว่างภาระและเวลาภายใต้แรงกระแทกของชิ้นงาน B

4.2.6 การตอบสนองของชิ้นงาน C

จากภาพที่ 4.18 แสดงกราฟผลการทดลองของชิ้นงาน C ภายใต้ภาระกระแทกในแนวแกน พนว่าช่วงแรกของกราฟมีค่าภาระสูงสุดเท่ากับ 15.00 kN หลังจากนั้นกราฟมีลักษณะแปรผันและมีค่าภาระสูงสุดเท่ากับ 16.62 kN จากนั้นกราฟมีลักษณะลดลงอย่างรวดเร็วและแกว่งตัวจนสิ้นสุดการยุบตัว ผลจากแบบจำลองพบว่า กราฟของแบบจำลองสูงกว่าผลการทดลอง ค่าภาระสูงสุดช่วงแรกเท่ากับ 26.37 kN และค่าภาระสูงสุดเท่ากับ 30.51 kN ซึ่งลักษณะของกราฟช่วงแรกมีแนวโน้มสูงขึ้น หลังจากนั้นกราฟตกลงอย่างรวดเร็วและมีลักษณะสลับฟันปลา เมื่อพิจารณาเปรียบเทียบกับการทดลอง พนว่าค่าภาระเฉลี่ยของแบบจำลองสูงกว่าการทดลองประมาณ 13.20 %



ภาพที่ 4.18 ความสัมพันธ์ระหว่างภาระและเวลาภายใต้แรงกระแทกของชิ้นงาน C

4.3 ความสามารถในการดูดซับพลังงาน

4.3.1 ความสามารถในการดูดซับพลังงานภายใต้แรงกระทำแบบกึ่งคงที่

ตารางที่ 4.3 แสดงผลการคำนวณที่ได้จากการทดลองของชิ้นงานภายใต้แรงกระทำกึ่งคงที่ที่มีการเรียงตัวของเส้นใยทั้งหมด 3 แบบ ชิ้นงาน A คือ $[(0/90)/(0/90)/(0/90)]$ ชิ้นงาน B คือ $[(45/-45)/(45/-45)/(45/-45)]$ และชิ้นงาน C $[45/-45]/[0/90]/[45/-45]$ พบว่า ชิ้นงาน A สามารถดูดซับพลังงานได้เท่ากับ 1.52 kN.m ชิ้นงาน B สามารถดูดซับพลังงานได้เท่ากับ 0.48 kN.m และชิ้นงาน C สามารถดูดซับพลังงานเท่ากับ 1.09 kN.m . ดังนั้นจะเห็นว่า ชิ้นงาน A จะสามารถดูดซับพลังงานจากการกระทำแบบกึ่งคงที่ได้ดีกว่าชิ้นงาน B ประมาณ 190.56% และดีกว่าชิ้นงาน C ประมาณ 46.97% ในส่วนของการสามารถในการดูดซับพลังงาน จำเพาะพบว่า ชิ้นงาน A มีค่าเท่ากับ 29.80 kN.m/kg ชิ้นงาน B เท่ากับ 8.89 kN.m/kg และชิ้นงาน C เท่ากับ 20.56 kN.m/kg ดังนั้นจะเห็นว่า ชิ้นงาน A สามารถดูดซับพลังงานจำเพาะได้มากกว่า ชิ้นงาน B เท่ากับ 235.20% และชิ้นงาน C เท่ากับ 44.94% จากตารางดังกล่าวเห็นได้ว่า ชิ้นงาน A จะสามารถดูดซับพลังงานได้ดีกว่าชิ้นงานอื่นๆ เนื่องจากชิ้นงาน A มีเส้นใยในแนว 0 องศา ที่สามารถรับแรงกดได้โดยตรง

ผลของแบบจำลองพบว่า ชิ้นงาน A สามารถดูดซับพลังงานจำเพาะได้ 29.00 kN.m/kg และชิ้นงาน B เท่ากับ 10.44 kN.m/kg และชิ้นงาน C เท่ากับ 21.40 kN.m/kg ดังนั้นจะเห็นได้ว่า ชิ้นงาน A มีความสามารถดูดซับพลังงานได้มากกว่าชิ้นงาน B เท่ากับ 177.00% และชิ้นงาน C เท่ากับ 35.51% ตามลำดับ

เมื่อเปรียบเทียบผลที่ได้จากการทดลองและแบบจำลองทาง FEA พนว่าค่าพลังงานคุณภาพที่ได้ชิ้นงาน A จากการทดลองสูงกว่าแบบจำลองประมาณ 2.75 % ส่วนชิ้นงาน B และชิ้นงาน C พนว่าผลจากแบบจำลองสูงกว่าการทดลองคือ 17.43 % และ 4.08 % ตามลำดับ เมื่อเปรียบเทียบผลการทดลองและแบบจำลองทาง FEA พนว่าชิ้นงาน A มีลักษณะการเสียหายจากการทดลองและแบบจำลองที่ค่อนข้างแตกต่างกัน ทำให้ผลการทดลองสูงกว่าแบบจำลอง FEA พนว่าชิ้นงาน A มีค่าพลังงานคุณภาพสูงกว่าชิ้นงานอื่นๆ

4.3.2 ความสามารถในการคุณภาพพลังงานภายใต้แรงกระแทก

จากตารางที่ 4.3 แสดงผลการคำนวณค่าพลังงานคุณภาพและพลังงานคุณภาพจำเพาะภายใต้แรงกระแทกในแนวแกน พนว่า ชิ้นงาน A สามารถคุณภาพพลังงานเท่ากับ 0.86 kN.m ชิ้นงาน B เท่ากับ 0.47 kN.m และชิ้นงาน C เท่ากับ 0.76 kN.m ดังนั้นจะเห็นว่า ชิ้นงาน A สามารถคุณภาพพลังงานได้มากกว่า ชิ้นงาน B และ ชิ้นงาน C เท่ากับ 82.97 % และ 13.15 % ตามลำดับ เมื่อพิจารณาค่าพลังงานคุณภาพของโครงสร้างพบว่าชิ้นงาน A สามารถคุณภาพพลังงานได้ เท่ากับ 17.55 kN.m/kg ชิ้นงาน B เท่ากับ 9.03 kN.m/kg และชิ้นงาน C เท่ากับ 14.60 kN.m/kg จะเห็นได้ว่าชิ้นงาน A สามารถคุณภาพพลังงานจำเพาะได้มากกว่าชิ้นงาน B และชิ้นงาน C ประมาณ 94.35% และ 20.12% ตามลำดับ

ผลของแบบจำลองพบว่า ชิ้นงาน A สามารถคุณภาพพลังงานจำเพาะได้ 20.14 kN.m/kg และชิ้นงาน B เท่ากับ 9.40 kN.m/kg และ ชิ้นงาน C เท่ากับ 17.20 kN.m/kg ดังนั้นจะเห็นได้ว่าชิ้นงาน A มีความสามารถคุณภาพพลังงานจำเพาะได้มากกว่าชิ้นงาน B เท่ากับ 114.24 % และชิ้นงาน C เท่ากับ 17.29 % ตามลำดับ

เมื่อทำการเปรียบเทียบผลที่ได้จากการทดลองและแบบจำลองทาง FEA พนว่าค่าพลังงานคุณภาพที่ได้จากแบบจำลองทาง FEA นั้นมีค่าสูงกว่าค่าที่ได้จากการทดลอง โดยพนว่ามีค่ามากกว่าประมาณ 4.09 % - 17.72 % และจากการเปรียบเทียบผลการทดลองและแบบจำลองทาง FEA จะเห็นว่า ชิ้นงาน A มีลักษณะการเสียหายค่อนข้างแตกต่างกัน ส่วนชิ้นงาน B และชิ้นงาน C มีลักษณะการเสียหายที่สอดคล้องกัน และเมื่อเปรียบเทียบพลังงานคุณภาพจำเพาะพบว่าชิ้นงาน A มีค่าสูงสุด ซึ่งเกิดจากอิทธิพลของเส้นใยที่มีการวางแผน 0 องศา ทำให้สามารถรับแรงในแนวแกนได้ดีกว่ามุมอื่นๆ

ตารางที่ 4.3 ความสามารถในการดูดซับพลังงานภายใต้การกระทำในแนวแกน

ชนิดงาน	น้ำหนัก (kg)	ระยะยาวย (m)	ผลจากการทดสอบ			ผลจากแบบจำลองทาง FEA		
			กำลังเฉลี่ย (kN)	พลังงานดูดซับ (kN.m)	พลังงานดูดซับต่อหน่วย (kN.m/kg)	กำลังเฉลี่ย (kN)	พลังงานดูดซับ (kN.m)	พลังงานดูดซับต่อหน่วย (kN.m/kg)
การกีดกัน								
A	0.05	0.06	25.32	1.52	29.80	24.29	1.45	29.00
B	0.05	0.06	8.12	0.48	8.89	8.70	0.52	10.44
C	0.05	0.06	18.20	1.09	20.56	17.98	1.07	21.40
แรงกระแทก								
A	0.05	0.06	14.40	0.86	17.55	16.79	1.01	20.14
B	0.05	0.04	11.72	0.47	9.03	11.77	0.47	9.40
C	0.05	0.06	12.65	0.76	14.61	14.32	0.86	17.20

บทที่ 5

สรุปผลการศึกษาและข้อเสนอแนะ

5.1 สรุปผลการศึกษา

จากการศึกษาสามารถสรุปได้ว่า ผลทดลองและแบบจำลองทาง FEA ภายใต้การกระทำแบบกึ่งคงที่ พบร่วมกับชิ้นงานมีลักษณะการเสียหายอยู่สามรูปแบบคือ (1) การเสียหายแบบแตกและบานแยกออกเป็นแฉกซึ่งเกิดจากอิทธิพลของเส้นไขในแนวดังตัวที่สามารถรับภาระในแนวแกนโดยตรง และอิทธิพลเส้นไขในแนวห่วงทำหน้าที่ประคองให้เส้นไขในแนวตั้งให้รับภาระแนวแกน (2) การเสียหายแบบบุบตัวตามแนวเฉียงของเส้นไข ซึ่งเกิดจากการเรียงตัวของเส้นไขในแนวเฉียง เมื่อรับภาระในแนวแกนทำให้เส้นไขเกิดการแตกหักตลอด จนสิ้นสุดการบุบตัว และ (3) การเสียหายแบบแตกและบานออกเป็นพุ่ม ซึ่งเกิดจากอิทธิพลของเส้นไขในแนวตั้งหรือ มุม 0 องศา ทำให้รับภาระในแนวแกนโดยตรง และอิทธิพลของเส้นไขในแนวเฉียง ทำหน้าที่ประคองเส้นไขในแนวตั้งและรับภาระในแนวแกน

สำหรับผลทดลองและแบบจำลองทาง FEA ภายใต้แรงกระแทก พบร่วมกับชิ้นงานมีลักษณะการเสียหายอยู่สามรูปแบบคือ การเสียหายแบบแตกและบานแยกออกเป็นแฉก การเสียหายแบบบุบตัวตามแนวเฉียงของเส้นไข และ การเสียหายแบบแตกและบานคล้ายกับการทดลอง

ในด้านความสามารถในการดูดซับพลังงานภายใต้การกระทำแบบกึ่งคงและภายใต้แรงกระแทก พบร่วมกับชิ้นงาน A ที่มีมุมของเส้นไข คือ [(0/90)/(0/90)/(0/90)] สามารถดูดซับพลังงานจำเพาะได้มากกว่าชิ้นงานอื่นๆ ซึ่งเป็นผลมาจากการเรียงเส้นไขของมุม 0 องศา มีทิศทางในการรับแรงในแนวแกนโดยตรง และมุม 90 องศา ทำหน้าที่ประคองให้เส้นไขมุม 0 องศา ไม่ให้แยกออกจากกัน

5.2 ข้อเสนอแนะ

เนื่องจากการศึกษานี้ทดลองภายใต้การกระทำในแนวแกนเท่านั้น ผู้วิจัยจึงขอเสนอแนวทางวิจัยต่อไปดังนี้

5.2.1 ทดสอบชิ้นงานภายใต้การคัด และการบิด

5.2.2 เลือกใช้เส้นไขแก้ว และเรซิ่น ชนิดอื่นๆ

5.2.3 ศึกษาฟังก์ชันการเรียงตัวของเส้นไขที่มีการเรียงทับซ้อนและลักษณะนูนพันต่างๆ จากโปรแกรมทางโปรแกรมไฟในดีโอลิเมนต์

เอกสารอ้างอิง

เอกสารอ้างอิง

- [1] วิริยะ ทองเรือง. วิศวกรรมพอลิเมอร์. พิมพ์ครั้งที่ 1. สงขลา : หน่วยเทคโนโลยีการศึกษา คณะวิศวกรรมศาสตร์ มหาวิทยาลัยสงขลานครินทร์, 2554.
- [2] ณรงค์ศักดิ์ ธรรมโภดhi. วัสดุวิศวกรรม. พิมพ์ครั้งที่ 1. กรุงเทพฯ : จีเอ็คบุ๊คชั่น, 2549.
- [3] ชาลิต ถินวงศ์พิทักษ์, ชาคริต โพธิ์งาม. “การศึกษาการเสียหายของชิ้นส่วนโครงสร้างรถยกโดยสารที่ผลิตภายใต้แรงกระแทก” มหาวิทยาลัยอุบลราชธานี ปี 2548-2549. คณะวิศวกรรมศาสตร์ : มหาวิทยาลัยอุบลราชธานี, 2555.
- [4] Thinvongpituk, C. The behavior of non-constant thickness conical shells under axial loading. Doctor's Thesis Manchester: University of Manchester Institute of Science and Technology (UMIST), 2002.
- [5] ปราโมทย์ เดชะอิ่มไพร. ไฟในต่ออุปกรณ์ในงานวิศวกรรม. พิมพ์ครั้งที่ 3. กรุงเทพฯ : สำนักพิมพ์แห่งจุฬาลงกรณ์มหาวิทยาลัย, 2547.
- [6] Nagel, G.M. and D.P. Thambiratnam. “A numerical study on impact response and energy absorption of tapered thin-wall tubes”, Int J Mech Sci. 46 (2): 201-216, 2004.
- [7] Nagel, G.M. and D.P. Thambiratnam. “Dynamic simulation and energy absorption of tapered thin-wall tubes under oblique impact loading”, Int J Impact Engng. 32 (10): 1595-1620, 2006.
- [8] Nagel, G.M. and D.P. Thambiratnam. “Computer simulation and energy absorption of tapered thin-walled rectangular tubes”, Thin-wall Structures. 43 (8): 1225-1242, 2005.
- [9] S.R. Reid, and T.Y. Reddy. “Static and Dynamic crushing of tapped sheet metal tubes of rectangular crosssection”, Int.J.Mech.csi. 28 (9): 623-637, 1996.
- [10] A.G. Mamalis and et al. “The static and dynamic axial crumbling of thin-walled fiberglass composite square tubes”, Composite Part B. 28 B (4): 439-451, 1997.
- [11] A.G. Mamalis, and et al. “The static and dynamic axial collapse of fiberglass composite automotive frame rails”, Composite Structures. 34 (1): 77-90, 1996.
- [12] A.G. Mamalis. and et al. “Analysis of Failure mechanisms Observed in Axial Collapse of Thin-Walled Circular Fiberglass Composite Tubes”, Composite Structures. 24 (4): 335-352, 1996.

เอกสารอ้างอิง (ต่อ)

- [13] A.G. Mamalis. and et al. "Analytical modeling of the static and dynamic axial collapse of thin-walled fiberglass composite conical shells", Composite Structures. 19 (5-6): 477-492, 1997.
- [14] Young Nam Kim and et al. "Impact Collapse Characteristics of CF/Epoxy Composite Tubes for Light-Weights", KSME International Journal. 17 (1): 48-56, 2003.
- [15] M.R. Bambach. and et al. "Composite steel-CFRP SHS tubes under axial impact", Composite Structures. 87 (3): 282-292, 2009.
- [16] M. M. Shokrieh. and et al. "Effect of fiber orientation and cross section of composite tubes on their energyabsorption ability axial dynamic loading", Mechanics of Composite Materials. 45 (6): 567-576, 2009.
- [17] C.Milan and et al. "Finite element calculation of a press fit joint between a composite materials tube and an aluminum cylinder", Composite material. 6 (6): 369-380, 1999.
- [18] Paolo Feraboli, and et al. "Crush energy absorption of composite channel section specimens", Composites : Part A. 40 (8): 1248–1256, 2009.
- [19] S. Solaimurugan, R. Velmurugan. "Influence of fibre orientation and stacking sequence on petalling of glass/polyester composite cylindrical shells under axial compression", International Journal of Solids and Structures. 44 (21): 6999–7020, 2007.
- [20] พิพัฒน์ ไฟศากาภย์มาศ และวิชัย รุ่งเรืองอนันต์. การศึกษาความสัมพันธ์ระหว่างรูปแบบ การพันกับค่าความต้านทานแรงกระแทกของถังไฟเบอร์กลาส, คณะวิศวกรรมศาสตร์ : มหาวิทยาลัยเทคโนโลยีพระจอมเกล้าพระนครเหนือ, 2550.
- [21] Jaehong Lee. and et al. "Experimental characterization of pultruded GFRP bridge deck for light-weight vehicles", Composite Structures. 80 (1): 141–151, 2007.
- [22] สุรศักดิ์ สุวรรณแดง และคณะ "การจำลองพฤติกรรมไม่เชิงเส้นของงานที่ทำจากวัสดุผสมของพลาสติกกับฟลีเมียไนด์ด้วยโปรแกรม ABAQUS", ในการประชุมวิชาการด้าน พลังงานสิ่งแวดล้อมและวัสดุ ครั้งที่ 1. กรุงเทพฯ : โรงเรียนโรงเรียนเคหะทวินทาวเวอร์, 2550.

เอกสารอ้างอิง (ต่อ)

- [23] M.Golzar, M.Poorzeinolabedin. “Prototype fabrication of a composite automobile body based on integrated structure”, International Journal manufacturing technology. 49(9-12): 1037-1045, 2010.
- [24] S.M.R. Khalili and et al “Finite element modeling of low-velocity impact on laminated composite platesand cylindrical shells”, Composite Structures. 93 (5): 1363–1375, 2011.
- [25] Chien-Hua Huang, Ya-Jung Lee. “Experiments and simulation of the static contact crush of composite laminated plates”, Composite Structures. 61 (3): 265-270, 2003.

ภาคผนวก

ผลงานตีพิมพ์

- [1] วิศิษฐ์ จันทร์ชื่น, นิรุต อ่อนสุ่ง, ชวิติ ถินวงศ์พิทักษ์ และ สมญา ภูนยะ. การศึกษาพฤติกรรมการตอบสนองของห่อไฟเบอร์กลาสต่อแรงกดในแนวแกนแบบกึ่งคงที่และแบบไม่คงที่. การประชุมเครือข่ายวิศวกรรมเครื่องกลแห่งประเทศไทย ครั้งที่ 25. 19-21 ตุลาคม 2554: กระปุ๊. มหาวิทยาลัยเกษตรศาสตร์. Paper no. AMM49
- [2] วิศิษฐ์ จันทร์ชื่น, ชวิติ ถินวงศ์พิทักษ์ และ สมญา ภูนยะ. การศึกษาพฤติกรรมการตอบสนองของห่อไฟเบอร์กลาสภายใต้แรงกระแทกในแนวแกน. การประชุมเครือข่ายวิศวกรรมเครื่องกลแห่งประเทศไทย ครั้งที่ 26. 24-27 ตุลาคม 2555: เชียงราย. มหาวิทยาลัยเทคโนโลยีพระจอมเกล้าธนบุรี. Paper no. AMM2012
- [3] วิศิษฐ์ จันทร์ชื่น, ชวิติ ถินวงศ์พิทักษ์, สมญา ภูนยะ และ รัชดา โสภาคะยัง. การศึกษาพฤติกรรมการตอบสนองของห่อไฟเบอร์กลาสภายใต้แรงกดในแนวแกน. วารสารวิศวกรรม มข. ปีที่ 41 ฉบับที่ 3 ประจำเดือน กรกฎาคม-กันยายน 2557.

การประชุมวิชาการเครือข่ายวิศวกรรมเครื่องกลแห่งประเทศไทย ครั้งที่ 25
19-21 ตุลาคม 2554 จังหวัดกรุงเทพมหานคร

การศึกษาพฤติกรรมการตอบสนองของท่อไฟเบอร์กลาสต่อแรงกดในแนวแกนแบบกึ่งคงที่และแบบไม่คงที่

The Study of Crashworthiness Behavior of Fiberglass Tube Subjected to Quasi- Static and Dynamic Axial Compression

วิชัยรุจ จันทร์ชื่น^{1,*}, นิรุต อ่อนสลุง¹, ชาลิต ถินวงศ์พิทักษ์¹ และ สมญา ภูนยะ²

¹ภาควิชาวิศวกรรมเครื่องกล คณะวิศวกรรมศาสตร์ มหาวิทยาลัยอุบลราชธานี อ.วารินชำราบ
จ.อุบลราชธานี 34190

²ภาควิชาวิศวกรรมเครื่องกล คณะวิศวกรรมศาสตร์ มหาวิทยาลัยสยาม กรุงเทพมหานคร 10160

* E-mail: unicorn_ton@hotmail.com โทรศัพท์: 045 353 308, โทรสาร: 045 353 309

บทคัดย่อ

ปัจจุบันการผลิตโครงสร้างของยานพาหนะในด้านอุดสาหกรรมยานยนต์และการบินได้ถูกสร้างจากวัสดุหลากหลาย เช่น เหล็กหรืออะลูминียมเป็นต้น แต่เนื่องจากวัสดุเหล่านี้มีน้ำหนักมากและยังมีปัญหาในด้านการสักกร่อน ดังนั้นจึงมีความพยายามหาวัสดุอื่นๆเพื่อใช้ทดแทน ซึ่งวัสดุประกอบก็เป็นอีกหนึ่งทางเลือกที่ถูกใช้เป็นโครงสร้างทดแทนกันอย่างกว้างขวาง เนื่องจากคุณสมบัติด้านการคุณภาพดี ทนทาน สามารถปรับปรุงและเพิ่มความแข็งแรงได้ จึงสามารถลดแรงกระแทกจากการชนได้ และมีความสามารถในการดูดซับพลังงานสูงเมื่อเปรียบเทียบกับมวลของโครงสร้าง งานวิจัยนี้จึงมีวัตถุประสงค์เพื่อศึกษาพฤติกรรมการตอบสนองของท่อไฟเบอร์กลาสต่อแรงกดในแนวแกน ซึ่งแรงที่ใช้ในการศึกษาเป็นแรงกระทำแบบกึ่งคงที่ (Quasi Static Load) และแบบไม่คงที่ (Dynamic Load) ซึ่งงานที่ใช้ในการศึกษาถูกพันด้วยเส้นไข้เก้าที่มีการเรียงทับซ้อนและมุ่งไขว้ที่แตกต่างกันขึ้นรูปจาก E-glass/polyester มุนการไข้ข่องเส้นไข 3 แบบคือ 0/90, 45/-45 และ 0/90/45 ความลำดับขนาดของท่อมีเส้นผ่าวนศูนย์กลางภายนอกคือ 52 mm. ความหนาคือ 3 mm. และความยาวคือ 100 mm. ในการทดสอบซึ่งงานนี้ได้ทำการทดสอบโดยใช้เครื่อง ESH Universal Testing Machine สำหรับการทดสอบแบบไม่คงที่โดยใช้ความเร็วในกระแทกคือ 6.8 m/s ผลการศึกษาพบว่า ในกรณีแรงกระทำแบบกึ่งคงที่ซึ่งงานที่มีมุ่งไข้ 45/-45 มีค่าพลังงานคุณภาพมากที่สุด ในขณะที่กรณีแรงกระทำแบบไม่คงที่ซึ่งงานที่มีมุ่งไข้ 0/90 มีค่าพลังงานคุณภาพมากที่สุด นอกจากนี้ในบทความยังไห้แสดงถึงผลกระทบของการเสียหายที่เกิดขึ้นอีกด้วย

คำหลัก: วัสดุประกอบ, การชน, การขับด้วย, การดูดซับพลังงาน

Abstract

Nowday, the structure of vehicles is made from various materials such as steel or aluminium. As a results of using steel or aluminium, the structure of vehicle is too heavy and has corrosion problem.

So, it is important for the researcher to find new material that is more appropriate for manufacturing vehicle structure. Composite Material is alternative material that is widely used for vehicle structure. Regarding to the properties of energy absorption of composite material that absorb higher energy and can be enstrengthen, so it improve reduce impact performance. Moreover, it can absorb higher energy compare to the structure mass. This research is purposed to study crashworthiness behavior of fiberglass tube subjected to quasi static load and dynamic axial compression. The specimen is made of fiberglass that lay-up in different angles in shape of E-glass/polyester. There are 3 cross angles of fiberglasses, including of 0/90, 45/-45 and 0/90/45. The tube has 52 mm outside diameter, 3 mm wall thickness, and 100 mm length. Quasi-Static Load test was done by ESH Universal Testing Machine and 10 mm/min crushing speed. Dynamic Load test was done by Vertical Impact Testing Machine, the impact speed was 6.8 m/s. The result show that in case of quasi-static load, the specimen with 45/-45 cross angle provides highest specific energy absorption. In case of dynamic Load, the specimen with 0/90 cross angle gives highest specific energy absorption. In addition, the collapse mode and response of specimens are also discussed in the paper.

Keywords: Composite Material, impact, Collapse, Energy absorption

1. บทนำ

ปัจจุบันวัสดุประกอบอุตสาหกรรมน้ำประภูมิเป็นโครงสร้างส่วนหน้าของรถขนาด์ในการป้องกันความเสียหายของโครงสร้างภายใต้การชน และ ความปลอดภัยของผู้โดยสาร [1] ความสามารถในการดูดซับพลังงานของวัสดุประกอบมีความสำคัญในการพัฒนา พลังงานที่ดูดซับซึ่งขึ้นอยู่กับดั้วแปร คือ ชนิดของเส้นใย เมตริกซ์ การเรียงทันซ้อนของมุน ไขว้เส้นใย รูปทรง และความเร็วในการทดสอบ [2] โดยทั่วไปโลหะหรืออะลูมิเนียม มีลักษณะการเสียหาย แบบพับ และ แบบงอ ซึ่งพลังงานที่กระชาขะถูกรวมทั้งหมดมาจุดเดียว ในแนวแคบๆ เมื่อเปรียบเทียบกับ วัสดุประกอบซึ่งมีลักษณะการเสียหาย แบบแตกเปราะเป็นชิ้นเล็ก ตลอดแนวแกนท่อในลักษณะคงที่ จึงส่งผลให้เกิดการกระชาด้วยของแรงได้มากกว่า [3] นอกจากนี้เนื่องจาก มีวัสดุประกอบน้ำหนักเบา ความแข็งแรง และความคงทน วัสดุประกอบเป็นอีกทางเลือกเพื่อทดแทนวัสดุเดิม [4] มีงานวิจัยที่ศึกษาผลของ ลักษณะการเสริมแรง รูปทรง มุน ไขว้ของเส้นใย อัตราการกด ที่นำไปสู่ความสามารถของการดูดซับพลังงานของท่อ

วัสดุประกอบ เช่น การศึกษาทดลองพฤติกรรมการเสียหายของโครงสร้างรถชนด้วยไฟแรงกระทำแบบคงที่และไม่คงที่ โครงสร้างหน้าตัด รูปทรงนาฬิกา ทรง รูปทรงกระบอก รูปทรงกรวย และรูปทรงสี่เหลี่ยม โดยขึ้นรูปจาก Fiber/vinylester ได้พิจารณา ศึกษา วิธีการเสียหายจากการสังเกต และใช้เครื่องขยายสูญญากาศ เพื่อหาคุณลักษณะการดูดซับพลังงาน เปรียบเทียบระหว่างการทดลองกับทฤษฎี [5-8] การศึกษาคุณลักษณะการบุบตัวของห่อวัสดุประกอบ ได้พิจารณาศึกษา ผลกระทบของโครงสร้าง ที่อัตราส่วนความหนาต่อเส้นผ่านศูนย์กลาง การเสริมแรงด้วยเส้นใย และ วิธีการ เสียหายทางกลของวัสดุประกอบ [9] การศึกษาผลของกระบวนการขึ้นรูป ด้วยระบบสูญญากาศ และ ไม่ใช้สูญญากาศ ในการดูดซับพลังงานของ glass/polyester พนวจชั้นงาน รูปทรงกระบอก ขึ้นรูปด้วยสูญญากาศ มีค่าดูดซับพลังงานจำเพาะสูงชั้นสองเท่า [4] การศึกษาอิทธิพล ของการดูดซับพลังงาน ของพื้นที่หน้าตัดภายใน กระทำในแนวแกน ได้พิจารณาศึกษา อิทธิพลของไข-

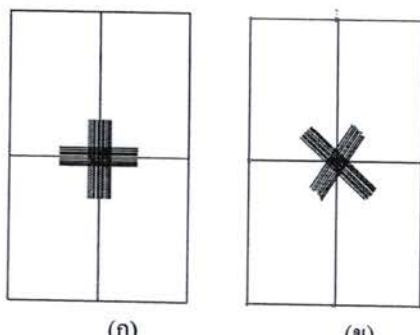
แก้วเสริมแรง พนว่าหน้าตัดทรงกระบอกดูดซับ พลังงานได้มากกว่าหน้าตัดสี่เหลี่ยม [10]

การศึกษานี้มีวัตถุประสงค์เพื่อศึกษา พฤติกรรมการตอบสนองของห่อไฟเบอร์กลาสต่อแรงกดในแนวแกน ซึ่งแรงที่ใช้ในการศึกษาเป็นแรง กระทำแบบกึ่งคงที่ (Quasi-Static Load) และแบบ ไม่คงที่ (Dynamic Load) ท่อที่ใช้ในการทดสอบเป็น ห่อรูปทรงกระบอก โดยศึกษาอิทธิพลของเส้นใยแก้ว ลักษณะวิธีการเสียหาย และความสามารถในการดูด ซับพลังงาน

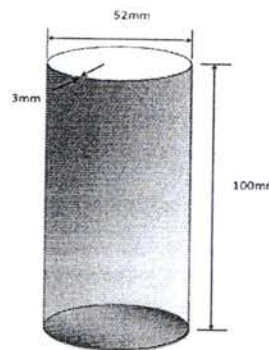
2. ขั้นตอนทดสอบและวิธีการทดลอง

2.1 ขั้นตอนทดสอบ

วัสดุประกอบประกอบด้วยสองส่วนคือ ส่วนเสริมแรงทำหน้าที่รับแรงหลักให้แก่โครงสร้าง ส่วนที่สองคือ เมทริกซ์ ทำหน้าที่ป้องกันการเสียหาย ของส่วนที่เสริมแรง และทำหน้าที่ส่งถ่ายแรงไปยัง ส่วนเสริมแรง ในการทดลองได้เลือกใช้พอลิเอสเทอร์ เรซินชนิดไอโซพทาลิก มีคุณสมบัติเชิงกลที่ดี ทนต่อ ความร้อน และสารเคมี เสริมแรงด้วยเส้นใยแก้วชนิด E-glass มีลักษณะเป็นเส้นยาวเหมือนด้าย ผ่านการพัน บีครวนเส้นแล้วนำไปห่อเป็นเส้นใย ในส่วนของการขึ้น รูป ขึ้นรูปด้วยวิธีแบบ Filament Winding มีลักษณะ พันรอบแม่พิมพ์เป็นท่อเหล็กในแนวนอน จากนั้น เส้นใยแก้วด้าย จะถูกแทะเรซิ่น แม่พิมพ์จะหมุนให้เส้น ไบพันรอบตามมุมไขว้ที่กำหนด และความหนาที่ ต้องการ



รูปที่ 1 แสดงถึงลักษณะของมุมไขว้ (g) นูนไขว้ที่ 0/90 องศา (h) นูนไขว้ที่ 45/-45 องศา



รูปที่ 2 แสดงถึงขนาดของตัวอย่างชิ้นงาน

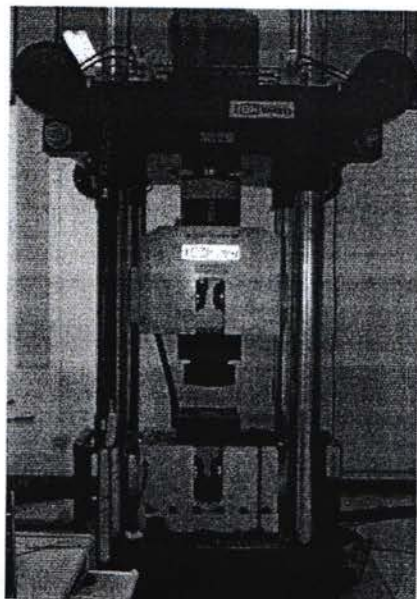
ชิ้นงานที่ใช้ในการศึกษาถูกพันด้วยเส้นใย แก้วที่มีการเรียงหักช้อนและมุมไขว้ที่ແຕกต่างกัน ขึ้น รูปจาก E-glass/polyester มุมการไขว้ของเส้นไข 3 แบบคือ 0/90, 45/-45 และ 0/90/45 ตามลำดับ ดังแสดง เป็นตัวอย่างในรูปที่ 1 ขนาดของห่อมีเส้นผ่า ศูนย์กลางภายนอกคือ 52 mm. ความหนาคือ 3 mm. และความยาวคือ 100 mm ดังแสดงในรูปที่ 2

2.2. วิธีการทดสอบ

2.2.1 การทดสอบแบบกระทำแบบคงที่

การทดสอบนี้ได้ดำเนินการโดยใช้ เครื่อง ทดสอบการทดสอบแบบกระทำแบบคงที่ ซึ่งมีชื่อว่า เครื่อง ESH Testing Limited ซึ่งเป็นเครื่องทดสอบที่ใช้ระบบ คอมพิวเตอร์กับระบบไฮดรอลิกส์ (Hydraulic) ในการ ควบคุมมีความสามารถถึง 2,000 KN และระยะ การ กดมากที่สุดคือ 200 mm สามารถบันทึกข้อมูลได้ทุกๆ 0.04 mm ผลที่ได้จากการทดสอบเป็นกราฟ ความสัมพันธ์ระหว่างแรงที่กระทำ (Load) และ ระยะทางในการยุบตัว (Displacement) สามารถบันทึก ผลการทดสอบ และแสดงเป็นกราฟได้ทันที รูปเครื่อง ทดสอบแสดงดังรูปที่ 3

ในการทดสอบส่วนนี้ชิ้นงานจะถูกกดใน แนวแกนด้วยความเร็วคงที่ 10 mm/min และกดลงมา จนกระแทกชิ้นงานเกิดการยุบตัว จากนั้นทำการ บันทึกค่าการะและระยะยุบตัวเพื่อไปทำการ วิเคราะห์ต่อไป



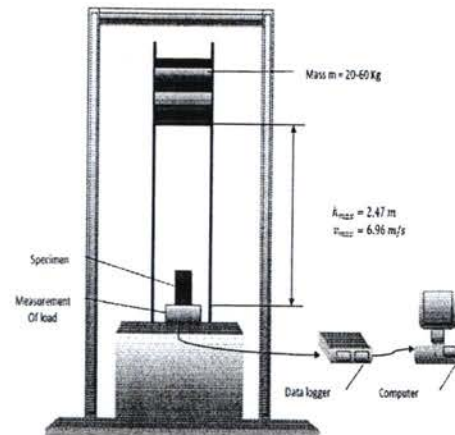
รูปที่ 3 แสดงเครื่องทดสอบการกดแบบกระทำแบบคงที่

2.2.2 การทดสอบการกระแทก

การทดสอบส่วนนี้ได้ดำเนินการโดยใช้เครื่อง Vertical Impact Testing Machine ซึ่งเป็นเครื่องทดสอบที่ใช้ระบบคอมพิวเตอร์กับแรงกระแทกของหัวค้อนจากเครื่องทดสอบ โดยความสูงของเครื่องทดสอบคือ 2.47 m น้ำหนักของมวลที่ใส่ลงในหัวค้อนสามารถถูกตั้งให้ระหว่าง 20-60 kg ในส่วนด้านการประมวลผลเครื่องจะมี โหลดเฉลี่ยที่มีความละเอียดในการบันทึกข้อมูล สูงสุดที่ 10,000 ค่าต่อวินาที เมื่อทดสอบโหลดเฉลี่ยจะถูกแปลงค่าของแรงไปเป็นสัญญาณไฟฟ้านำผลที่ได้ไปยัง Data logger เพื่อทำการบันทึกข้อมูล จากนั้นผลที่ได้จะเข้าสู่เครื่องคอมพิวเตอร์ เพื่อแปลงค่า โดยผลที่ได้จะเป็นความสัมพันธ์ระหว่าง แรงกระแทก (Load) และเวลา (Time) ซึ่งสามารถบันทึกผลการทดสอบ จากความสัมพันธ์นี้สามารถเขียนกราฟได้ รูปที่ 4 แสดงลักษณะของเครื่องทดสอบแรงกระแทก

ทดสอบภายใต้ภาระกระทำแบบคงที่โดยใช้ความเร็วในกระแทกคือ 6.8 m/s และน้ำหนักของหัวค้อนคือ 45 kg ความสูงของหัวค้อนที่ตกลงมา

กระแทกกับชั้นงานคือ 2.37 m ทำการบันทึกภาระด้วยกล้องความเร็วสูงและบันทึกแรงเพื่อนำไปวิเคราะห์ผลต่อไป



รูปที่ 4 เครื่องทดสอบการกระแทก

2.3 ตัวแปรที่พิจารณา

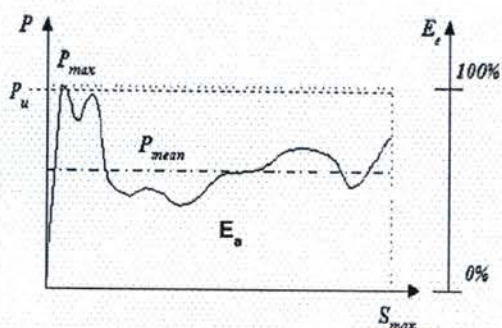
ในการศึกษาทางด้านการเสียหายของโครงสร้างภายใต้การชน (Crashworthiness) มักจะศึกษารายการะและระยะบุบตัวของโครงสร้างดังตัวอย่างภาพในรูปที่ 5 โดยมีตัวแปรที่สำคัญหลายตัว เช่น ภาระเฉลี่ย (Mean crushing load, P_{mean}) หมายถึงภาระเฉลี่ยตลอดการเสียหายของโครงสร้างภายใต้การกระแทกจนสิ้นสุดการบุบตัวค่าพลังงานคุคชัน (Energy absorption, E_a) หมายถึงพลังงานที่โครงสร้างสามารถคุคชันได้ตลอดช่วงเวลาการกระแทกหรือการบุบตัว และพลังงานคุคชันจำเพาะ (Specific energy absorption, E_s) หมายถึง พลังงานที่โครงสร้างสามารถคุคชันได้เมื่อเทียบกับขนาดน้ำหนักของตัวโครงสร้างเอง โดยในบทความนี้ได้นิยมเน้นศึกษาค่าพลังงานที่คุคชันได้และพลังงานคุคชันจำเพาะของชั้นงานทดสอบซึ่งเป็นตัวแปรที่สำคัญในการบ่งบอกถึงความสามารถในการคุคชันพลังงานจากการชนของโครงสร้าง โดยการหาค่าพลังงานคุคชันนั้นสามารถหาได้จากพื้นที่ใต้กราฟของภาระและระยะบุบตัวของโครงสร้าง เมื่อเกิดการชนชั้นสามารถใช้เป็นสมการดังสมการที่ (1)

$$E_a = \int P dS \quad (1)$$

โดยที่ E_a คือค่าพลังงานดูดซับ P คือค่ากระแส S คือค่าระยะการยุบตัว และสามารถหาค่าพลังงานดูดซับ จำเพาะได้จากสมการที่ (2)

$$E_s = \frac{\int P dS}{\text{mass}} \approx \frac{P_{\text{mean}} S}{\text{mass}} \quad (2)$$

โดยที่ E_s คือค่าพลังงานดูดซับ P_{mean} คือค่ากระแสเฉลี่ย S คือค่าระยะการยุบตัว และ mass คือมวลของโครงสร้าง



รูปที่ 5 กราฟแสดงการและระยะยุบตัวของโครงสร้างพร้อมกับแสดงด้วยประต่างๆที่นิยมใช้ในการศึกษา

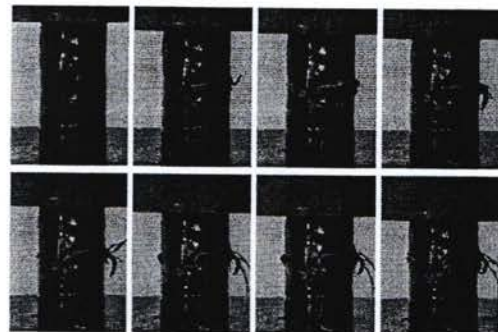
3. ผลการศึกษา

จากการทดสอบการกระทำในแนวแกนแบบคงที่และแบบไม่คงที่ของห่อไฟเบอร์กลาส ที่มีลักษณะของมนุษย์ขึ้นอยู่กับการติดต่อสัมผัสของห่อไฟเบอร์กลาสที่มีมุมการไขว้ของเส้นไข่ต่างๆ มีดังนี้

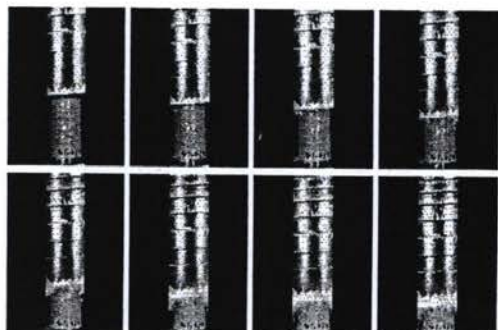
จากรูปที่ 6 แสดงรูปแบบการเสียหายของชิ้นงาน ภายใต้การกระทำแบบคงที่ในแนวแกน ในช่วงแรกจะเกิดการยุบตัวของชิ้นงานช้า หลังจากกระกระทำเพิ่มขึ้นเรื่อยๆ ชิ้นงานเกิดการยุบตัวลงอย่างรวดเร็ว โดยช่วงการเสียหายจะอยู่ที่กึ่งกลางของชิ้นงาน ซึ่งการเสียหายดังกล่าวเรียกว่าการเสียหายแบบ Brittle Fracture mode ในส่วนการตอบสนองของแรงดึงดูดความเสียหายได้แสดงในรูปแบบของ

กราฟ คิงแสดงรูปที่ 8 ซึ่งเป็นค่าของการและระยะยุบตัวที่เกิดขึ้น ผลการคำนวณหาค่าพลังงานดูดซับ และค่าพลังงานดูดซับจำเพาะ ได้แสดงไว้ในตารางที่ 1

3.1 ลักษณะการเสียหาย



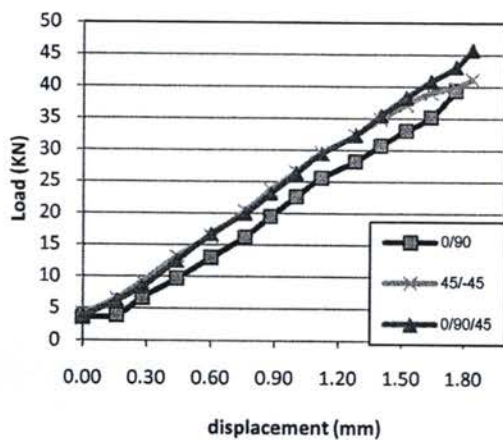
รูปที่ 6 แสดงรูปแบบการเสียหายของชิ้นงาน ภายใต้การกระทำในแนวแกนแบบคงที่



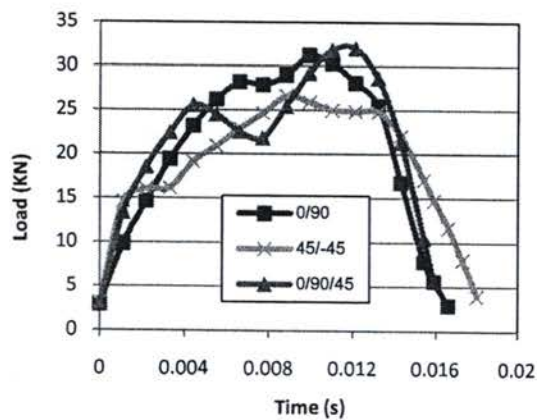
รูปที่ 7 แสดงรูปแบบการเสียหายของชิ้นงาน ภายใต้การกระทำแบบไม่คงที่ในแนวแกน

จากรูปที่ 7 เป็นรูปแบบการเสียหายภายใต้การกระชานในแนวแกนของชิ้นงาน ซึ่งเป็นภาพที่ได้จากการถ่ายด้วยกล้องความเร็วสูง โดยหน้าตัดของหัวก้อนถูกกระแทกกับหน้าตัดด้านบนของห่อ ซึ่งลักษณะการเสียหายพบว่า มุมการไขว้ที่ 45/-45 และ 0/90/45 มีลักษณะการยุบตัวแบบแตกเปราะ หรือเรียกว่าการเสียหายแบบ Brittle Fracture mode โดยยุบตัวลงระหว่างกึ่งกลางของห่อ และ มุมการไขว้ที่ 0/90 มีลักษณะการยุบตัวแบบแตกเป็นชิ้นเล็กคลอตแนวแกนห่อ ซึ่งการเสียหายดังกล่าวเรียกว่าเป็นการเสียหาย

แบบ Crush mode สำหรับการตอบสนองของแรงคลอดการกระแทกแสดงในรูปที่ 9 ซึ่งเป็นค่าของกระแสทำกับน้ำและเวลา ผลการคำนวณหาค่าพลังงานคุณชั้นและค่าพลังงานคุณชั้นจำเพาะ ได้แสดงไว้ในตารางที่ 1



รูปที่ 8 กราฟแสดงผลการทดสอบของชิ้นงานภายใต้กระแสกระทำแบบคงที่ในแนวแกน



รูปที่ 9 กราฟแสดงผลการทดสอบของชิ้นงานภายใต้กระแสกระทำแบบไม่คงที่ในแนวแกน

จากรูปที่ 8 แสดงกราฟความสัมพันธ์ระหว่างแรงปฏิกิริยา กับ ระยะยุบตัวของชิ้นงาน จากการทดสอบภายใต้แรงกระทำแบบคงที่ในแนวแกน โดย แกนดัง เป็นค่าของกระแสและแกนนอน เป็นค่าระยะยุบตัวของชิ้นงาน จากการสังเกตว่า ค่ากระแสของชิ้นงานที่มีนูนไขว้ 0/90/45 และ 45/-45 มีค่าใกล้เคียงกัน

ตลอดการเดียวกัน และส่วนชิ้นงานที่มีนูนไขว้ 0/90 มีค่ากระแสต่ำกว่าชิ้นงานอื่นๆ

รูปที่ 9 กราฟแสดงกราฟความสัมพันธ์ระหว่างกระแส กับเวลา ของแต่ละชิ้นงานทดสอบ การทดสอบ จากการทดสอบภายใต้กระแสกระทำแบบไม่คงที่ ในแนวแกน โดยแกนดัง เป็นค่าของกระแส และแกนนอน เป็นเวลาที่กระทำต่อชิ้นงาน จากกราฟพบว่า กระแสกระแทกแบบไม่คงที่นั้น ลักษณะกราฟ มีลักษณะล้าช่วงกว่า โดยมีคลื่นของกราฟในช่วงบน เนื่องจากการแตกหักของโครงสร้าง นอกจากนี้ยัง สังเกตได้ว่า ชิ้นงานที่มีนูนไขว้ 45/-45 มีค่าของกระแสค่อนข้างต่ำ เมื่อเปรียบเทียบกับชิ้นงานอื่นๆ

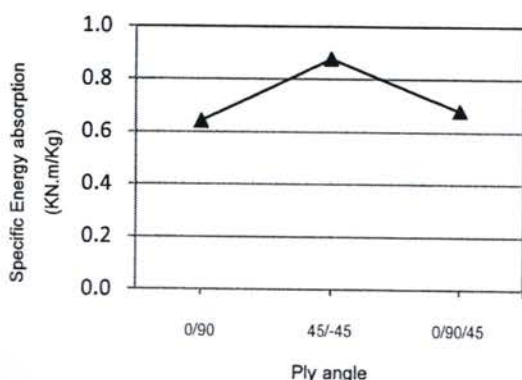
3.2 ความสามารถในการคัดชั้นพลังงาน

จากการทดสอบของชิ้นงาน ภายใต้กระแสกระทำแบบในแนวแกนแบบคงที่ และแบบไม่คงที่ โดยมีการไขว้ 3 แบบ จากกราฟ รูปที่ 8 - 9 ดังกล่าว สามารถคำนวณหาค่ากระแสเฉลี่ยที่เกิดขึ้นจากการทดสอบ และสามารถคำนวณหาค่าพลังงานคุณชั้นและพลังงานคุณชั้นจำเพาะของชิ้นงานดังตารางที่ 1

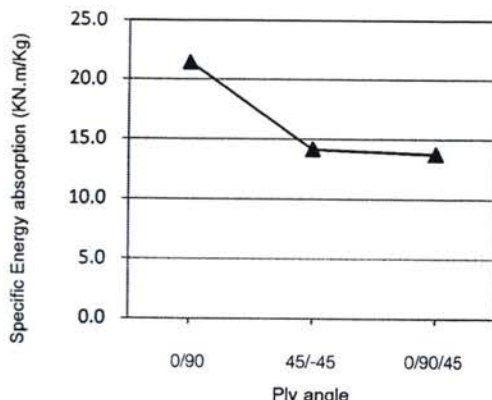
ตารางที่ 1 ผลการคำนวณที่ได้จากการทดสอบ

นูนไขว้ เส้นไข (องศา)	กำรระหะส์ช (KN)	ระยะหะตัว (mm)	E_a (KN.m)	ค่าหนัก (kg)	E_s (KN.m/kg)
Quasi-Static Load					
0/90	22.35	1.80	0.04	0.06	0.64
45/-45	24.80	1.96	0.05	0.06	0.87
0/90/45	24.56	2.00	0.05	0.07	0.68
Dynamic Load					
0/90	21.25	56.61	1.20	0.06	21.46
45/-45	19.52	46.73	0.91	0.06	14.16
0/90/45	22.65	43.13	0.98	0.07	13.76

จากตารางที่ 1 แสดงผลการทดสอบของชิ้นงาน ภายใต้การกระทำแบบคงที่และไม่คงที่ โดยมีการไขว้ของเส้นไป 3 แบบคือ 0/90, 45/-45 และ 0/90/45 ตามลำดับ พิจารณาจากการทดสอบภายใต้การกระทำแบบคงที่ พบว่าค่าพลังงานคุณซับจากชิ้นงาน นูนไขว้ที่ 45/-45 และสามารถคุณซับพลังงานจากการกระทำแบบคงที่ได้ต่ำกว่า นูนไขว้ที่ 0/90/45 และ 0/90 ตามลำดับ ผลจากการคำนวณค่าพลังงานคุณซับจำเพาะ นูนไขว้ที่ 45/-45 สามารถคุณซับพลังงานจำเพาะคือ 878.46 N.m/Kg ได้มากกว่านูนไขว้แบบอื่นๆ พิจารณาจากการทดสอบภายใต้การกระทำแบบไม่คงที่ พบว่าค่าพลังงานคุณซับ ที่นูนไขว้ที่ 0/90 สามารถคุณซับพลังงานได้มากกว่านูนไขว้ 0/90/45 และ 45/-45 ตามลำดับ แต่ผลจากการคำนวณค่าพลังงานคุณซับจำเพาะ นูนไขว้ที่ 0/90 สามารถคุณซับพลังงานจำเพาะได้มากกว่านูนไขว้ 45/-45 และ 0/90/45 ตามลำดับ



รูปที่ 10 แสดงกราฟค่าความสามารถคุณซับพลังงานจำเพาะภายใต้การกระทำแบบคงที่



รูปที่ 11 แสดงกราฟค่าความสามารถคุณซับพลังงานจำเพาะภายใต้การกระทำแบบไม่คงที่

จากรูปที่ 10 - 11 แสดงความสัมพันธ์ระหว่างความสามารถคุณซับพลังงานจำเพาะและลักษณะของนูนไขว้ พิจารณาภายใต้การกระทำแบบคงที่พบว่า นูนไขว้ที่ 45/-45 สามารถคุณซับพลังงานจำเพาะมากที่สุด เมื่อเปรียบเทียบกับนูนไขว้ที่ 0/90/45 และ 0/90 มากกว่าประมาณ 29.03% และ 36.80% ตามลำดับ พิจารณาภายใต้การกระทำแบบไม่คงที่ พบว่า นูนไขว้ที่ 0/90 สามารถคุณซับพลังงานจำเพาะได้มากสุดและเมื่อเปรียบเทียบกับ นูนไขว้ที่ 45/-45 และ 0/90/45 ที่มีค่ามากกว่าประมาณ 51.49% และ 55.89% ตามลำดับ

4. สรุปผลการศึกษา

จากการศึกษาพัฒนาระบบสนองของห่อไฟเบอร์กลาส ภายใต้แรงกระทำในแนวแกนแบบคงที่ และไม่คงที่ ที่มีลักษณะของนูนไขว้ต่างกัน 3 แบบ จากการทดสอบชิ้นงานสามารถสรุปผลได้ดังนี้

1. ในกรณีลักษณะการเสียหายของห่อไฟเบอร์กลาส ภายใต้การกระทำแบบคงที่ ลักษณะการเสียหายของชิ้นงานทั้งหมด เสียหายแบบแตกเปราะ ซึ่งการเสียหายดังกล่าวเรียกว่า เป็นการเสียหายแบบ brittle fracture mode ส่วนภายใต้การกระทำแบบไม่คงที่ พบว่าลักษณะการเสียหายของชิ้นงาน มีการเสียหายอยู่ 2 ลักษณะ คือ แตกแบบเปราะ และ แตกเป็นชิ้น

เล็กตลอดแนวแกน การเสียหายดังกล่าวเรียกว่าเป็นการเสียหายแบบ Brittle Fracture mode และ Crush mode ตามลำดับ

2. ความสามารถในการดูดซับพลังงาน จำเพาะพนว่าภายในได้การกระทำแบบคงที่ ลักษณะนุ่ม ไขว้ที่ 45/-45 สามารถดูดซับพลังงานจำเพาะได้มากกว่าลักษณะนุ่มไขว้แบบอื่นๆ ในส่วนภายในได้การกระทำแบบไม่คงที่ พนว่าลักษณะของนุ่ม ไขว้ที่ 0/90 สามารถดูดซับพลังงานจำเพาะได้มากกว่าลักษณะนุ่ม ไขว้แบบอื่นๆ

5. กิตติกรรมประกาศ

ขอขอบคุณ สำนักงานคณะกรรมการวิจัยแห่งชาติ (วช.) ที่ให้การสนับสนุนทุนวิจัยนี้ และ ภาควิชาวิศวกรรมเครื่องกล คณะวิศวกรรมศาสตร์ มหาวิทยาลัยอุบลราชธานี ที่ให้การสนับสนุน เครื่องมือในการวิจัย

6. เอกสารอ้างอิง

- [1] M. Abdel-Haq, G.B. Broggiano, G.M. Newaz.,(1999) "Constraint Effects on Energy Absorption in Unidirectional PMC Tubes," Journal of Composite Materials, Vol. 33 pp.774-793.
- [2] George C.Jacob, John F. Fellers, Srdan Simunovic, J.Michael Starbuck.,(2001) "Energy absorption in polymer composites for automotive crashworthiness," Journal of Composite Material, Vol. 36 pp.813-850.
- [3] Hamidreza Zarei, Matthias Kroger, Henrik Albertsen., (2008), "An experimental and numerical crashworthiness investigation of thermoplastic composite crash boxes," Composite Structures, Vol. 85 pp. 245-257.
- [4] Jose Daniel D. Melo, Andre Luiz s. Silva, John Edward N. Villena., (2008), "The effect of processing conditions on the energy absorption capability of composite tubes," Composite Structures, Vol.82, pp. 622-628.
- [5] A.G. Mamalis, D.E. Manolakos, G.A. Demosthenous and M.B. Ioannidis., (1997), "The static and dynamic axial crumbling of thin-walled fiberglass composite square tubes," Composite Part B, Vol.28B, pp. 439-451.
- [6] A.G. Mamalis, D.E. Manolakos, G.A. Demosthenous and M.B. Ioannidis., (1996), "The static and dynamic axial collapse of fiberglass composite automotive frame rails," Composite Structures, Vol. 34, pp. 77-90.
- [7] A.G. Mamalis, D.E. Manolakos, G.A. Demosthenous and M.B. Ioannidis., (1996), "Analysis of Failure mechanisms Observed in Axial Collapse of Thin-Walled Circular Fiberglass Composite Tubes," Composite Structures, Vol. 24, pp. 335-352.
- [8] A.G. Mamalis, D.E. Manolakos, G.A. Demosthenous and M.B. Ioannidis., (1997), "Analytical modeling of the static and dynamic axial collapse of thin-walled fiberglass composite conical shells," Composite Structures, Vol. 19, pp. 477-492.
- [9] Young Nam Kim, Jae Jung Hwang, Kyung Yun Baek., (2003), "Impact Collapse Characteristics of CF/Epoxy Composite Tubes for Light-Weights," KSME International Journal , Vol. 17, pp.48-56.
- [10] M. M. Shokrieh, H. Tozandehjani, and M. J. Omidi., (2009), "Effect of fiber orientation and cross section of composite tubes on their energy absorption ability axial dynamic loading," Mechanics of Composite Materials, Vol. 45 pp. 567-576

การประชุมวิชาการเครือข่ายวิศวกรรมเครื่องกลแห่งประเทศไทย ครั้งที่ 26
ตุลาคม 2555 จังหวัดเชียงราย

การศึกษาพฤติกรรมการตอบสนองของท่อไฟเบอร์กลาสภายใต้แรงกระแทกในแนวแกน

The Study of Crashworthiness Behavior of Fiberglass Tube Subjected to Axial Impact Load

วิคิร์ย์ จันทร์ชื่น^{1*}, ชวิติ ถิ่นวงศ์พิทักษ์¹ และ สมญา ภูนະชา¹

¹ ภาควิชาวิศวกรรมเครื่องกล คณะวิศวกรรมศาสตร์ มหาวิทยาลัยอุบลราชธานี อ.วารินชำราบ จ.อุบลราชธานี 34190

* ติดต่อ: E-mail: unicorn_ton@hotmail.com โทรศัพท์: 045 353 308, โทรสาร: 045 353 309

บทคัดย่อ

วัสดุประกอบเป็นอีกหนึ่งทางเลือกที่ถูกใช้เป็นโครงสร้างหลักแทนวัสดุโลหะกันอย่างกว้างขวาง เนื่องจาก คุณสมบัติด้านการคุณภาพดีและมีน้ำหนักเบา สามารถปรับปรุงและเพิ่มความแข็งแรงได้และสามารถผลิตแรง กระแทกจากการชนได้ดีเมื่อเปรียบเทียบกับมวลของโครงสร้าง งานวิจัยนี้จึงมีวัตถุประสงค์เพื่อ ศึกษาพฤติกรรมการ ตอบสนองของท่อไฟเบอร์กลาสภายใต้แรงกระแทกในแนวแกน ชิ้นงานที่ใช้ในการศึกษาเป็นชิ้นงานที่ขึ้นรูปด้วยมือ (Hand lay-up) ที่มีการเรียงทับชั้non และมุนไชร์ท์แลดูเด็กต่างกัน นุนการไชร์ของเส้นในมี 3 แบบคือ [0/90], [+45/-45], และ [+45/-45]/[0/90] / [+45/-45] ตามลำดับ ขึ้นรูปจาก E-glass/polyester ขนาดของท่อมีเส้นผ่าศูนย์กลางภายนอก คือ 50 mm. ความหนาคือ 2 mm. และความยาวคือ 100 mm. ในการทดสอบชิ้นงานนั้นได้ทำการทดสอบโดยใช้เครื่อง Vertical Impact Testing Machine ตกกระแทกแบบอิสระด้วยความเร็วคงที่จุดสัมผัส 7 m/s ผลการศึกษาพบว่าชิ้นงานที่ มีนุนไชร์ [0/90]3 มีค่าพลังงานคุณภาพชั้นจำเพาะมากที่สุด นอกจากนี้ในบทความยังได้แสดงลักษณะการเสียหายที่เกิดขึ้น อีกด้วย

คำหลัก: วัสดุประกอบ, การกระแทก, การเสียหาย, การคุณภาพดี

Abstract

Composite Material is alternative material that is widely used for vehicle structure. This is due to the properties of energy absorption of composite material that absorb higher energy and can be strengthen. This research is purposed to study crashworthiness behavior of fiberglass tube subjected Impact axial compression. The specimen is made of fiberglass and hand lay-up in different angles in shape of 3 cross angles of fiberglasses, including [0/90]3, [+45/-45]3 and [+45/-45]/[0/90]/[+45/-45]. The tube has 50 mm outside diameter, 2 mm wall thickness and 100 mm length. Impact test was done by Vertical Impact Testing Machine with the impact speed was 7 m/s. The result shown that the specimen with [0/90]3 cross angle gives highest specific energy absorption. In addition, the collapse mode and response of specimens to impact are also discussed in the paper.

Keywords: Composite Material, impact, Collapse, Energy absorption

1. บทนำ

วัสดุประกอบอุกโน้มมาประยุกต์เป็นโครงสร้าง ส่วนหน้าของรถยนต์ในการป้องกันความเสียหายของ โครงสร้างภายในได้การชน และเพื่อเพิ่มความปลอดภัย ของผู้โดยสาร [1] โดยใช้ท่อเหล็กและอะลูมิเนียม มีลักษณะการเสียหายแบบพับ และแบบงอ ซึ่งหลังงานที่กระชาบจะกรุรวมทั้งหมดตามจุดเดียว ในแนวแกนๆ ในขณะที่วัสดุประกอบมีลักษณะการเสียหายลดลงแนวแกนห่อในลักษณะคงที่จึงส่งผลให้เกิดการกระจายตัวของแรงได้น่ากกว่า นอกจากนี้ เนื่องจากมีวัสดุประกอบน้ำหนักเบาไม่ความแข็งแรง และมีความคงทน วัสดุประกอบเป็นอีกทางเลือกเพื่อ ทดแทนวัสดุเดิม จึงได้มีงานวิจัยที่เกี่ยวข้องกับวัสดุ ประกอบโดย [2] ได้ทำการศึกษา การคุณภาพหลังงาน ของห่อหน้าตัดสีเหลี่ยมที่ทำจากเหล็กภายใต้การกระแทก โดยมีการเพิ่มความแข็งแรงด้วยเส้นใย คาร์บอน ชั้นงานทดสอบมี 3 กลุ่มคือ steel , steel – CFRP และ CFRP ทำการทดสอบภายใต้การกระแทก ในแนวแกนโดยการปล่อยมวล 574 kg จากความสูง 1.835 m และที่ความเร็วของมวลกระแทก 6 m/s (พลังงานกระแทก 10.3 kJ) ผลของการศึกษานะว่า ชั้นงานทดสอบกับ steel-CFRP มีค่าการคุณภาพหลังงานจำเพาะสูงกว่ากับ steel อยู่ 35% และมากกว่ากับ CFRP อยู่ 75% [3] ได้ทำการศึกษา ความสามารถในการคุณภาพหลังงานจากการชนของห่อทรงกระบอก FRP โดยสนใจศึกษาเกี่ยวกับ ความสามารถในการคุณภาพหลังงานของห่อ FRP ที่จำนวนชั้นของไฟเบอร์ เป็น 4 และ 6 ชั้น ซึ่งจะเปลี่ยนแปลงการขัดเรียงชั้นของไฟเบอร์ที่แตกต่างกันไป ชั้นงานที่ใช้ทดสอบทำจาก Woven roving (WRM) ความหนาแน่นคือ 610 g/m^2 และ Unidirectional (UD) ความหนาแน่นคือ 750 g/m^2 ส่วนเรื่องใช้ร่องไฟเบอร์ที่เรียกว่า โพลีเอสเทอร์ชั้นนิค ไอโซพาลิก เป็นส่วนประกอบในการขึ้นรูปชั้นงาน กระบวนการ hand lay-up สถาบันฯ กำหนดไว้คือ 4 และ 6 ชั้น ขนาดอัตราส่วนระหว่างเส้นผ่าศูนย์กลาง

ภายในกับความหนา (D/t) ประมาณ 15 และ 25 ตามลำดับ ที่ปลายห่อกล่องบนทำมุม 30° ใช้โอลด์ quasi-static ความเร็วคือ 2 mm/min ผลการศึกษา พบว่า จำนวนชั้นที่เพิ่มขึ้นของ FRP มีผลทำให้แนวโน้มการคุณภาพหลังงานของ FRP สูงขึ้น

การศึกษานี้มีวัตถุประสงค์เพื่อศึกษาพัฒนาระบบทดสอบชนิดห่อท่อสำหรับการทดสอบโครงสร้างที่กระแทกในแนวแกน ห่อชั้นงานที่ใช้ในการทดสอบ เป็นห่อรูปทรงกระบอก โดยศึกษาอิทธิพลของเส้นใย แก้ว ลักษณะวิธีการเสียหาย และความสามารถในการคุณภาพหลังงานจำเพาะ

2. ชั้นงานทดสอบและวิธีการทดสอบ

2.1 ชั้นงานทดสอบ

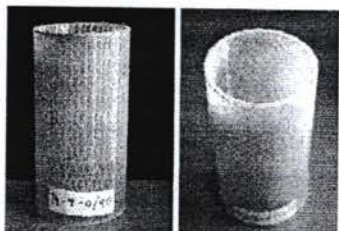
ชั้นงานที่ใช้ในการทดสอบโดยขึ้นรูปจากเส้นใยแก้วผืนนิดสองทิศทางกับโพลีเอสเทอร์ชั้นนิค ไอโซพาลิกเป็นชั้นงานที่ขึ้นรูปด้วยมือ (Hand lay-up) ที่มีการเรียงทับชั้นและบุนไขว้ที่แตกต่างกัน จากร่างที่ 1 ที่มีเส้นผ่าศูนย์กลางกว้าง 50 mm ความหนาคือ 2 mm . และความยาวคือ 100 mm ดังแสดงในรูปที่ 2

การขึ้นรูปด้วยการทาระชั้นลงบนเส้นใยแก้วเริ่มต้นจากการผสมเรซินและตัวทำให้แข็งลงในแก้วพลาสติก แล้วกวนเรซินในทิศทางเดียวประมาณ 2 ถึง 3 นาที จากนั้นทาระชั้นลงไข้แก้วจนครบจำนวนชั้นของไข้แก้ว ในการศึกษานี้ใช้ไข้แก้วทั้งหมด 6 ชั้น จากนั้นใช้ลูกกลิ้งโลหะเกลี่ยว กลึงบนชั้นงานเพื่อไล่อาการออก



รูปที่ 1 ลักษณะของการหมุนแม่แบบชั้นงาน

หลังจากผ่านการทดสอบชิ้นแล้ว รีวิวอาการของด้วยลูกกลิ้งแล้ว เครื่องหมุนแม่แบบหมุนด้วยความเร็วที่ 34 rpm ใช้เวลาในการหมุนประมาณ 180 นาที ค้างรูปที่ 1 เพื่อให้เรื่องเช็คตัวและนิความแข็งพอที่จะถอดแบบออกได้ง่าย



รูปที่ 2 แสดงถึงชิ้นงานที่ได้จากการขันรูป

2.2 วิธีการทดสอบ

การทดสอบได้ดำเนินการโดยใช้เครื่อง Vertical Impact Testing Machine ซึ่งเป็นเครื่องทดสอบที่ใช้ระบบคอมพิวเตอร์กับแรงกระแทกของหัวจากเครื่องทดสอบ โดยความสูงของเครื่องทดสอบคือ 2.5 m น้ำหนักของมวลที่ใส่ลงในหัวสามารถใส่ได้ระหว่าง 20-60 kg ในส่วนค่าการประมวลผลเครื่องจะมี โหลดเฉลี่ยที่มีความละเอียดในการบันทึกข้อมูล สูงสุดที่ 10,000 ค่าต่อวินาที เมื่อทดสอบโหลดเฉลี่ยแบ่งค่าของแรงไปเป็นสัญญาณไฟฟ้านำผลที่ได้ไปยัง Data logger เพื่อทำการบันทึกข้อมูล จากนั้นผลที่ได้จะเข้าสู่เครื่องคอมพิวเตอร์ เพื่อแบ่งค่า โดยผลที่ได้จะเป็นความสัมพันธ์ระหว่าง แรงกระแทก (Load) และเวลา (Time) ซึ่งสามารถบันทึกผลการทดสอบ จากความสัมพันธ์นี้สามารถเขียนกราฟได้ รูปที่ 3 แสดงลักษณะของเครื่องทดสอบแรงกระแทก

ในการทดสอบภายในได้การกระแทกในแนวแกนโดยใช้ความเร็วในการกระแทกคือ 7 m/s และน้ำหนักของหัวคือ 45 kg ความสูงของหัวคือ 2.5 m ทำการบันทึกภาพด้วยกล้องความเร็วสูงและบันทึกแรงเพื่อนำไปวิเคราะห์ผลต่อไป ในการศึกษานี้ได้ทำการทดสอบ 3 ชั้้น ในทุกรถ โดยพบว่าค่าความเบี่ยงเบนมาตรฐานของข้อมูล ระหว่าง 0.289 ถึง 0.317

2.3 ตัวแปรที่พิจารณา

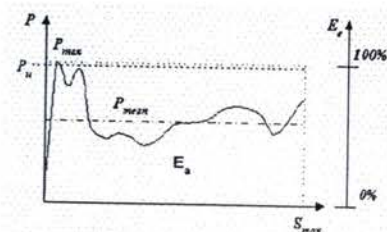
ในการศึกษาทางด้านการเสียหายของโครงสร้างภายในได้การชน (Crashworthiness) มักจะศึกษากราฟการกระแทกและระบุตัวของโครงสร้างดังต่อไปนี้ กราฟในรูปที่ 3 โดยมีตัวแปรที่สำคัญหลายตัว เช่น ภาระเฉลี่ย (P_{mean}) หมายถึง ภาระเฉลี่ยตลอดการเสียหายของโครงสร้างภายในได้ การกระแทก ลักษณะของชิ้นงานทดสอบ ซึ่งเป็นตัวแปรที่สำคัญในการบ่งบอกถึงความสามารถในการดูดซับพลังงาน จากการชนของโครงสร้าง โดยการหาค่าพลังงานดูดซับนั้นสามารถหาได้จากพื้นที่ใต้กราฟของภาระและระยะบุนดูของโครงสร้าง เมื่อเกิดการชนชิ้นสามารถเขียนเป็นสมการดังสมการที่ (1)

$$E_s = \int P dS \quad (1)$$

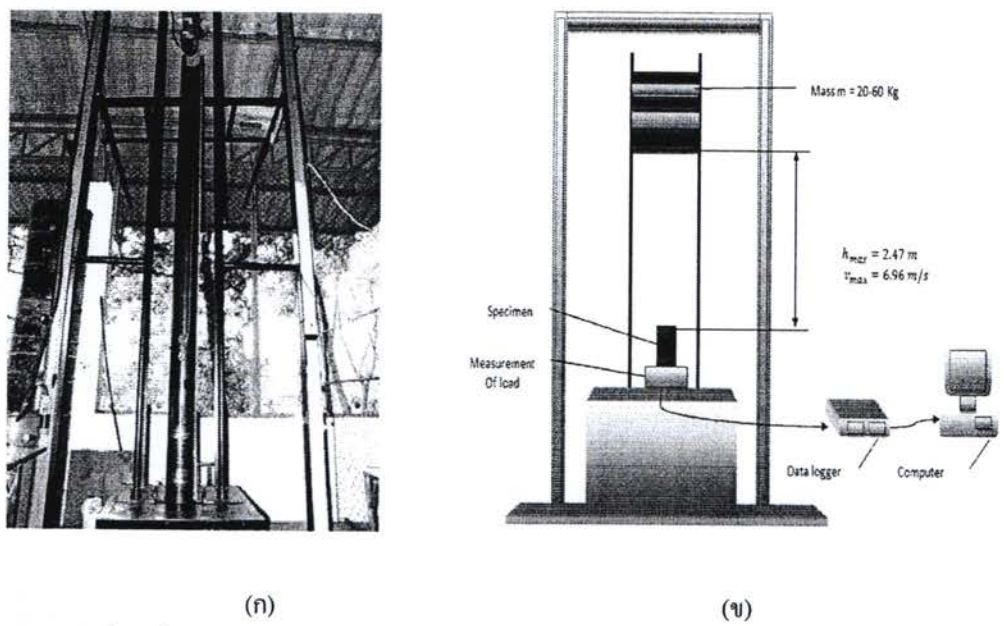
โดยที่ E_s คือค่าพลังงานดูดซับ P คือภาระ S คือค่าระยะการบุนดู และสามารถหาค่าพลังงานดูดซับ จำเพาะได้จากสมการที่ (2)

$$E_s = \frac{\int P dS}{mass} \approx \frac{P_{mean} S}{mass} \quad (2)$$

โดยที่ E_s คือค่าพลังงานดูดซับ P_{mean} คือภาระเฉลี่ย S คือต่ำงของการบุนดู และ mass คือมวลของโครงสร้าง



รูปที่ 3 กราฟแสดงภาระและระยะบุนดูของโครงสร้างพร้อมกับแสดงตัวแปรต่างๆที่นิยมใช้ใน การศึกษา



รูปที่ 4 เครื่องทดสอบการกระแทก (ก) เครื่องทดสอบจิง (ข) โครงสร้างของเครื่องทดสอบ

ตารางที่ 1 ขนาดและนูนไขว้เส้นไขข่องชั้นงานทดสอบ

ลำดับ	เส้นผ่านศูนย์กลาง mm	ความยาว mm	หนา mm	นูนไขว้เส้นไข (องศา)
1.	50	100	2	[0/90] ₃
2.	50	100	2	[+45/-45] ₃
3.	50	100	2	[+45/-45] / [0/90] / [+45/-45]

3. ผลการศึกษา

ผลของการศึกษาแสดงให้เห็นถึงพฤติกรรมการตอบสนองของห่อไฟเบอร์กลาส ได้แก่ ลักษณะการเสียหาย และ ความสามารถในการคุณชั้บพลังงาน ดังนี้

3.1 ลักษณะการเสียหาย

รูปที่ 8 เป็นรูปแบบการเสียหายภายใต้การชนในแนวแกนของชั้นงาน ซึ่งเป็นภาพที่ได้จาก การถ่ายด้วยกล้องความเร็วสูง โดยหน้าตัดของหัวค้อน ถูกกระแทกกับหน้าตัดค้านบนของห่อ ซึ่งลักษณะการเสียหายพบว่ามีการไขว้ [+45/-45], รูปที่ 5 มีลักษณะการเสียหายแบบแตกเประ โดยเริ่มจาก

ด้านบนของชั้นงานและตามแนวของเส้นไขหรือเรียกว่าการเสียหายแบบ Brittle mode นูนไขว้ที่ [0/90], ดังรูปที่ 6 มีลักษณะการยุบตัวจากด้านบนของชั้นงาน ซึ่งมีลักษณะบนออกและแยกออกเป็น 8 ถึง 9 แฉก โดยเรียกลักษณะการเสียหายแบบนี้ว่า Spay mode ในส่วนของนูนไขว้ [+45/-45]/[0/90]/[+45/-45] ดังรูปที่ 7 ซึ่งลักษณะเสียหายเริ่มจากด้านบนของชั้นงานแตกและบนออกเป็นชิ้นเล็กตลอดแนวแกนห่อ ซึ่งลักษณะการเสียหายเรียกว่า Crush mode สำหรับการตอบสนองของแรงต่อต้านการกระแทก แสดงใน ดังรูปที่ 9 ซึ่งเป็นค่าของผลกระทบและเวลา ผลการคำนวณหาค่าพลังงานคุณชั้บและค่า พลังงานคุณชั้บจำเพาะ ได้แสดงไว้ใน ตารางที่ 2

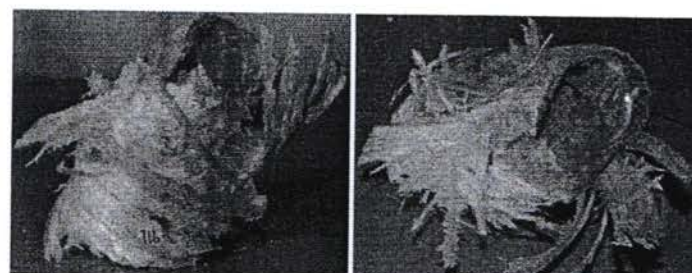
จากรูปที่ 9 ภาพแสดงกราฟความสัมพันธ์ระหว่างภาระกับเวลา ของแต่ละชั้นงานตลอดการทดสอบ จากการทดสอบภายใต้ภาระเท gek ในแนวแกน โดยแกนดังเป็นค่าของภาระและแกนนอน เป็นเวลาที่กระทำต่อชั้นงาน จากกราฟพบว่ากราฟภาระเท gek ในแนวแกนนี้ ลักษณะกราฟมีลักษณะคล้ายรั้งจักร โถมีค่าคงที่ของกราฟในช่วงบน เนื่องจากการแตกหักของโครงสร้าง นอกจากนี้ยังสังเกตได้ว่าชั้นงานที่มีมุนไขว้ [+45/-45], มีค่าของภาระค่อนข้างต่ำ เมื่อเปรียบเทียบกับชั้นงานอื่นๆ

3.2 ความสามารถในการดูดซับพลังงาน

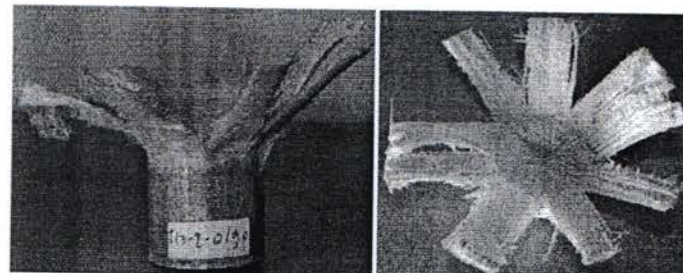
จากการทดสอบของชั้นงาน ภายใต้แรงภาระเท gek ในแนวแกน โดยมุนการไขว้ของเส้นไขว้ 3 แบบ จากกราฟ รูปที่ 9 ดังกล่าว สามารถคำนวณหาค่าภาระ

เฉลี่ยที่เกิดขึ้น จากการทดสอบ และสามารถคำนวณหาค่าพลังงานดูดซับและพลังงานดูดซับจำเพาะของชั้นงานดังตารางที่ 2

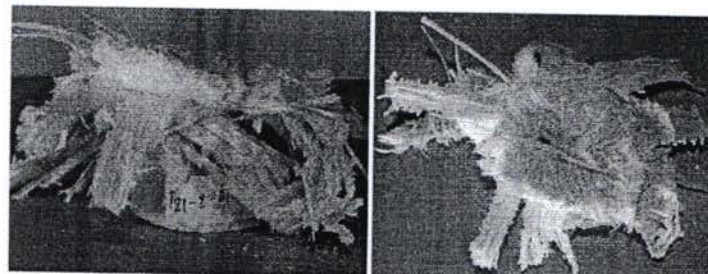
จากการที่ 2 แสดงผลการทดสอบของชั้นงาน ภายใต้แรงภาระเท gek ในแนวแกน โดยมีมุนการไขว้ของเส้นไขว้ 3 แบบคือ [0/90], [+45/-45], และ [+45/-45]/[0/90]/[+45/-45] ตามลำดับ จากการทดสอบภายใต้แรงภาระเท gek ในแนวแกน พบร่วมค่าพลังงานดูดซับที่มุนไขว้ที่ [+45/-45]/[0/90]/[+45/-45] สามารถดูดซับพลังงานได้มากกว่ามุนไขว้ [0/90], และ [+45/-45], ตามลำดับ แต่ผลจากการคำนวณค่าพลังงานดูดซับจำเพาะ มุนไขว้ที่ [0/90], สามารถดูดซับพลังงานจำเพาะได้มากกว่ามุนไขว้ [+45/-45], และ [+45/-45]/[0/90]/[+45/-45] ตามลำดับ



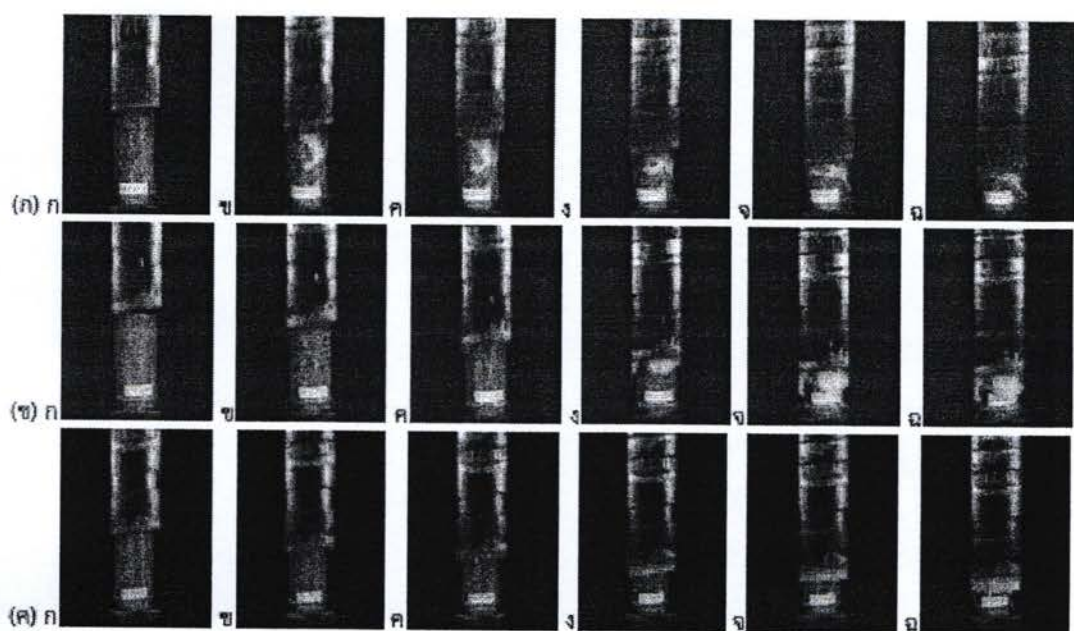
รูปที่ 5 การเสียหายสุดท้ายของโครงสร้างที่เสียหายของชั้นงาน [+45/-45],



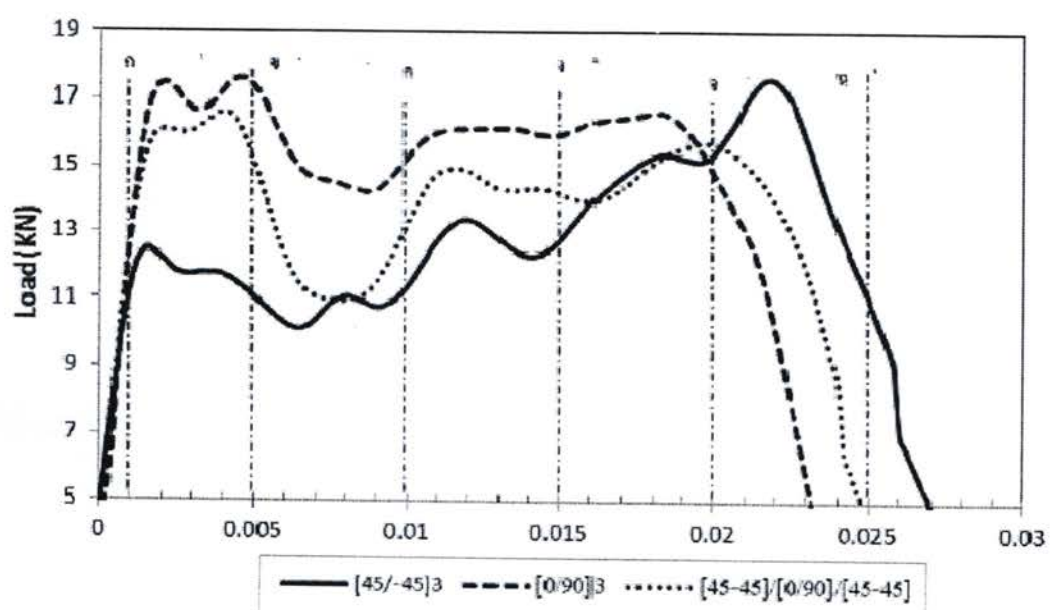
รูปที่ 6 การเสียหายสุดท้ายของโครงสร้างที่เสียหายของชั้นงาน [0/90],



รูปที่ 7 การเสียหายสุดท้ายของโครงสร้างที่เสียหายของชั้นงาน [+45/-45]/[0/90]/[+45/-45]



รูปที่ 8 ขั้นตอนกระบวนการเสียหายของชิ้นงาน (ก) $[+45/-45]_3$ (ข) $[0/90]_3$ (ค) $[+45/-45]/[0/90]/[+45/-45]$



รูปที่ 9 กราฟแสดงความสัมพันธ์ระหว่างการ-เวลา ของชิ้นงานภายใต้แรงกระแทก

ตารางที่ 2 ผลการคำนวณที่ได้จากการทดสอบ

มุมการไขว้ (องศา)	ภาระเฉลี่ย (kN)	ระยะยุบตัว (m)	พลังงานคุณชั้บ (kN.m)	น้ำหนัก (g)	พลังงานจำเพาะ (kN.m/kg)
[0/90] ₃	14.40	0.06	0.85	49.46	17.28
[45/-45] ₃	12.47	0.04	0.55	52.78	10.45
[45/-45]/[0/90]/[45/-45]	13.49	0.07	0.88	52.93	16.64

4. สรุป

จากการศึกษาพฤติกรรมการตอบสนองของหอยไฟเบอร์กลาสภายใต้แรงกระแทกใน โดยศึกษาอิทธิพลของการเรียงทับช้อนและมุมไขว้ที่แตกต่างกันคือ [0/90]₃, [+45/-45]₃, และ [+45/-45]/[0/90]/[+45/-45] ตามลำดับ สามารถสรุปได้ดังนี้

1. พนว่าค่าพลังงานคุณชั้บ ที่มุมไขว้ที่ [+45/-45]/[0/90]/[+45/-45] สามารถคุณชั้บพลังงานได้มากกว่ามุมไขว้ [0/90]₃ และ [+45/-45]₃ คือ 3.40 เปอร์เซ็นต์ และ 37.50 เปอร์เซ็นต์ ตามลำดับ ในส่วนผลจากการคำนวณค่าพลังงานคุณชั้บจำเพาะ มุมไขว้ที่ [0/90]₃ สามารถคุณชั้บพลังงานจำเพาะได้มากกว่ามุมไขว้ [+45/-45]₃ และ [+45/-45]/[0/90]/[+45/-45] คือ 39.52 เปอร์เซ็นต์ และ 3.73 เปอร์เซ็นต์ ตามลำดับ

2. พนว่าลักษณะการเสียหายพบว่ามุมการไขว้ที่ [+45/-45]₃ มีลักษณะการเสียหายแบบแตกเปราะหรือเรียกว่าการเสียหายแบบ Brittle mode มุมไขว้ที่ [0/90]₃ ซึ่งมีลักษณะนานออกแยกออกเป็น 8 ถึง 9 แฉก โดยเรียกลักษณะการเสียหายแบบนี้ว่า Spay mode ในส่วนของมุมไขว้ [+45/-45]/[0/90]/[+45/-45] ซึ่งลักษณะการเสียหายเรียกว่า Crush mode

มหาวิทยาลัยอุบลราชธานี ที่ให้การสนับสนุนเครื่องมือในการวิจัย

6. เอกสารอ้างอิง

- [1] George C.Jacob, John F. Fellers, Srdan Simunovic, J.Michael Starbuck.,(2001) “Energy absorption in polymer composites for automotive crashworthiness,” Journal of Composite Material, Vol. 36 pp.813-850
- [2] M.R. Bambach, M. Elchalakani, X.L. Zhao., Composite steel-CFRP SHS tubes under axial impact., Composite Structures, Volume 87, Issue 3, February 2009, Pages 282-292
- [3] S. Solaimurugan, R. Velmurugan. Influence of fiber orientation and stacking sequence on petal ling of glass/polyester composite cylindrical shells under axial compression. International Journal of Solids and Structures 44 (2007) 6999–7020

5. กิตติกรรมประการ

ขอขอบคุณ สำนักงานคณะกรรมการวิจัยแห่งชาติ (วช.) ที่ให้การสนับสนุนทุนวิจัยนี้ และภาควิชา วิศวกรรมเครื่องกล คณะวิศวกรรมศาสตร์



การศึกษาพฤติกรรมการตอบสนองของท่อไฟเบอร์กลาสภายใต้แรงกดในแนวแกน

The Study of Crashworthiness Behavior of Fiberglass Tube Subjected Axial Load

วิชัยรัตน์ จันทร์ชื่น, ชวัลิต ถินวงศ์พิทักษ์*, สมญา ภูนยะ และ รัชดา โสภาคย์

Visit Junchuan, Chawalit Thinvongpituk*, Somya Poonaya and Ratchada Sopakayang

ภาควิชาวิศวกรรมเครื่องกล คณะวิศวกรรมศาสตร์ มหาวิทยาลัยอุบลราชธานี จังหวัดอุบลราชธานี 34190

Department of Mechanical Engineering, Faculty of Engineering, Ubonratchathani University, Ubonratchathani, 34190, Thailand.

บทคัดย่อ

การศึกษานี้มีวัตถุประสงค์เพื่อศึกษาความสามารถในการดูดซับพลังงานจำเพาะของท่อไฟเบอร์กลาส ภายใต้แรงกระทำในแนวแกน ชิ้นงานที่ใช้ในการศึกษาเป็นชิ้นงานที่ขึ้นรูปด้วยมือ (Hand lay-up) ที่มีการเรียงทับชั้nonและมุมไขว้ ที่แตกต่างกัน 3 ชิ้นงานคือ ชิ้นงาน A มีมุมไขว้ [(0/90)/(0/90)/(0/90)] ชิ้นงาน B มีมุมไขว้ [(45/-45)/(45/-45)/(45/-45)] และ ชิ้นงาน C มีมุมไขว้ [(45/-45)/(0/90)/(45/-45)] ตามลำดับ ขึ้นรูปจาก E-glass/polyester ขนาดของท่อมีเส้นผ่าศูนย์กลางภายนอกคือ 50 mm. ความหนาคือ 2 mm. และความยาวคือ 100 mm. ในการทดสอบชิ้นงานนี้ได้ทำการทดสอบโดยใช้เครื่อง ESH Universal Testing Machine สำหรับการทดสอบแบบกึ่งคงที่ กดที่ความเร็ว 10 mm/min และใช้เครื่อง Vertical Impact Testing Machine ในการทดสอบแบบกระแทกด้วยความเร็วกระแทก 7 m/s ผลการศึกษาพบว่าชิ้นงาน A มีค่าพลังงานดูดซับจำเพาะมากที่สุด ซึ่งเป็นผลจากการเรียงเส้นไขว้ในแนวตั้ง นอกจากนี้ในบทความยังได้แสดงลักษณะการเสียหายที่เกิดขึ้นอีกด้วย

คำสำคัญ : วัสดุประごน การขุนตัว พลังงานดูดซับ พลังงานดูดซับจำเพาะ

Abstract

This research is purposed to study crashworthiness behavior of fiberglass tube subjected axial compression. The specimens are made of fiberglass and hand lay-up in different ply angles which are; specimen A ply angle is [(0/90)/(0/90)/(0/90)] specimen B ply angle is [(45/-45)/(45/-45)/(45/-45)] and specimen C ply angle is [(45/-45)/(0/90)/(45/-45)]. The tube has 50 mm outside diameter, 2 mm wall thickness and 100 mm length. Quasi-static test is done by ESH Universal Testing Machine with 10 mm/min of crushing speed. Impact test is done by Vertical Impact Testing Machine with the impact speed of 7 m/s. The result showed that specimen A gives highest specific energy absorption due to the vertical fiber orientation. In addition, the collapse mode and response of specimens to impact are also discussed in the paper.

* Corresponding author. Tel. :(045)353383; fax: (045)353309
Email address: chawalit@rocketmail.com

Keywords : Composite, Collapse, Energy absorption, specific energy absorption

1. บทนำ

ปัจจุบันการพัฒนาวัสดุได้เป็นไปอย่างต่อเนื่องซึ่งวัสดุประกอบเป็นอีกหนึ่งทางเลือกที่สามารถนำไปใช้งานได้หลากหลายทั้งในอุตสาหกรรมการบิน อาชีวะ และรถยนต์ เนื่องจากคุณสมบัติทางกลของวัสดุประกอบมีค่าอัตราส่วนความแข็งแรงต่อน้ำหนักสูง (high strength weight ratio) สามารถปรับความแข็งแรงตามทิศทางที่รับภาระได้จึงทำให้วัสดุประกอบถูกนำมาประยุกต์เป็นโครงสร้างร่วมส่วนหน้าของรถยนต์ ในการป้องกันความเสียหายของโครงสร้างห้องผู้โดยสาร ภายใต้การชน ซึ่งบริเวณดังกล่าวเป็นบริเวณที่สร้างอันตรายแก่ผู้โดยสารรถยนต์จากการกระแทกที่อาจเกิดขึ้น ซึ่งพลังงานที่เกิดจากการชนจะทำให้โครงสร้างเกิดการบุบตัว และพลังงานจะถูกถ่ายเทมาซึ่งห้องผู้โดยสารตามโครงสร้างที่บุบตัวเข้ามากระแทก สร้างอันตรายต่อผู้โดยสารมากหรือน้อยขึ้นอยู่กับพลังงานที่เหลืออยู่ จึงได้มีงานวิจัยที่เกี่ยวข้องกับวัสดุประกอบโดย S. Solaimurugan และคณะ[1] ได้ทำการศึกษาความสามารถในการดูดซับพลังงานจากการชนของห้องกระสอบพลาสติกเสริมแรงด้วยไนโตรเจน โดยใช้จำนวนชั้นของไฟเบอร์คือ 4 และ 6 ชั้น ซึ่งจะเปลี่ยนแปลงการจัดเรียงชั้นของไฟเบอร์ที่แตกต่างกันไป ชั้นงานที่ใช้ทดสอบมาจาก Woven roving (WRM) ความหนาแน่น 610 g/m^2 และ Unidirectional (UD) ความหนาแน่น 750 g/m^2 ส่วนเรชั่นใช้เรชั่นชนิด ไอโซพาลิคเรชั่น เป็นส่วนประกอบ ในการขึ้นรูปชิ้นงานด้วยกระบวนการ hand lay-up สถาบันชั้นกันระหว่าง [WRM/(UD)_m/WRM] ตามที่กำหนดไว้คือ 4 และ 6 ชั้น ขนาดอัตราส่วนระหว่างเส้นผ่าศูนย์กลางภายในกับความหนา (D/t) ประมาณ 15 และ 25 ตามลำดับ ที่ปลายท่อเคลื่อนที่มุม 30 องศา ทดสอบภายใต้

โอลด์แบบกั่งคงที่ ความเร็วคือ 2 mm/min ผลการศึกษาพบว่าจำนวนชั้นที่เพิ่มขึ้นของพลาสติกเสริมแรงด้วยไนโตรเจน ไม่ลดทำให้แนวโน้มการดูดซับพลังงานของพลาสติกเสริมแรงด้วยไนโตรเจนนี้สูงขึ้น นอกจากนี้ได้มีการศึกษาทดลองพฤติกรรมการเดินทางของโครงสร้างรถชนด้วยไฟเบอร์กระเบื้อง คงที่และไม่คงที่ โครงสร้างหน้าตัด รูปทรงนาฬิกา ทราย รูปทรงกระบอก รูปทรงกรวยและรูปทรงสี่เหลี่ยม โดยขึ้นรูปจาก Fiber/vinylester โดยได้ศึกษารูปแบบการเดินทางจากการสังเกต และใช้เครื่องขยายสากล เพื่อหาคุณลักษณะการดูดซับพลังงาน เปรียบเทียบความสามารถในการดูดซับพลังงานระหว่างการทดลองกับทฤษฎี [2-5] M. M. Shokreh และคณะ [6] พบว่าหน้าตัดทรงกระบอกสามารถดูดซับพลังงานได้มากกว่าหน้าตัดสี่เหลี่ยม Jose Daniel D. Melo และคณะ [7] ได้ทำการศึกษาในการดูดซับพลังงานของ glass/polyester พบว่าชิ้นงานทรงกระบอก ขึ้นรูปด้วยสูญญากาศ มีค่าดูดซับพลังงานจำเพาะสูงขึ้น มากกว่าการขึ้นรูปไม่มีสูญญากาศถึงสองเท่า M.Golzar และคณะ [8] ศึกษาการสร้างด้านแบบชั้นส่วนวัสดุประกอบเพื่อประกอบกับต้านข้างโครงสร้างรถยนต์ โดยศึกษาการสร้างวัสดุประกอบเพื่อประกอบโครงสร้างเพื่อใช้แทนที่เหล็กบริเวณด้านข้างของโครงสร้างรถยนต์ แผ่นวัสดุประกอบได้มีการสร้างเรียงทับช้อนกันของเส้นใยดังนี้ [0/90] และ [+/-45] เป็นมุมไขว้ของไนโตรเจน การศึกษานี้ยังใช้ระเบียบวิธีไฟไนต์เอลิเมนต์ในการสร้างแบบจำลองแผ่นเปลือก ผลจากแบบจำลองพบว่า แผ่นวัสดุประกอบเส้นไขว้เรียงทับช้อนกันของเส้นใยดังนี้ [0/90] สามารถดูดซับพลังงานดีกว่า [+/-45] และเมื่อได้ปรับเปลี่ยนน้ำหนักกับวัสดุเดิมพบว่าวัสดุประกอบมีน้ำหนักเบากว่าถึง 42% ใน การรับแรงในแนวแกนเท่านั้น Young Nam Kim และคณะ [9] ได้

ศึกษาคุณลักษณะการยุบตัวของห่อวัสดุประกอบได้พิจารณา ผลกระบวนการของโครงสร้างที่อัตราส่วนความหนาต่อเส้นผ่านศูนย์กลาง การเสริมแรงด้วยเส้นไข และรูปแบบการเสียหายทางกลของวัสดุประกอบ

สำหรับการศึกษานี้มีวัตถุประสงค์โดยมุ่งศึกษาอิทธิพลของเส้นไขแก้วและความสามารถในการคุกซับพลังงาน ภายใต้แรงกระทำแบบกึ่งคงที่และกระแทกในแนวแกน สำหรับชิ้นงานที่ใช้ในการศึกษานี้ ถูกขึ้นรูปด้วยมือ (Hand lay-up) โดยมีลักษณะมุมไขว้ที่แตกต่างกัน โดยการศึกษาแสดงให้เห็นถึงอิทธิพลของเส้นไขแก้วต่อความสามารถในการคุกซับพลังงาน จำเพาะ และลักษณะการเสียหาย

2. ตัวแปรที่พิจารณา

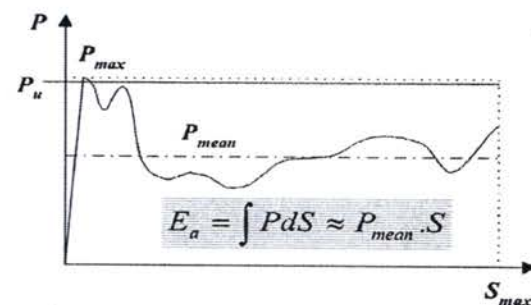
ในการศึกษาทางด้านการเสียหายของโครงสร้างภายใต้การชน (Crashworthiness) มักศึกษาจากกราฟภาระและระยะบุบตัวของโครงสร้าง ดังตัวอย่างกราฟในรูปที่ 1 โดยมีตัวแปรที่สำคัญหลายตัว เช่น ภาระเฉลี่ย (Mean crushing load, P_{mean}) หมายถึงภาระเฉลี่ยตลอดการเสียหายของโครงสร้างภายใต้การกระแทกจนสิ้นสุดการบุบตัว ค่าพลังงานคุกซับ (Energy absorption, E_a) หมายถึงพลังงานที่โครงสร้างสามารถคุกซับได้ตลอดช่วงเวลาการกระแทกหรือการบุบตัว และพลังงานคุกซับจำเพาะ (Specific energy absorption, E_s) หมายถึง พลังงานที่โครงสร้างสามารถคุกซับได้ เมื่อเทียบกับขนาดหน้าแน่นของตัวโครงสร้างเอง โดยในบทความนี้ได้มุ่งเน้นศึกษาค่าพลังงานที่คุกซับได้และพลังงานคุกซับจำเพาะของชิ้นงานทดสอบ ซึ่งเป็นตัวแปรที่สำคัญในการบ่งบอกถึงความสามารถในการคุกซับพลังงานจาก การชนของโครงสร้าง โดยการหาค่าพลังงานคุกซับนั้นสามารถหาได้จากพื้นที่ใต้กราฟของภาระและระยะบุบตัวของโครงสร้าง เมื่อเกิดการชนซึ่งสามารถเขียนเป็นสมการดังสมการที่ (1)

$$E_a = \int Pds = P_{mean} \times S \quad (1)$$

โดยที่ E_a คือค่าพลังงานคุกซับ P คือค่าภาระ S คือค่าระยะการบุบตัว และสามารถหาค่าพลังงานคุกซับจำเพาะได้จากสมการที่ (2)

$$E_s = \frac{\int Pds}{mass} = \frac{P_{mean}}{mass} \times S \quad (2)$$

โดยที่ E_s คือค่าพลังงานคุกซับจำเพาะ P_{mean} คือค่าภาระเฉลี่ย S คือค่าระยะการบุบตัว และ $mass$ คือมวลของโครงสร้าง



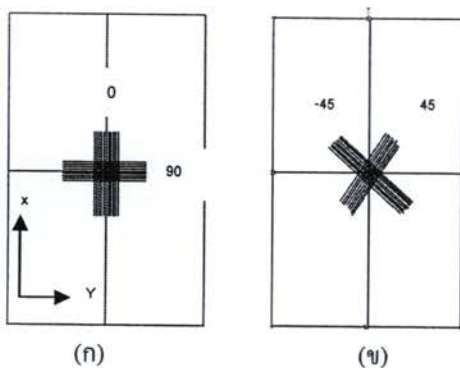
รูปที่ 1 กราฟแสดงภาระและระยะบุบตัวของโครงสร้าง พร้อมกับแสดงตัวแปรต่างๆ ที่นิยมใช้ในการศึกษา

3. ขั้นตอนการศึกษา

3.1 ขั้นตอนทดสอบ

วัสดุประกอบประกอบด้วยสองส่วนคือ ส่วนเสริมแรงทำหน้าที่รับแรงหลักให้แก่โครงสร้าง ส่วนที่สองคือ เมทริกซ์ ทำหน้าที่ป้องกันการเสียหายของส่วนที่เสริมแรง และทำหน้าที่ส่งถ่ายแรงไปยังส่วนเสริมแรง ชิ้นงานที่ใช้ในการทดลองขึ้นรูปจากเส้นไขแก้วผืนชนิดสองทิศทางกับ โพลีเอสเตอร์ชนิดไอโซพทาลิก เป็นชิ้นงานที่ขึ้นรูปด้วยมือ (Hand lay-up) ที่มีการเรียงทับซ้อนและมุมไขว้ที่แตกต่างกัน 3 ชิ้นงาน ดังรูปที่ 2 แสดงถึงตัวอย่างลักษณะของมุมไขว้ (ก) มุมไขว้ที่ 0/90 องศา (ข) มุมไขว้ที่ 45/-45 องศา จาก

รูปที่ 3 แสดงชิ้นงานจริงสำหรับใช้ในการทดสอบ โดยชิ้นงาน A มีมุนไชร์ [(0/90)/(0/90)/(0/90)] ชิ้นงาน B มีมุนไชร์ [(45/-45)/(45/-45)/(45/-45)] และชิ้นงาน C มีมุนไชร์ [(45/-45)/(0/90)/(45/-45)] ตามลำดับ ตารางที่ 1 แสดงขนาดและมุนไชร์สันไขของชิ้นงานทดสอบ ท่อที่ขึ้นรูปเพื่อทดลองมีเส้นผ่าศูนย์กลางภายนอกคือ 50 mm. ความหนาคือ 2 mm. และความยาวคือ 100 mm ทำการทดสอบทั้งหมด 3 ช้า ในทุกรูป แล้วนำผลการทดสอบมาเฉลี่ย

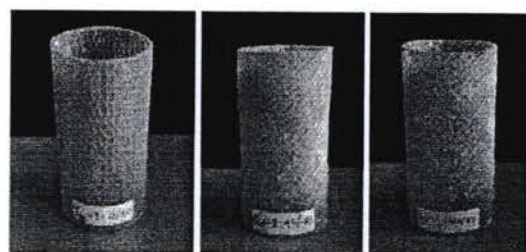


รูปที่ 2 แสดงถึงลักษณะของมุนไชร์

(ก) มุนไชร์ที่ 0/90 องศา (ข) มุนไชร์ที่ 45/-45 องศา

ตารางที่ 1 ขนาดและมุนไชร์สันไขของชิ้นงาน

ชิ้นงาน	เส้นผ่านศูนย์กลาง (mm)	ความยาว (mm)	ความหนา (mm)	มุนไชร์สันไข (องศา)
A	50	100	2	[(0/90)/(0/90)/(0/90)]
B	50	100	2	[(45/-45)/(45/-45)/(45/-45)]
C	50	100	2	[(45/-45)/(0/90)/(45/-45)]

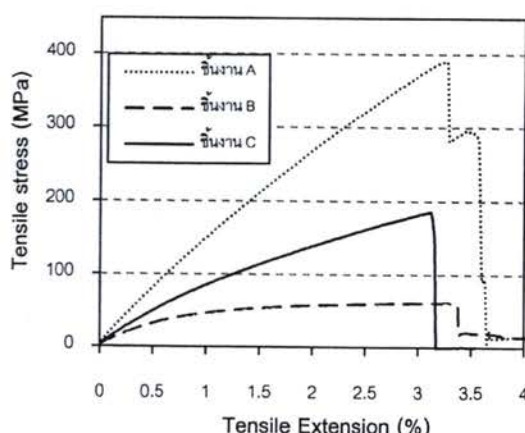


รูปที่ 3 ตัวอย่างชิ้นงานที่ใช้ในการทดลอง

3.2 การขึ้นรูปชิ้นงาน

การขึ้นรูปชิ้นงานเป็นการขึ้นรูปแบบทางด้านมือ เป็นกระบวนการขึ้นรูปที่ทำได้ง่าย ไม่ต้องใช้ความคันและอุปกรณ์ที่สูงมากนัก ใช้เครื่องมือและแม่พิมพ์ที่ติดตั้งขึ้นเองได้ สำหรับการขึ้นรูปสามารถทำได้โดยวิธีเส้นไขแก้วลงบนแม่พิมพ์ที่มีลักษณะเป็นเหล็กทรงกระบอก เส้นผ่านศูนย์กลาง 48 mm ความยาวคือ 500 mm จากนั้นาทบันด้วยเรซิ่นพร้อมกับใช้ลูกกลิ้งรีดให้เข้มผ่านลงในช่องว่างของเส้นไข สำหรับการศึกษานี้ใช้เส้นไขแก้วทั้งหมด 6 ชั้น หลังจากนั้นกำหนดให้แม่พิมพ์หมุนด้วยความเร็วรอบที่ 34 rpm ใช้เวลาในการหมุนเท่ากับ 180 นาที เพื่อให้เรซิ่นกระจายสนิม่เสียหัวแม่พิมพ์

3.3 คุณสมบัติของวัสดุ



รูปที่ 4 ความเก็บ – ระยะยืดตัว ของวัสดุทดสอบ

ตารางที่ 2 ผลการทดสอบแรงดึงของชิ้นงานต่างๆ

ชิ้นงาน	ความต้าน	มอดูลัส	การยืดตัว
	สูงสุด (MPa)	ความ ยืดหยุ่น	ณ จุดขาด (%)
A	391.33	15.53	3.67
B	61.85	7.30	3.44
C	185.42	9.49	3.20

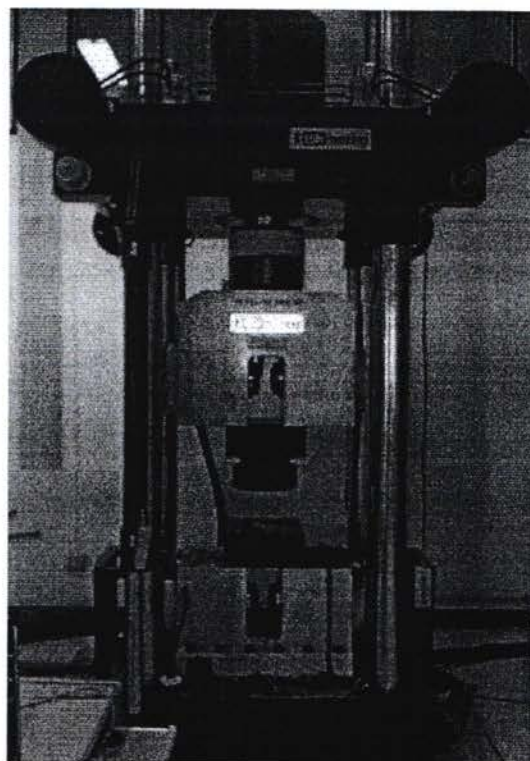
การทดสอบหาคุณสมบัติเชิงกลของชิ้นงาน ใช้วิธีทดสอบแรงดึงตามมาตรฐานอ้างอิง ASTM 3039 รูปที่ 4 แสดงกราฟความสัมพันธ์ระหว่างความต้านกับ ระยะยืดตัว โดยทดสอบชิ้นงานจำนวน 5 ชิ้นงาน แล้ว นำมาเฉลี่ย จากกราฟพบว่าความต้านสูงสุดคือ 391.33 MPa และจากตารางที่ 2 แสดงผลการทดสอบแรงดึงของ ชิ้นงานต่างๆ โดยชิ้นงาน A มีความต้านสูงสุด คือ 391.33 MPa ค่ามอดูลัสคือ 15.53 GPa ซึ่งมีค่าสูงกว่า ชิ้นงาน 2 แบบที่เหลือ

4.วิธีการทดสอบ

4.1 การทดสอบแบบแรงกระทำแบบกึงคงที่

การทดสอบนี้ได้ดำเนินการโดยใช้ เครื่อง ทดสอบการกดด้วยแรงกระทำแบบกึงคงที่ ซึ่งมีชื่อว่า เครื่อง ESH Testing Limited ซึ่งเป็นเครื่องทดสอบที่ใช้ ระบบคอมพิวเตอร์กับระบบไฮดรอลิกส์ ในการควบคุม เครื่องมีความสามารถถึง 2,000 KN และระยะการกด มากที่สุดคือ 200 mm สามารถบันทึกข้อมูลได้ทุกๆ 0.04 mm ผลที่ได้จากการทดสอบเป็นกราฟความสัมพันธ์ ระหว่างแรงที่กระทำ (Load) และระยะทางในการยุบตัว (Displacement) เครื่องสามารถบันทึกผลการทดสอบ และแสดงเป็นกราฟได้ทันที ลักษณะเครื่องทดสอบ แสดงดังรูปที่ 5 ในการทดสอบส่วนนี้ชิ้นงานจะถูกกด ในแนวแกนด้วยความเร็วคงที่ 10 mm/min และเคลื่อนมา จนกระแท้ชิ้นงานเกิดการยุบ 60 mm จากนั้นทำการ

บันทึกค่าการและระยะยุบตัวเพื่อไปทำการวิเคราะห์ ต่อไป

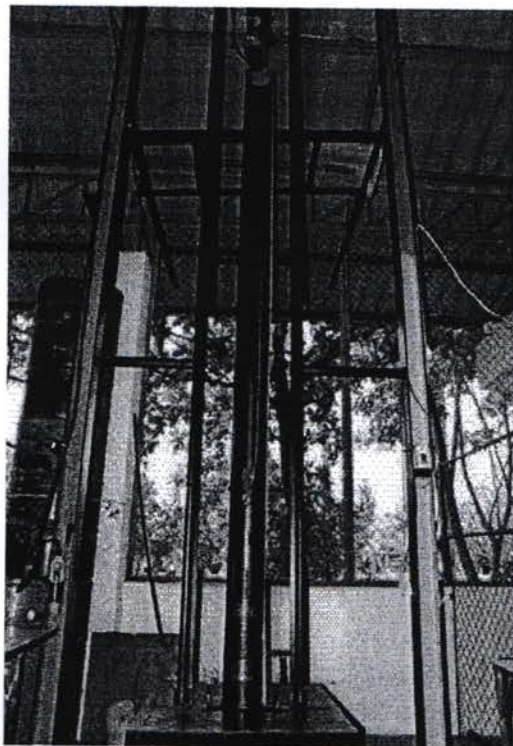


รูปที่ 5 เครื่องทดสอบการกดแบบแรงกระทำกึงคงที่

4.2 การทดสอบการกระแทก

การทดสอบส่วนนี้ได้ดำเนินการโดยใช้เครื่อง Vertical Impact Testing Machine ซึ่งเป็นเครื่องทดสอบ ที่ใช้การกระแทกของค้อนจากเครื่องทดสอบ ความสูง ของเครื่องทดสอบคือ 3 m น้ำหนักของมวลที่ใส่ลงใน ค้อนสามารถใส่ได้ระหว่าง 20 - 60 kg ในส่วนด้านการ ประมวลผลจะมี โหลดเซลล์ที่มีความละเอียดในการ บันทึกข้อมูล สูงสุดที่ 10,000 ค่าต่อวินาที เมื่อทดสอบ โหลดเซลล์จะแปลงค่าของแรงไปเป็นสัญญาณไฟฟ้านำ ผลที่ได้ไปยัง Data logger เพื่อทำการบันทึกข้อมูล จากนั้นผลที่ได้จะเข้าสู่เครื่อง

คอมพิวเตอร์ เพื่อแปลงค่า โคลนที่ได้จะเป็นความสัมพันธ์ระหว่าง ภาระระยะแทรก (Load) และเวลา (Time) รูปที่ 6 แสดงลักษณะของเครื่องทดสอบภาระภาระแทรกโดยในการทดสอบภาระให้ภาระระยะแทรก ใช้ความเร็วในระยะแทรกคือ 7 m/s และน้ำหนักของหัวค้อนคือ 45 kg ความสูงของหัวค้อนที่ตกลงมาภาระแทรกกับชั้นงานคือ 2.47 m ทำการบันทึกภาพด้วยกล้องความเร็วสูงและบันทึกแรงเพื่อนำไปวิเคราะห์ผลต่อไป



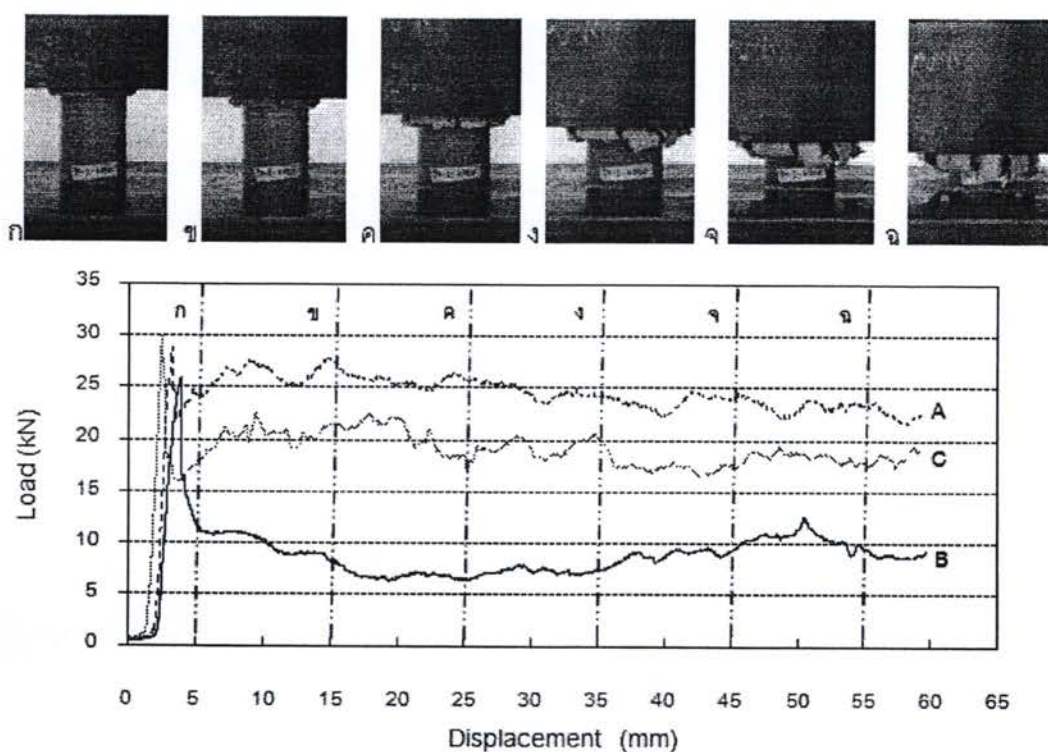
รูปที่ 6 เครื่องทดสอบภาระแทรก

โดยแรงปฏิกิริยาที่ปล่อยออกมานั้นสามารถเขียนเป็นกราฟความสัมพันธ์กับระยะยุบตัวได้เรียกว่ากราฟของภาระและระยะยุบตัว (Load Displacement Curve) หรือกราฟของแรงปฏิกิริยาและระยะยุบตัว ซึ่งนับเป็นการตอบสนองของโครงสร้างอีกรูปแบบหนึ่ง จากรูปที่ 7 แสดงความสัมพันธ์ระหว่างแรงปฏิกิริยาและระยะยุบตัวของโครงสร้างที่ทดสอบภาระให้ภาระการกดในแนวแกนเมื่อเป็นแรงกระทำแบบถังคงที่ โดยในแกนนอนแสดงระยะยุบตัวของโครงสร้างตลอดการทดสอบและแกนตั้งแสดงค่าแรงปฏิกิริยาที่ได้จากการทดสอบ จากกราฟของภาระคล่องนี้แสดงให้เห็นว่า ชั้นงาน A มีค่าภาระเฉลี่ยสูงกว่าชั้นงานทั้ง 2 แบบที่เหลือ หลังจากนั้นกราฟทุกเส้นจะแกว่งตัวขึ้นลงสลับกันไปเรื่อยๆ ซึ่งเป็นลักษณะที่ไปของกราฟที่ได้จากการทดสอบภาระให้การชนค่าพลังงานคุณซับของโครงสร้างก็คำนวณจากพื้นที่ใต้กราฟและนีผลตั้งแสดงในตารางที่ 4 จากรูปที่ 8 เป็นการแสดงความสัมพันธ์ระหว่างแรงปฏิกิริยา กับเวลาของชั้นงานภาระให้ภาระภาระแทรกในแนวแกน พนว่าชั้นงาน A มีค่าแรงปฏิกิริยาสูงกว่าชั้นงาน 2 แบบ เช่นกัน สำหรับการคลองด้วยความเร็วสูงนั้นไม่สามารถวัดค่าการยุบตัวของโครงสร้างในระหว่างการเสียหายได้เนื่องจากการยุบตัวเกิดขึ้นอย่างรวดเร็ว ดังนั้นจึงมักนิยมใช้กราฟของค่าภาระและเวลา มา กว่ากราฟของค่าภาระและระยะยุบตัวดังที่ใช้ในการศึกษาแบบแรงกระทำถังคงที่

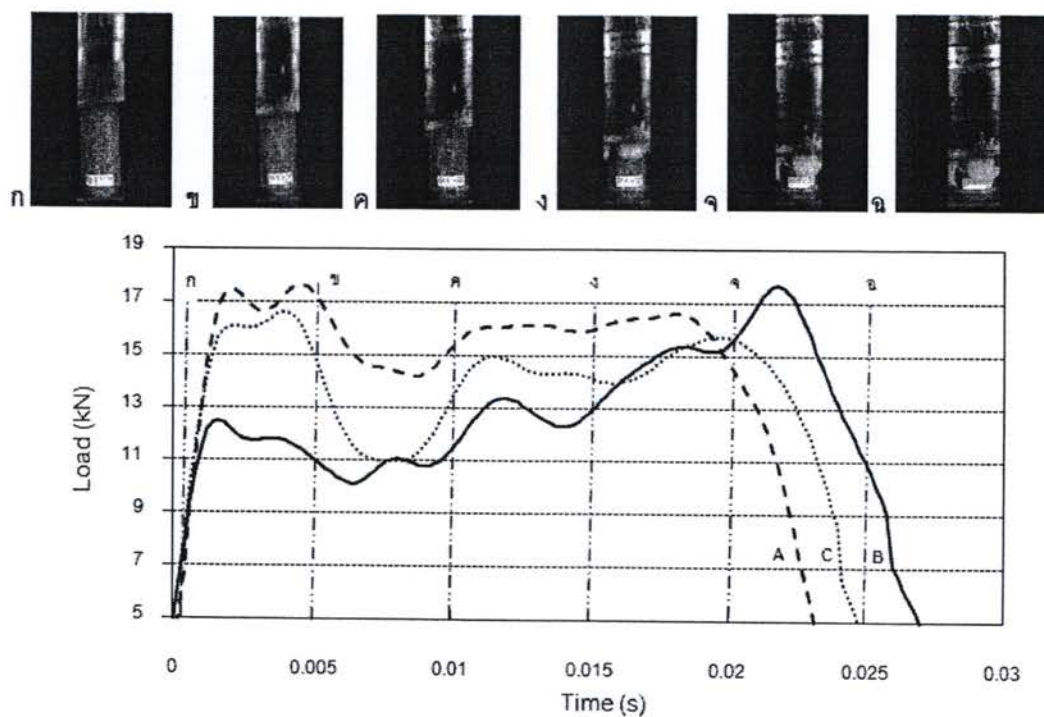
5.ผลการศึกษา

5.1 การตอบสนองต่อภาระกระทำ

โครงสร้างเมื่อถูกแรงกระทำเป็นระยะเวลาหนึ่ง โครงสร้างจะตอบสนองด้วยการเสียรูป โคลนยุบตัวในรูปแบบใดรูปแบบหนึ่งของมานอกจากนี้ในระหว่างการเสียรูปของโครงสร้าง โครงสร้างจะคุณซับแรงกระทำและปลดปล่อยแรงปฏิกิริยาออกมายังเวลา

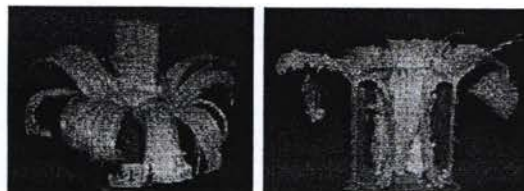


รูปที่ 7 ความสัมพันธ์กันระหว่างการและระยะบุบตัวภายในตัวแรงกระทำกึ่งคงที่



รูปที่ 8 ความสัมพันธ์กันระหว่างการและเวลาภายในตัวแรงกระแทก

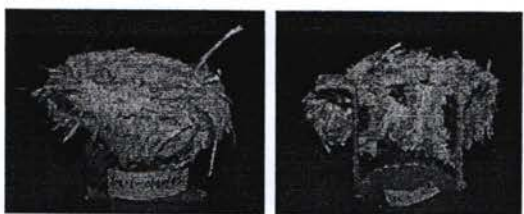
5.2 ลักษณะการเสียหาย



รูปที่ 9 การเสียหายสุดท้ายของชิ้นงาน A ภายใต้
กระบวนการทำกึ่งคงที่



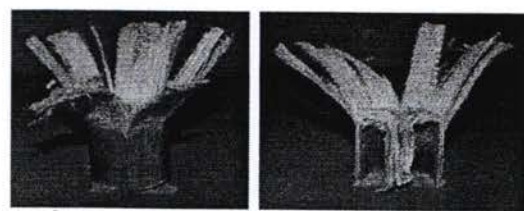
รูปที่ 10 การเสียหายสุดท้ายของชิ้นงาน B ภายใต้กระบวนการ
ทำกึ่งคงที่



รูปที่ 11 การเสียหายสุดท้ายของชิ้นงาน C ภายใต้กระบวนการ
ทำกึ่งคงที่

จากรูปที่ 9 แสดงถึงรูปแบบการเสียหายของชิ้นงาน ที่ได้จากการทดลองภายใต้กระบวนการทำกึ่งคงที่ในแนวแกน ของชิ้นงานที่มีลักษณะการเรียงตัวของเส้นไขดุมแนวตั้งคือ 0 องศา และแนววางคือ 90 องศา ของชิ้นงาน พบว่าในช่วงแรกเกิดการขูดตัวของชิ้นงานช้า หลังจากกระบวนการทำต่อชิ้นงานเพิ่มมากขึ้น ชิ้นงานเกิดการขูดตัวอย่างรวดเร็ว ซึ่งการเริ่มต้นการเสียหายเกิดขึ้นที่ปลายด้านบนของชิ้นงาน มีลักษณะแตกละเอี้ยดเป็นชิ้นเล็กและนานออกเป็นพุ่มหลังจากนั้นชิ้นงานเริ่มแยกและนานออกเป็นสองส่วนคือ ส่วนแรกเส้นไขดุมและขูดเข้าด้านในของชิ้นงาน และส่วนที่

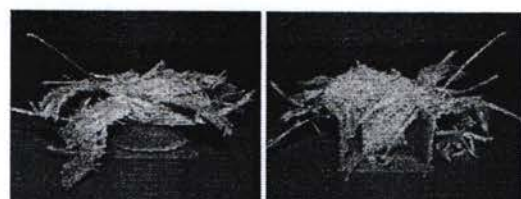
สองเส้นไขดุมและนานออกด้านนอกของชิ้นงาน จนกระทั่งสิ้นสุดการขูดตัว จากการสังเกตการเสียหายสุดท้ายของชิ้นงาน พบว่ามีลักษณะนานออกเป็นแฉะซึ่งเกิดจากอิทธิพลของเส้นไขดุมแนวตั้ง ที่สามารถรับการระไนแนวแกนโดยตรง และอิทธิพลเส้นไขดุมแนววางทำหน้าที่ประคองให้เส้นไขดุมแนวตั้งให้รับการระไนแนวแกน จากรูปที่ 10 แสดงถึงรูปแบบการเสียหายของชิ้นงานที่มีลักษณะไขว โดยการจัดเรียงตัวของเส้นไขดุม จากการทดลองพบว่าการเริ่มต้นการเสียหายเกิดขึ้นที่ด้านล่างของชิ้นงาน มีลักษณะการเสียหายตามแนวเสียงของเส้นไขดุม หลังจากนั้นด้านบนของชิ้นงาน มีการเสียหายขึ้นตัวและซ้อนกันภายในชิ้นงาน ซึ่งเกิดจาก การเรียงตัวของเส้นไขดุมแนวเสียง เมื่อรับการระไนแนวแกนทำให้เส้นไขดุมเกิดการแตกหักตลอดจนสิ้นสุด การขูดตัว จากรูปที่ 11 พบว่าการเริ่มต้นการเสียหายเกิดขึ้นที่ปลายด้านบนของชิ้นงาน มีลักษณะแตกละเอี้ยดเป็นพุ่ม หลังจากนั้นเส้นไขดุมบานออกเป็นสองส่วนคือ ส่วนแรกเข้าด้านในของชิ้นงาน ส่วนที่สองแยกออกด้านนอกชิ้นงาน จนกระทั่งสิ้นสุดการขูดตัว จากการสังเกตการเสียหายของชิ้นงาน พบว่ามีลักษณะนานออกเป็นพุ่ม ซึ่งเกิดจากอิทธิพลของเส้นไขดุมแนวตั้งคือ 0 องศา ทำให้รับการระไนแนวแกนโดยตรง และอิทธิพลของเส้นไขดุมแนวเสียง ทำหน้าที่ประคองเส้นไขดุมแนวตั้งและรับการระไนแนวแกน



รูปที่ 12 การเสียหายสุดท้ายของชิ้นงาน A ภายใต้กระบวนการ
ทำแยก



รูปที่ 13 การเสียหายสุดท้ายของชิ้นงาน B ภายใต้การกระแทก



รูปที่ 14 การเสียหายสุดท้ายของชิ้นงาน C ภายใต้การกระแทก

จากรูปที่ 12 และรูปแบบการเสียหายของชิ้นงานภายใต้การกระแทกในแนวแกนของชิ้นงานที่มีลักษณะการเรียงตัวของเส้นไข่ในแนวตั้ง คือ 0 องศา แนววาง คือ 90 องศา ของชิ้นงาน จากการทดลองพบว่าการเริ่มต้นเสียหายชิ้นงานเริ่มที่ปลายด้านบน มีลักษณะแตกเป็นชิ้นเล็กและแยกออกเป็นสองส่วน ได้แก่ ส่วนแรกเส้นไข่ยุบเข้าด้านในชิ้นงาน และส่วนที่สองเส้นไข่แยกออกจากด้านนอกและการออกเป็นแฉะ จากการสังเกตพบว่าเกิดจากการแยกระหว่างชั้นของเส้นไข่ที่ปลายด้านบนของชิ้นงานที่มีการเรียงตัวของเส้นไข่ในแนวตั้ง และแนววาง ซึ่งเป็นตัวชี้វัดว่าจะเส้นไข่แนวตั้ง เมื่อรับแรงในแนวแกนจึงมีลักษณะการออกเป็นแฉะ ประมาณ 7–8 แฉก จากรูปที่ 13 จากการทดลองพบว่าการเสียหายของชิ้นงานเกิดขึ้นที่ปลายด้านบนของชิ้นงาน ซึ่งมีลักษณะของเส้นไข่แยกหักในแนวเฉียงของชิ้นงานในทิศทาง 45 องศา หลังจากนั้นเมื่อชิ้นงานรับแรงเพิ่มมากขึ้น เกิดการเสียหายในทิศทาง -45 องศา และบุบตัวลงในลักษณะช้อนกัน ซึ่งสาเหตุเกิดจากการเรียงตัวของเส้นไข่ภายในชิ้นงานมีลักษณะแนวเฉียง เมื่อรับแรงในแนวแกนทำให้เกิดความเสียหายตามแนวเฉียงของชิ้นงาน จากรูปที่ 14 พบว่าการเริ่มต้นการเสียหายเกิดขึ้นที่ด้านบนของ

ชิ้นงาน ซึ่งมีลักษณะบานและแยกออกเป็นสองส่วน คือ ส่วนแรกเส้นไข่ยุบเข้าด้านในชิ้นงาน และส่วนที่สองเส้นไข่แยกออกและการออกของชิ้นงาน จากการสังเกตพบว่าเกิดจากการแยกชั้นเส้นไข่ที่ปลายด้านบนของชิ้นงานเส้นไข่แนวเฉียงเกิดการพับเข้าไปในชิ้นงาน และเส้นไข่แนวตั้งและแนวเฉียงมีลักษณะแตกกระจาย

5.3 ค่าความเบี่ยงเบนมาตรฐานของการเคลื่อนไหว

ตารางที่ 3 ผลคำนวณค่าความเบี่ยงเบนมาตรฐาน

ชิ้นงาน	ค่าการทดสอบ (KN)	ค่าการทดสอบสูงสุด (KN)	ค่าการทดสอบต่ำสุด (KN)	ค่าเบี่ยงเบนมาตรฐาน
ภาระกึ่งคงที่				
A	25.32	25.59	24.26	0.95
B	8.12	8.77	6.75	1.19
C	18.20	18.92	17.48	0.72
ภาระกระแทก				
A	14.40	14.76	14.28	0.32
B	11.72	12.03	11.46	0.29
C	12.65	12.88	12.76	0.30

ตารางที่ 5.3 แสดงผลการคำนวณค่าเบี่ยงเบนมาตรฐานของจำนวนชิ้นงานที่ทดสอบทั้งหมดสามชิ้นงานแล้วนำมาเฉลี่ย ในทุกกรณี พบว่าค่าความเบี่ยงเบนมาตรฐานในกรณีภาระให้การกึ่งคงที่ มีค่าเท่ากับ 0.72 – 1.19 และในกรณีภาระให้การกระแทกมีค่าเท่ากับ 0.29 – 0.32 ซึ่งจากตัวเลขการกระจายตัวของข้อมูล พบว่าค่าเบี่ยงเบนมาตรฐานภาระเคลื่อนที่ทั้งสองกรณี มีค่าเท่ากับคุณย

5.4 ความสามารถในการดูดซับพลังงาน

ตารางที่ 4 ผลการคำนวณที่ได้จากการทดสอบ

ชื่อชิ้นงาน	น้ำหนัก (องศา)	แรงดึงดูด (kN)	ค่าคงที่ของค่าคงที่	พลังงานดูดซับ(kJ/kg)
ตารางถ่วงคงที่				
A	[0/90]/[0/90]/[0/90]	25.32	1.52	29.80
B	[45/-45]/[45/-45]/[45/-45]	8.12	0.48	8.89
C	[45/-45]/[0/90]/[45/-45]	18.20	1.09	20.56
ตารางกระแสเทา				
A	[0/90]/[0/90]/[0/90]	14.40	0.86	17.55
B	[45/-45]/[45/-45]/[45/-45]	11.72	0.47	9.03
C	[45/-45]/[0/90]/[45/-45]	12.65	0.76	14.61

จากตารางที่ 4 แสดงผลการทดสอบชิ้นงานภายใต้การกดแบบถ่วงคงที่ในแนวแกน พนบว่าชิ้นงาน A สามารถดูดซับพลังงานจำเพาะได้ 29.80 kJ/kg ส่วนชิ้นงาน B และ C สามารถดูดซับพลังงานได้เท่ากัน 8.89 kJ/kg และ 20.56 kJ/kg ตามลำดับ โดยชิ้นงาน A สามารถดูดซับพลังงานจำเพาะได้มากกว่าชิ้นงาน B และ C เท่ากับ 235.20 % และ 44.94 % ตามลำดับ สำหรับการทดสอบภายใต้การกระแสเทาในแนวแกน พนบว่าชิ้นงาน A สามารถดูดซับพลังงานจำเพาะได้ 17.55 kJ/kg ในขณะที่ชิ้นงาน B และ C สามารถดูดซับพลังงานได้เท่ากับ 9.03 kJ/kg และ 14.61 kJ/kg ตามลำดับ แสดงให้เห็นว่าชิ้นงาน A สามารถดูดซับพลังงานจำเพาะได้มากกว่าชิ้นงาน B และ C เท่ากับ 94.35 % และ 20.12 % ตามลำดับ จากผลการทดสอบ พนบว่าชิ้นงาน A ที่มีนูนของเส้นใย [(0/90)/(0/90)/(0/90)] มีความสามารถในการดูดซับพลังงานได้มากที่สุดเมื่อเปรียบเทียบกับชิ้นงาน B และ C ซึ่งสาเหตุเกิดจากการเรียงตัวของของเส้นใยแก้วที่มีทิศทาง 0 องศา สามารถต้านทานต่อแรงกระทำที่เกิดขึ้นในแนวแกนได้สูงเนื่องจากหน้าตัดของเส้นใยรับแรงหรือความเค้นโดยตรง เมื่อเปรียบเทียบกับทิศทางของเส้นใยแบบอื่นๆ และการเรียงตัวของเส้นใยที่มีทิศทางแนวขวางคือ 90

องศา ทำหน้าที่ประคองเส้นใยในแนวตั้งและรับภาระในแนวแกน

6. สรุป

จากการศึกษาพฤติกรรมการตอบสนองของห่อไฟเบอร์กลาส ภายใต้แรงกระทำแบบถ่วงคงที่และกระแสเทา โดยมุ่งศึกษาอิทธิพลของเส้นใยแก้วและความสามารถในการดูดซับพลังงาน ในกรณีภายใต้แรงแบบถ่วงคงที่ พนบว่า ชิ้นงาน A สามารถดูดซับพลังงานจำเพาะได้ดีกว่า ชิ้นงาน B และ C ประมาณ 44.94 – 235.20 % ในกรณีภายใต้กระแสเทา ชิ้นงาน A สามารถดูดซับพลังงานจำเพาะได้ประมาณ 20.12 – 94.35 % สามารถสรุปได้ว่าชิ้นงานที่มีนูนของเส้นใย คือ [(0/90)/(0/90)/(0/90)] มีความสามารถต่อการออกแบบในด้านความสามารถในการดูดซับพลังงาน

7. กิตติกรรมประกาศ

ขอขอบคุณ สำนักงานคณะกรรมการวิจัยแห่งชาติ (วช.) ที่ให้การสนับสนุนทุนวิจัยนี้ และภาควิชา วิศวกรรมเครื่องกล คณะวิศวกรรมศาสตร์ มหาวิทยาลัยอุบลราชธานี ที่ให้การสนับสนุนเครื่องมือในการวิจัย

8. เอกสารอ้างอิง

- [1] S. Solaimurugan, R. Velmurugan., (2007), "Influence of fibre orientation and stacking sequence on petalling of glass/polyester composite cylindrical shells under axial compression," International Journal of Solids and Structures 44: 6999–7020

- [2] A.G. Mamalis, D.E. Manolakos, G.A. Demosthenous and M.B. Ioannidis., (1997), "The static and dynamic axial crumpling of thin-walled fiberglass composite square tubes," Composite Part B, Vol.28B, pp. 439-451.
- [3] A.G. Mamalis, D.E. Manolakos, G.A. Demosthenous and M.B. Ioannidis., (1996), "The static and dynamic axial collapse of fiberglass composite automotive frame rails," Composite Structures, Vol. 34, pp. 77-90.
- [4] A.G. Mamalis, D.E. Manolakos, G.A. Demosthenous and M.B. Ioannidis., (1996), "Analysis of Failure mechanisms Observed in Axial Collapse of Thin-Walled Circular Fiberglass Composite Tubes," Composite Structures, Vol. 24, pp. 335-352.
- [5] A.G. Mamalis, D.E. Manolakos, G.A. Demosthenous and M.B. Ioannidis., (1997), "Analytical modeling of the static and dynamic axial collapse of thin-walled fiberglass composite conical shells," Composite Structures, Vol. 19, pp. 477-492.
- [6] M. M. Shokrieh, H. Tozandehjani, and M. J. Omidi., (2009), "Effect of fiber orientation and cross section of composite tubes on their energy absorption ability axial dynamic loading," Mechanics of Composite Materials, Vol. 45 pp.567-576
- [7] Jose Daniel D. Melo, Andre Luiz s. Silva, John Edward N. Villena., (2008), "The effect of processing conditions on the energy absorption capability of composite tubes," Composite Structures, Vol.82, pp. 622-628.
- [8] M.Golzar, M.Poorzeinolabedin. (2010) , "Prototype fabrication of a composite automobile body based on integrated structure, " International Journal manufacturing technology 49:1037-1045.
- [9] Young Nam Kim, Jae Jung Hwang, Kyung Yun Baek., (2003), "Impact Collapse Characteristics of CF/Epoxy Composite Tubes for Light-Weights," KSME International Journal , Vol. 17, pp.48-56.

ประวัติผู้วิจัย

ชื่อ	นายวิศิษฐ์ จันทร์ชื่น เกิดเมื่อ วันที่ 22 พฤศจิกายน 2530
ภูมิลำเนา	เลขที่ 27 หมู่ที่ 14 บ้านศรีเจริญ ตำบลเมืองใหม่ อำเภอศรีบุญเรือง จังหวัดหนองบัวลำภู รหัสไปรษณีย์ 39180
ประวัติการศึกษา	พ.ศ. 2549-2553 วิศวกรรมศาสตรบัณฑิต สาขาวิชาวิศวกรรมเครื่องกล มหาวิทยาลัยอุบลราชธานี พ.ศ. 2553-2556 วิศวกรรมศาสตรมหาบัณฑิต สาขาวิชาวิศวกรรมเครื่องกล มหาวิทยาลัยอุบลราชธานี
ทุนการศึกษาหรือทุนงานวิจัย	สำนักงานคณะกรรมการวิจัยแห่งชาติ (วช.) ทุนสนับสนุนการวิจัยระดับบัณฑิตศึกษา ภาควิชาวิศวกรรมเครื่องกล มหาวิทยาลัยอุบลราชธานี